

# Progetto del controllore

Sistemi a segnali campionati

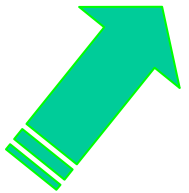
Progetto per approssimazione

Progetto nel piano  $w$

Regolatori standard

# Progetto di un controllore a segnali campionati

- Due possibilità
  - **sintesi a tempo discreto**: si tratta di fatto di determinare un opportuno algoritmo di calcolo (ne parleremo più in là)
  - **Sintesi a tempo continuo ed implementazione a tempo discreto**: si dimensiona il regolatore basandosi su modelli a tempo continuo del sistema usando le tecniche classiche e poi si realizza in modo “approssimato” il regolatore nella forma a segnali campionati.



# Metodi di progetto per approssimazione

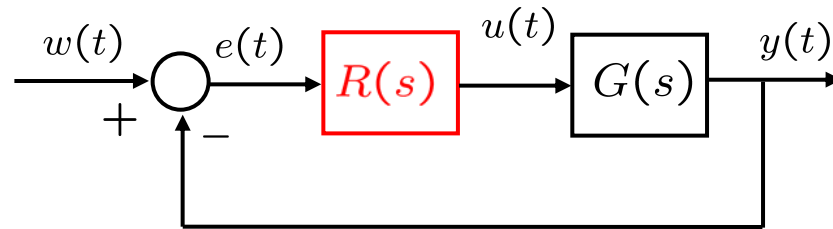
- Quali sono le condizioni che garantiscono che il secondo approccio alla sintesi (analizziamo questo per ora!) risulti sensato?

# **Discretizzazione per campionamento e tenuta**

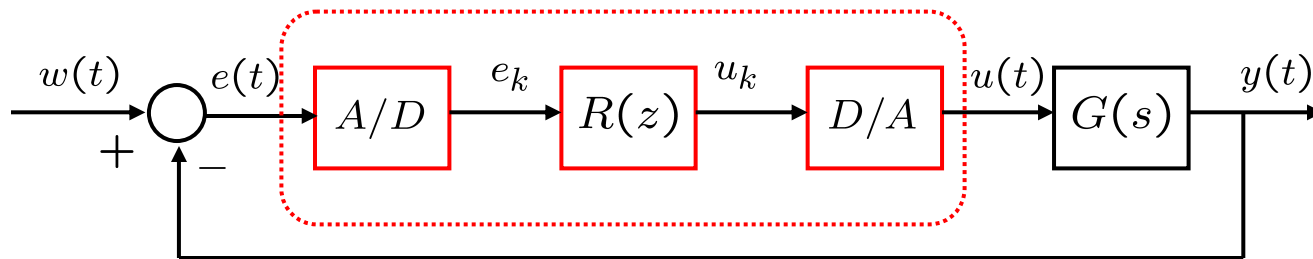
## **Metodo Hold Equivalent**

# Sintesi del regolatore tramite campionatore e tenuta: metodo *Hold Equivalent*

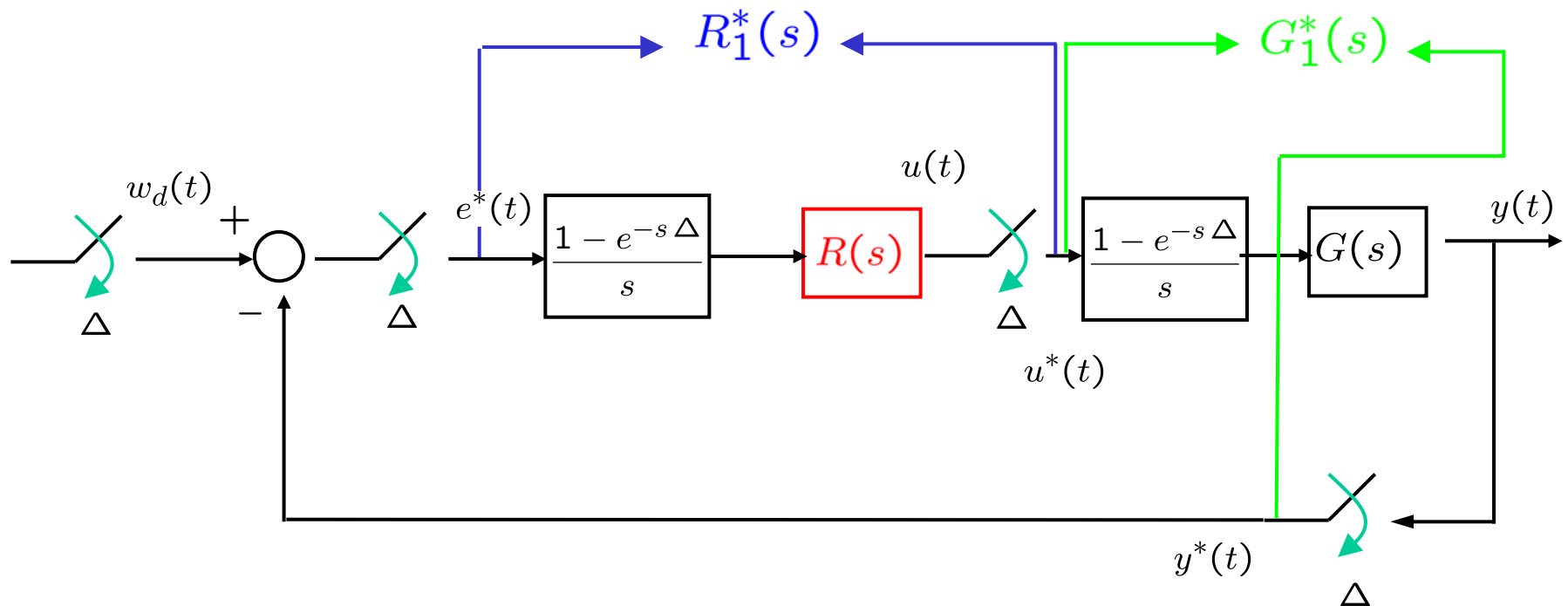
- Partiamo da un regolatore a tempo continuo  $R(s)$



- e vogliamo ottenere un regolatore a tempo discreto  $R(z)$  "approssimativamente" equivalente



- Inseriamo due blocchi "campionatore + tenuta" e confrontando lo schema ottenuto con quello di partenza (tutto a tempo continuo) determineremo le condizioni di equivalenza, almeno approssimata:



Tecnica di "tenuta e campionamento" o "hold equivalent HE"

- Vorremmo che la risposta in frequenza a ciclo aperto nei due schemi considerati (quello a tempo continuo e quello a “tempo continuo equivalente”) sia sostanzialmente la stessa

$$R(s) G(s)|_{s=j\Omega} \approx R^*(s) G^*(s)|_{s=j\Omega}$$

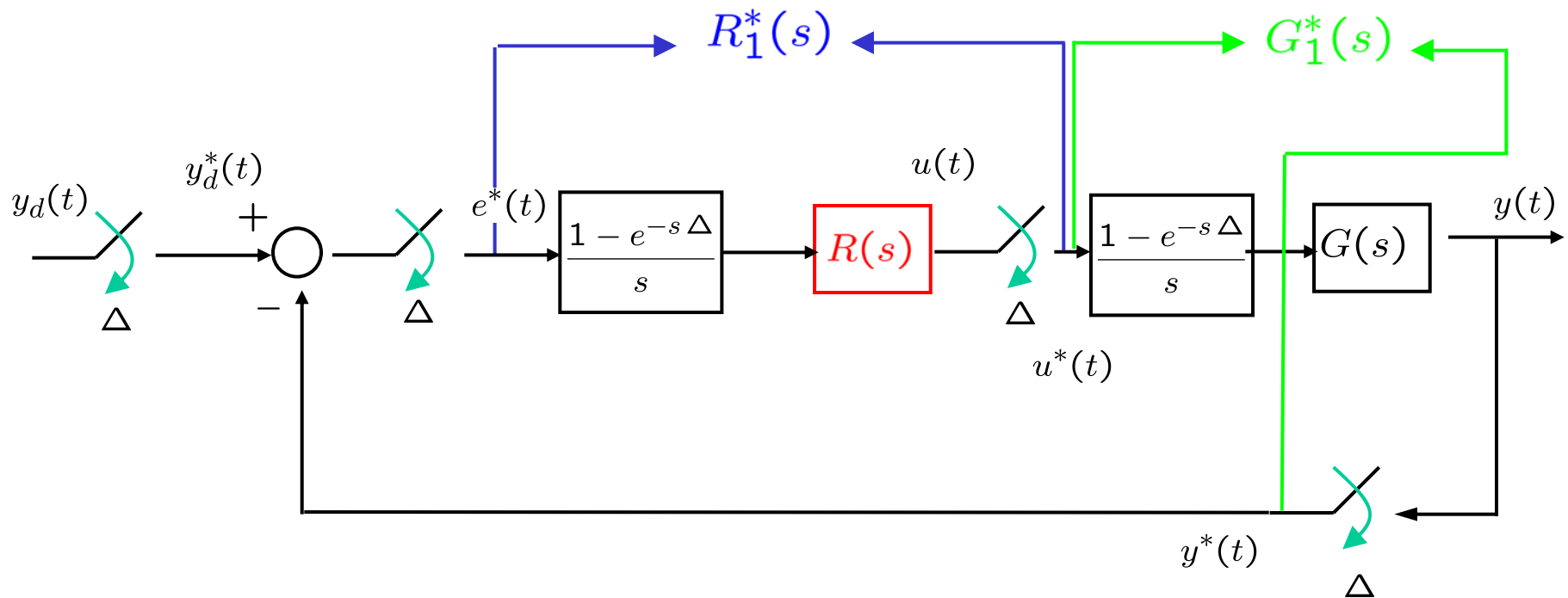
almeno nella banda di interesse per il controllo  $\Omega \leq \bar{\Omega}$

- Ci aspettiamo che se il periodo di campionamento  $\Delta$  è “abbastanza” piccolo ...
- Se le condizioni di equivalenza sono soddisfatte, il regolatore a segnali campionati (tempo discreto) lo otterremo applicando la

$$R(z) = \frac{Y(z)}{U(z)} = \left( \frac{z-1}{z} \right) \mathcal{Z} \left\{ \mathcal{L}^{-1} \left[ \frac{R(s)}{s} \right] \right\}$$

# Metodo HE: condizioni di equivalenza

- Facciamo riferimento allo schema col campionatore e l'organo di tenuta di ordine 0





- Siano

$$E^*(s) = \mathcal{L}\{e^*(t)\}$$

$$Y^*(s) = \mathcal{L}\{y^*(t)\}$$

$$U^*(s) = \mathcal{L}\{u^*(t)\}$$

- Sappiamo che

$$E^*(s) = \frac{1}{\Delta} \sum_{k=-\infty}^{+\infty} E(s + j\Omega_s k)$$

$$k \in \mathbb{Z}$$

$$U^*(s) = \frac{1}{\Delta} \sum_{k=-\infty}^{+\infty} U(s + j\Omega_s k)$$

$$\Omega_s = \frac{2\pi}{\Delta}$$

$$Y^*(s) = \frac{1}{\Delta} \sum_{k=-\infty}^{+\infty} Y(s + j\Omega_s k)$$

- Analizzando lo schema posso scrivere

$$U(s) = \frac{1 - e^{-\Delta s}}{s} R(s) E^*(s) = R_1(s) E^*(s)$$

$$R_1(s) \triangleq \frac{1 - e^{-\Delta s}}{s} R(s)$$

Prima del campionatore

$$Y(s) = \frac{1 - e^{-\Delta s}}{s} G(s) U^*(s) = G_1(s) U^*(s)$$

$$G_1(s) \triangleq \frac{1 - e^{-\Delta s}}{s} G(s)$$

- Dopo il campionatore

$$R_1^*(s) = \frac{1}{\Delta} \sum_{k=-\infty}^{+\infty} R_1(s + j\Omega_s k) \quad U^*(s) = R_1^*(s) E^*(s)$$

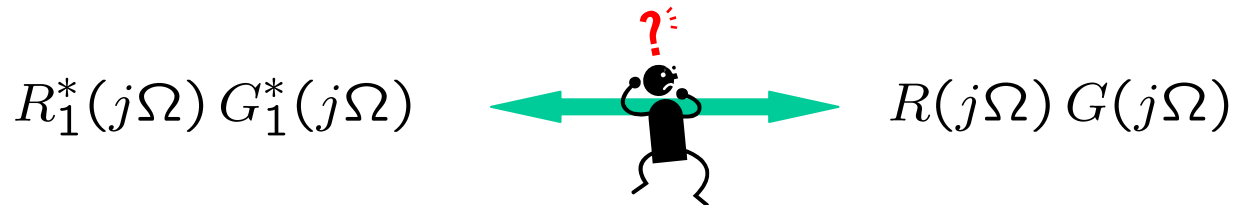
$$G_1^*(s) = \frac{1}{\Delta} \sum_{k=-\infty}^{+\infty} G_1(s + j\Omega_s k) \quad Y^*(s) = G_1^*(s) U^*(s)$$

- Dallo schema otteniamo in definitiva  $\frac{Y^*(s)}{Y_d^*(s)} = \frac{R_1^*(s) G_1^*(s)}{1 + R_1^*(s) G_1^*(s)}$
- Abbiamo caratterizzato il sistema (a segnali campionati) con una descrizione a tempo continuo, che ora analizziamo.

- Ciò che conta allora è la risposta in frequenza ad anello aperto

$$R_1^*(j\Omega) G_1^*(j\Omega)$$

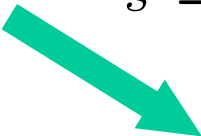
o meglio, la corrispondenza o meno della risposta in frequenza ad anello aperto appena determinata con quella del sistema originario puramente a tempo continuo



- Per analizzare la risposta in frequenza ad anello aperto di questa descrizione “a tempo continuo – equivalente” del sistema, abbiamo bisogno di descrivere la risposta in frequenza dell'organo di tenuta:

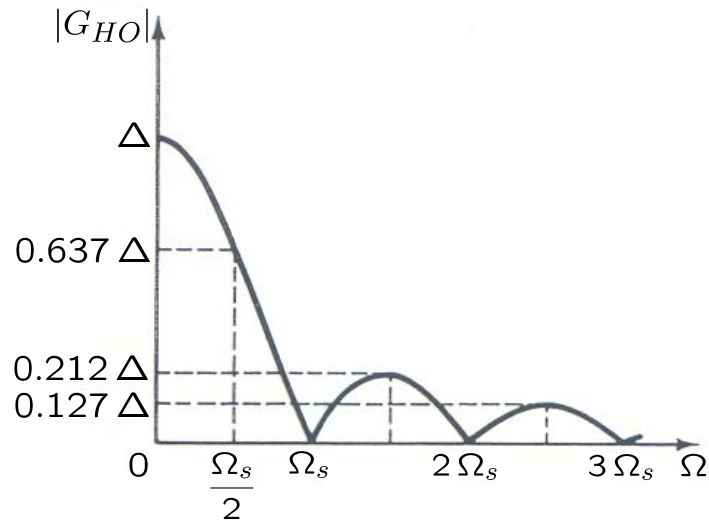
$$G_{H0}(s) = \frac{1 - e^{-\Delta s}}{s}$$

# Risposta in frequenza dell'organo di tenuta

$$G_{H0}(s) = \frac{1 - e^{-\Delta s}}{s} \quad s = j\Omega$$


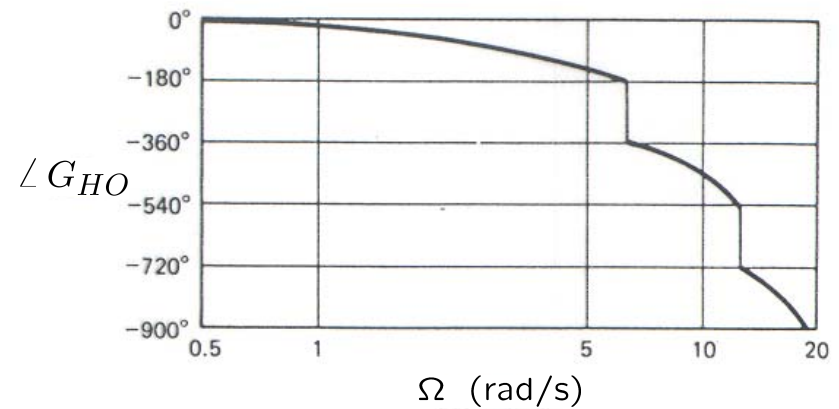
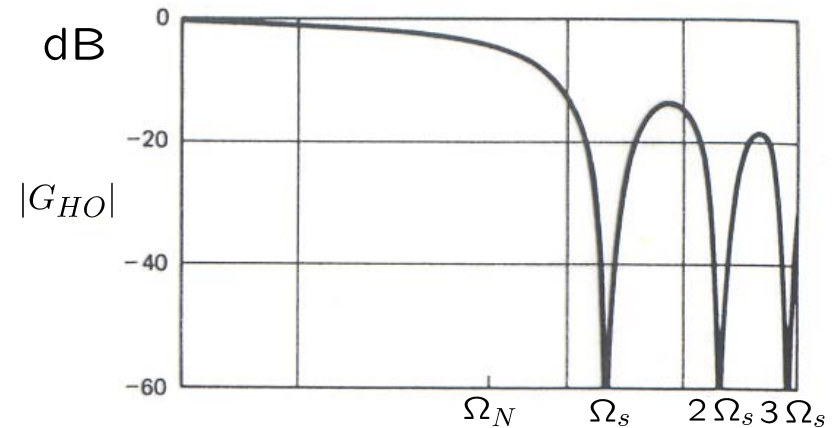
$$G_{H0}(j\Omega) = \Delta \frac{\sin\left(\frac{\Omega \Delta}{2}\right)}{\frac{\Omega \Delta}{2}} e^{-\frac{\Delta}{2} j\Omega}$$

$$G_{H0}(j\Omega) = \Delta G_H(j\Omega), \quad G_H(j\Omega) = \frac{\sin\left(\frac{\Omega \Delta}{2}\right)}{\frac{\Omega \Delta}{2}} e^{-\frac{\Delta}{2} j\Omega}$$



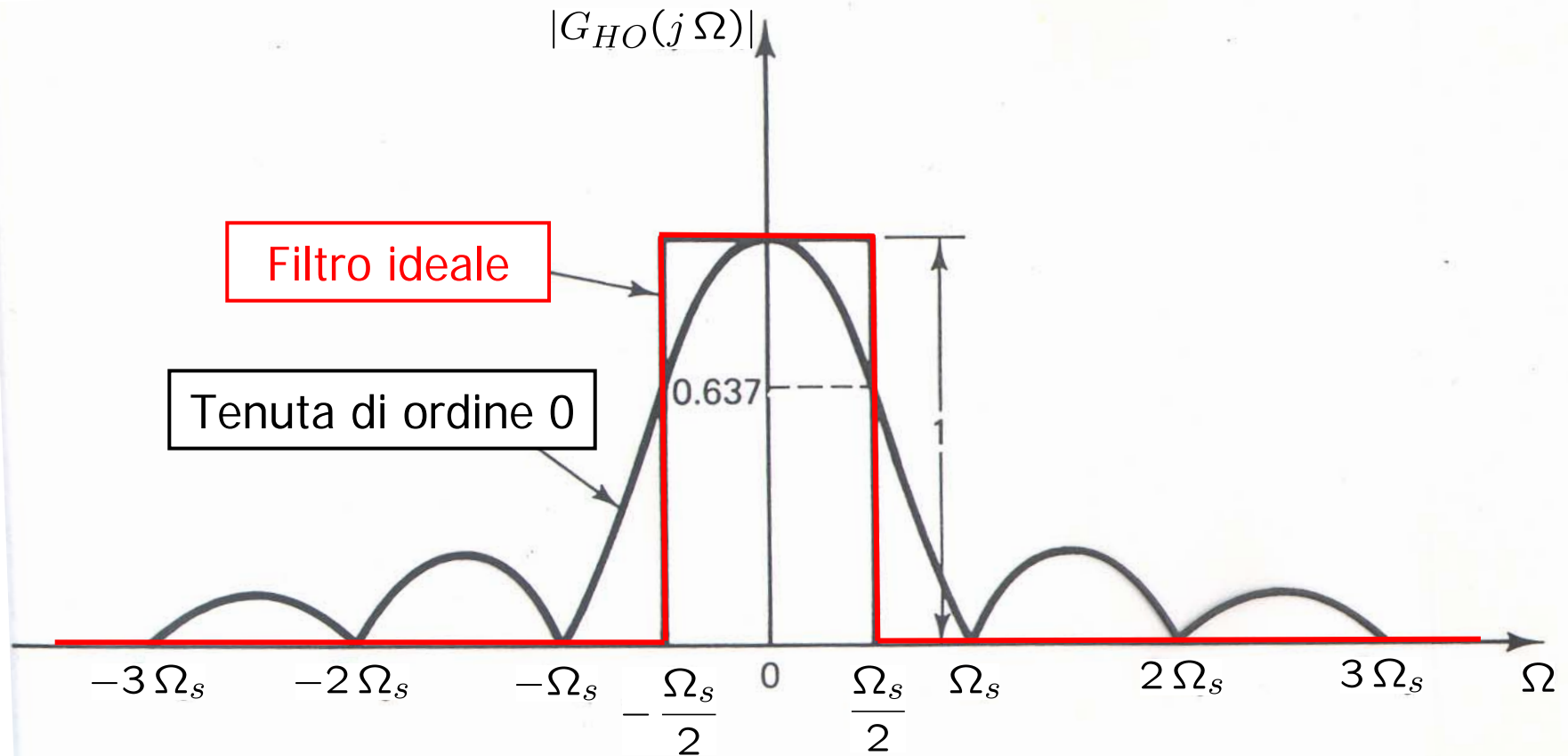
(a)

(a) Grafici della risposta in frequenza del dispositivo di tenuta di ordine 0 (ZOH)



(b)

(b) Diagrammi di Bode della risposta in frequenza del dispositivo di tenuta di ordine 0 (ZOH) per  $\Delta = 1$  s



Confronto tra il "filtro ideale" ed il dispositivo di mantenimento ZOH, nel caso di  $\Delta = 1s$ .

- **Modulo**

$$|G_{H0}(j\Omega)| = \Delta \left| \frac{\sin\left(\frac{\Omega\Delta}{2}\right)}{\frac{\Omega\Delta}{2}} \right|$$

- Si annulla alle pulsazioni multiple intere di  $\Omega_s = \frac{2\pi}{\Delta}$
- I picchi ai multipli  $k \frac{\Omega_s}{2}$ ,  $k = 3, 5, 7 \dots$  sono chiaramente indesiderati.
- Alla pulsazione  $\frac{\Omega_s}{2}$  il modulo vale approx.  $0.637 \Delta$ , quindi è diminuito di circa 3dB.
- Dato che la caratteristica frequenziale non è costante, c'è **distorsione in frequenza**.



- **Fase**

$$\angle G_{H0}(j\Omega) = \angle \left\{ \frac{\sin\left(\frac{\Omega\Delta}{2}\right)}{\frac{\Omega\Delta}{2}} \right\} + \angle e^{-\frac{\Delta}{2}j\Omega}$$

$$\angle G_{H0}(j\Omega) = -\frac{\Omega\Delta}{2} + \angle \left\{ \frac{\sin\left(\frac{\Omega\Delta}{2}\right)}{\frac{\Omega\Delta}{2}} \right\}$$

- Il diagramma della fase presenta discontinuità (salti di  $\pm 180^\circ$ )

$$\angle \left\{ \frac{\sin\left(\frac{\Omega\Delta}{2}\right)}{\frac{\Omega\Delta}{2}} \right\} = \begin{cases} 0, & 2k\Omega_s < \Omega < (2k+1)\Omega_s, \quad k = 0, 1, 2, 3, \dots \\ \pm\pi, & (2k+1)\Omega_s < \Omega < 2(k+1)\Omega_s, \quad k = 0, 1, 2, 3, \dots \end{cases}$$

## Considerazioni sulla risposta in frequenza dello ZOH

- Espressione completa

$$G_{H0}(j\Omega) = \Delta G_H(j\Omega), \quad G_H(j\Omega) = \frac{\sin\left(\frac{\Omega\Delta}{2}\right)}{\frac{\Omega\Delta}{2}} e^{-\frac{\Delta}{2}j\Omega}$$

- Espressione **approssimata**

$$G_{H0}(j\Omega) \approx \Delta e^{-\frac{\Delta}{2}j\Omega}, \quad |\Omega| \leq \Omega_N = \frac{\Omega_s}{2}$$

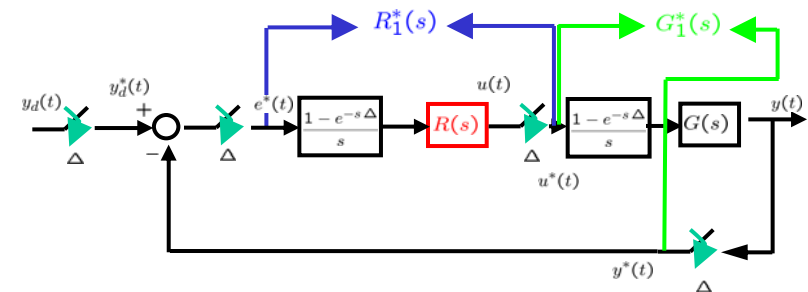
– Ne faremo uso più avanti ...

# Progetto con la tecnica HE: condizioni di equivalenza

- Torniamo allo schema della tecnica di progetto HE

$$R_1(j\Omega) = G_{H0}(j\Omega) R(j\Omega)$$

$$G_1(j\Omega) = G_{H0}(j\Omega) G(j\Omega)$$



$$G_{H0}(j\Omega) = \Delta G_H(j\Omega)$$

$$G_H(j\Omega) = \frac{\sin\left(\frac{\Omega\Delta}{2}\right)}{\frac{\Omega\Delta}{2}} e^{-\frac{\Delta}{2}j\Omega}$$

$$R_1^*(j\Omega) = \frac{1}{\Delta} \sum_{k=-\infty}^{+\infty} R_1[j(\Omega + k\Omega_s)]$$

$$G_1^*(j\Omega) = \frac{1}{\Delta} \sum_{k=-\infty}^{+\infty} G_1[j(\Omega + k\Omega_s)]$$

# HE: condizioni di equivalenza per la sintesi

- In base a quanto appena determinato possiamo scrivere:

$$R_1^*(j\Omega) G_1^*(j\Omega) = \left\{ \sum_{-\infty}^{+\infty} G_H[j(\Omega + n\Omega_s)] R[j(\Omega + n\Omega_s)] \right\} \cdot \left\{ \sum_{-\infty}^{+\infty} G_H[j(\Omega + n\Omega_s)] G[j(\Omega + n\Omega_s)] \right\}$$

- In definitiva il confronto deve avvenire tra

$$R(j\Omega) G(j\Omega) \longleftrightarrow R_1^*(j\Omega) G_1^*(j\Omega)$$

- Si ottiene **l'equivalenza approssimata** se

$$R(j\Omega) G(j\Omega) \approx R_1^*(j\Omega) G_1^*(j\Omega)$$

- Che cosa significa imporre questa condizione? Quali condizioni impongo sulle fdt  $R_1^*(s)$  e  $G_1^*(s)$ ?
- In definitiva quali condizioni impongo sul periodo di campionamento  $\Delta$ , sulla struttura del regolatore  $R(s)$ ?

- Innanzitutto  $R_1^*(s)$  e  $G_1^*(s)$  sono funzioni periodiche in  $\Omega$ , di periodo  $\Omega_s$ .
- Più in generale  $R_1^*(s)$  e  $G_1^*(s)$  replicano il loro andamento in strisce del piano complesso di ampiezza  $\Omega_s$ .
- Vediamo allora di fornire delle condizioni che ci permettano di arrivare all'equivalenza cercata.

## Condizione HE<sub>1</sub>

- $G_H(s)R(s)$  e  $G_H(s)G(s)$  hanno valori piccoli nelle strisce complementari, cioè se  $G_H(j\Omega)R(j\Omega)$  e  $G_H(j\Omega)G(j\Omega)$  sono **sufficientemente passabasso** così che si possa affermare che

$$|G_H(j\Omega) R(j\Omega)| \approx 0$$

fuori da  $[-\frac{\Omega_s}{2}, \frac{\Omega_s}{2}]$

$$|G_H(j\Omega) G(j\Omega)| \approx 0$$

$$R_1^*(j\Omega) G_1^*(j\Omega) \approx G_H(j\Omega) R(j\Omega) G_H(j\Omega) G(j\Omega), \quad -\frac{\Omega_s}{2} \leq \Omega \leq \frac{\Omega_s}{2}$$

Trascuriamo le code

## Condizione HE<sub>2</sub>

- Se  $R(j\Omega)$  e  $G(j\Omega)$  sono tali da avere modulo pressoché nullo in un intervallo di pulsazioni

$$\left(-\frac{\Omega_s}{2}, -\bar{\Omega}\right] , \left[\bar{\Omega}, \frac{\Omega_s}{2}\right)$$

in tal caso si ha che  $G_H(j\Omega)$  ha modulo pressoché pari ad 1 nell'intervallo di pulsazioni in cui  $R(j\Omega)$  e  $G(j\Omega)$  hanno modulo non nullo.

$$G_H(j\Omega) \approx e^{-\frac{\Delta}{2}j\Omega} \quad |\Omega| \leq \bar{\Omega} \ll \frac{\Omega_s}{2}$$



- Se valgono la CONDIZIONE  $HE_1$  e la CONDIZIONE  $HE_2$  allora abbiamo ottenuto l'equivalenza

$$R_1^*(j\Omega) G_1^*(j\Omega) \approx e^{-j\Delta\Omega} R(j\Omega) G(j\Omega), \quad -\frac{\Omega_s}{2} \leq \Omega \leq \frac{\Omega_s}{2}$$

- La relazione trovata ci dice che si riesce ad ottenere una forma di **"equivalenza"** tra le due risposte in frequenza, a patto di inserire nel problema a tempo continuo un termine di **ritardo finito**, pari proprio al periodo di campionamento  $\Delta$ .

## Osservazioni

- CONDIZIONE  $HE_1$ : può essere difficile da verificare se il regolatore  $R(s)$  è un **filtro passa-alto**. In tal caso è opportuno introdurre almeno un termine correttivo

$$R_1^*(j\Omega) G_1^*(j\Omega) \approx G_H(j\Omega) R(j\Omega) G_H(j\Omega) G(j\Omega) + \\ + G_H[j(\Omega - \Omega_s)] R[j(\Omega - \Omega_s)] G_H[j(\Omega - \Omega_s)] G[j(\Omega - \Omega_s)]$$

- Non approfondiamo!**

# Osservazioni

- CONDIZIONE  $HE_2$ : dipende dai blocchi di tenuta e si può cercare di modificare  $R(s)$  in modo tale da tenere conto del loro effetto.
- Affinché il progetto del controllore con il metodo HE vada a buon fine allora, durante la fase di progetto del “regolatore a tempo continuo” sarà opportuno imporre per  $R(s)$  una risposta in frequenza comunque di tipo “passa—basso” almeno da una certa pulsazione  $\bar{\Omega}$  in poi

$$|R(j\Omega)| \approx 0, \quad \Omega \geq \bar{\Omega}, \quad \bar{\Omega} \ll \frac{\Omega_s}{2}$$

## Considerazioni pratiche

- Come viene applicata la tecnica di sintesi HE?
- Come si fa a garantire che le condizioni  $HE_1$  e  $HE_2$  appena viste siano rispettate?
- Quali vincoli comportano le due condizioni sulla scelta del periodo di campionamento?

## Considerazioni pratiche

- Supponiamo che il regolatore a tempo continuo  $R(s)$  sia assegnato.
- La relazione  $R_1^*(j\Omega) G_1^*(j\Omega) \approx e^{-j\Delta\Omega} R(j\Omega) G(j\Omega)$

$$-\frac{\Omega_s}{2} \leq \Omega \leq \frac{\Omega_s}{2}$$

ci permette di affermare che le **prestazioni** del sistema a **segnali campionati** saranno **inferiori** a quelle del sistema puramente a tempo continuo. Infatti il **margin** di fase del sistema a segnali campionati sarà certamente **inferiore** a quello del sistema originario.

- Come tenere conto di questo “deterioramento” delle prestazioni in sede di **progetto del regolatore** a tempo continuo  $R(s)$ ?
- Per ottenere un margine di fase  $\varphi_m$  assegnato per il sistema a segnali campionati è necessario progettare il controllore a tempo continuo in modo tale da ottenere un margine di fase più elevato.
- In particolare, bisogna tener conto della perdita di margine di fase dovuta al termine

$$R_1^*(j\Omega) G_1^*(j\Omega) \approx e^{-j \Delta \Omega} R(j\Omega) G(j\Omega)$$

- Poiché si tratta di un'equivalenza approssimata la perdita di margine di fase dovuta al “ritardo finito equivalente” va più che compensata.

## Un esempio

- Consideriamo il processo descritto dalla FdT

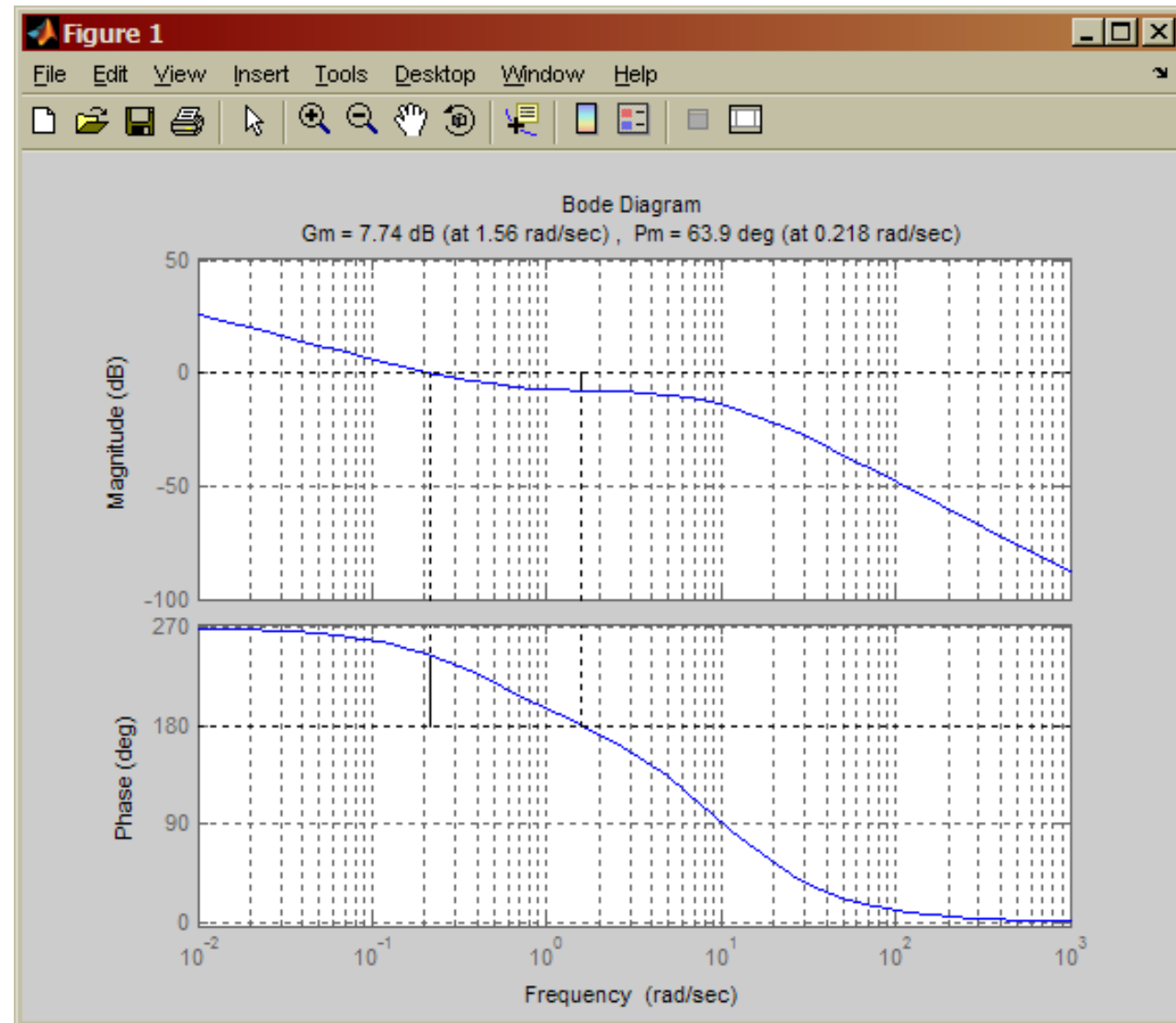
$$G(s) = \frac{0.1 (1 - 2s)}{s (1 + 10s) (1 + 0.1s)}$$

- Il regolatore a tempo continuo

$$R(s) = \frac{2 (1 + 10s)}{(1 + 0.1s)}$$

consente di ottenere un margine di fase  $\varphi_m \approx 64^\circ$  alla pulsazione  $\Omega_c \approx 0.218$  rad/s.

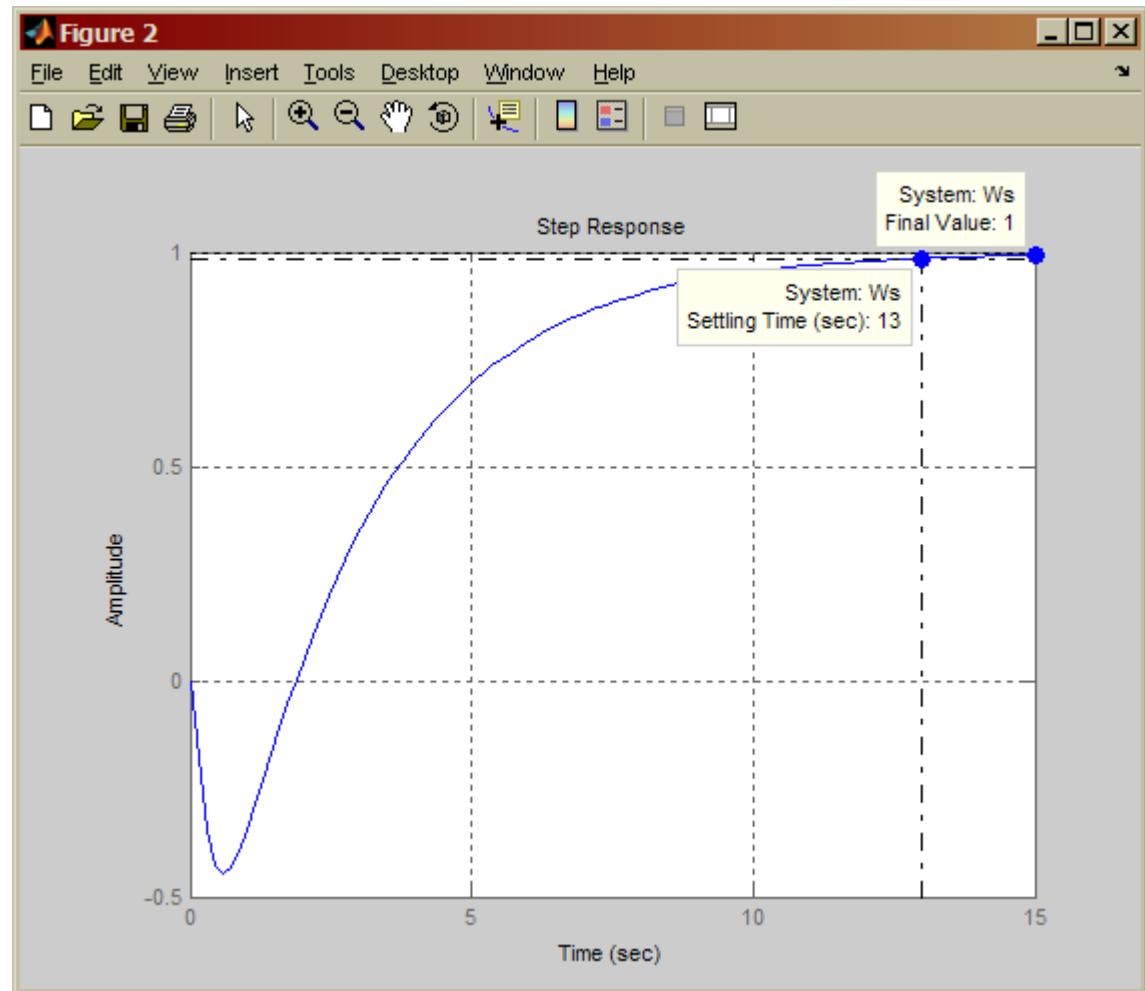
Diagrammi di Bode della risposta in frequenza di ciclo aperto e margini di stabilità



Sistema a tempo continuo



Risposta allo scalino a ciclo chiuso



Sistema a tempo continuo

- Scelta del periodo di campionamento
  - in base alla pulsazione critica d'anello aperto per il sistema a tempo continuo

$$\Omega_c \approx 0.218 \text{ rad/s}$$

ed utilizzando la regola empirica (già vista)

$$\alpha \Omega_c \leq \Omega_s \leq 10 \alpha \Omega_c \qquad 5 \leq \alpha \leq 10$$

il periodo di campionamento potrebbe essere scelto nell'intervallo

$$\frac{\pi}{5 \alpha \Omega_c} \leq \Delta \leq \frac{2 \pi}{\alpha \Omega_c} \qquad 5 \leq \alpha \leq 10$$

cioè

$$\frac{2.88}{\alpha} \leq \Delta \leq \frac{28.82}{\alpha} \qquad 5 \leq \alpha \leq 10$$

- Una scelta plausibile sembra  $\Delta = 1 \text{ s}$

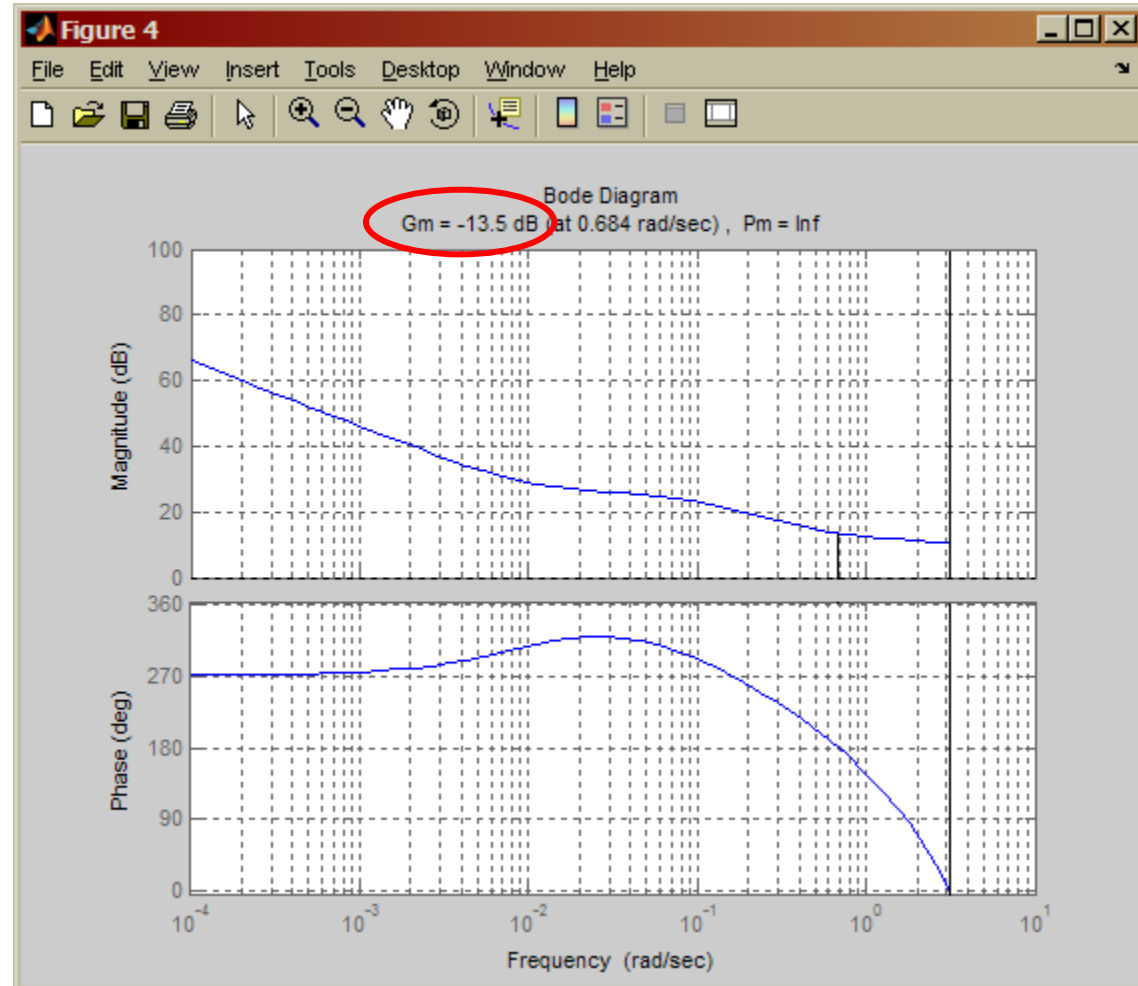
$$R_{HE}(z) = \frac{200z - 198}{z - 4.54 \cdot 10^{-5}}$$

- Tuttavia ...

Perchè è instabile  
il sistema ad  
anello chiuso?

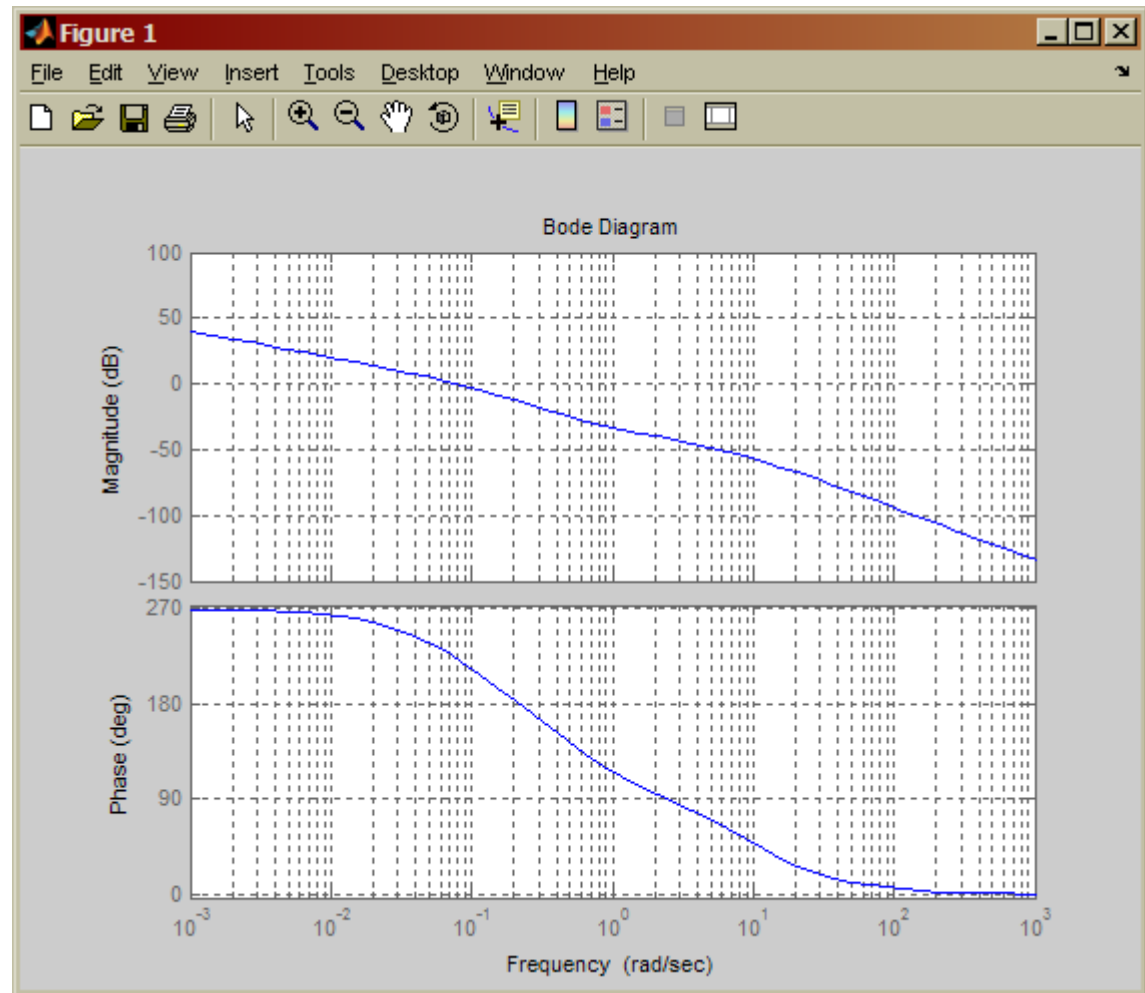
Quale errore è  
stato commesso  
nel discretizzare?

Di cosa non si è  
tenuto conto?



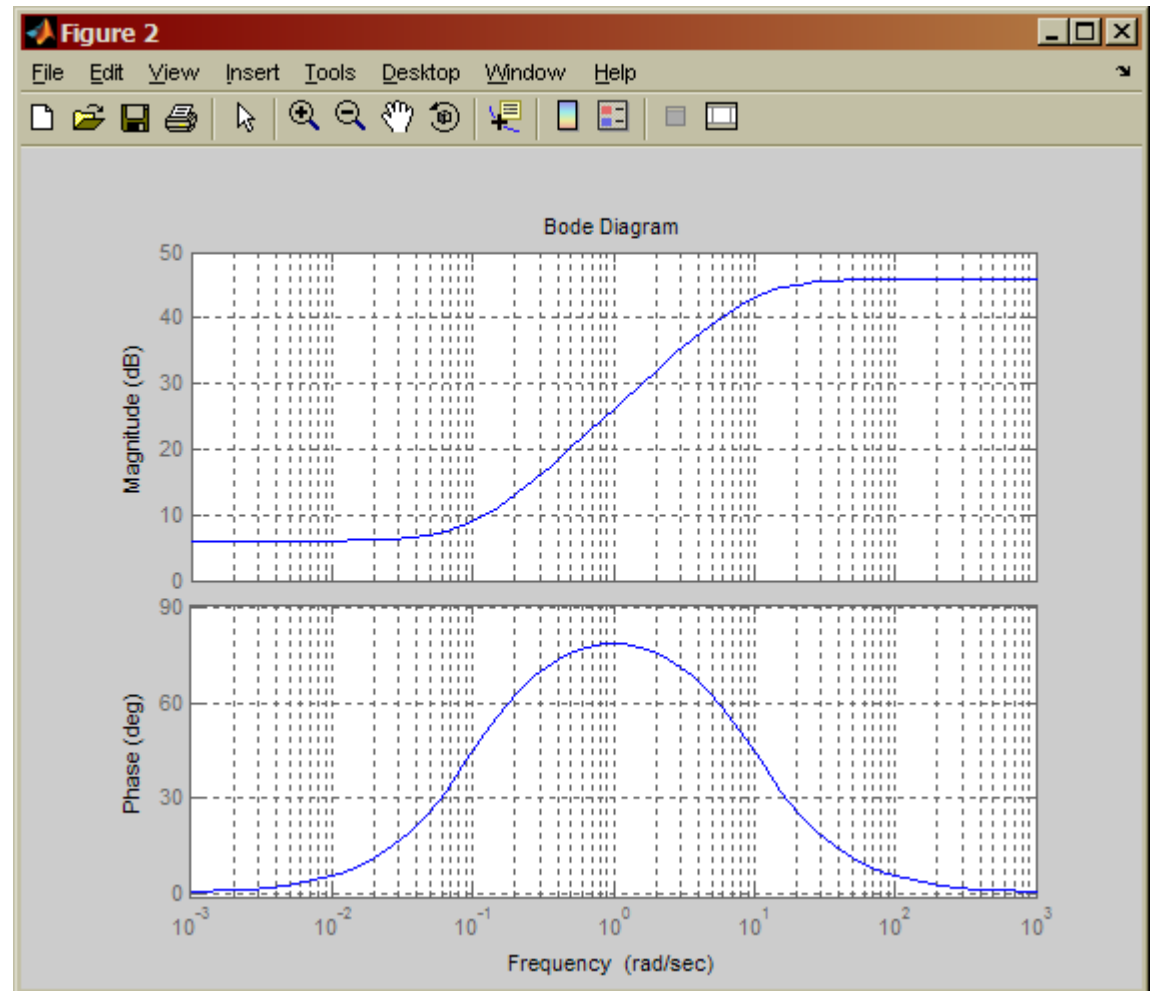
$$G(s) = \frac{0.1(1 - 2s)}{s(1 + 10s)(1 + 0.1s)}$$

Diagramma di Bode della risposta in frequenza dell'impianto: è un passa—basso, quindi è possibile soddisfare le condizioni  $HE_1$  ed  $HE_2$  del progetto HE.



$$R(s) = \frac{2(1 + 10s)}{(1 + 0.1s)}$$

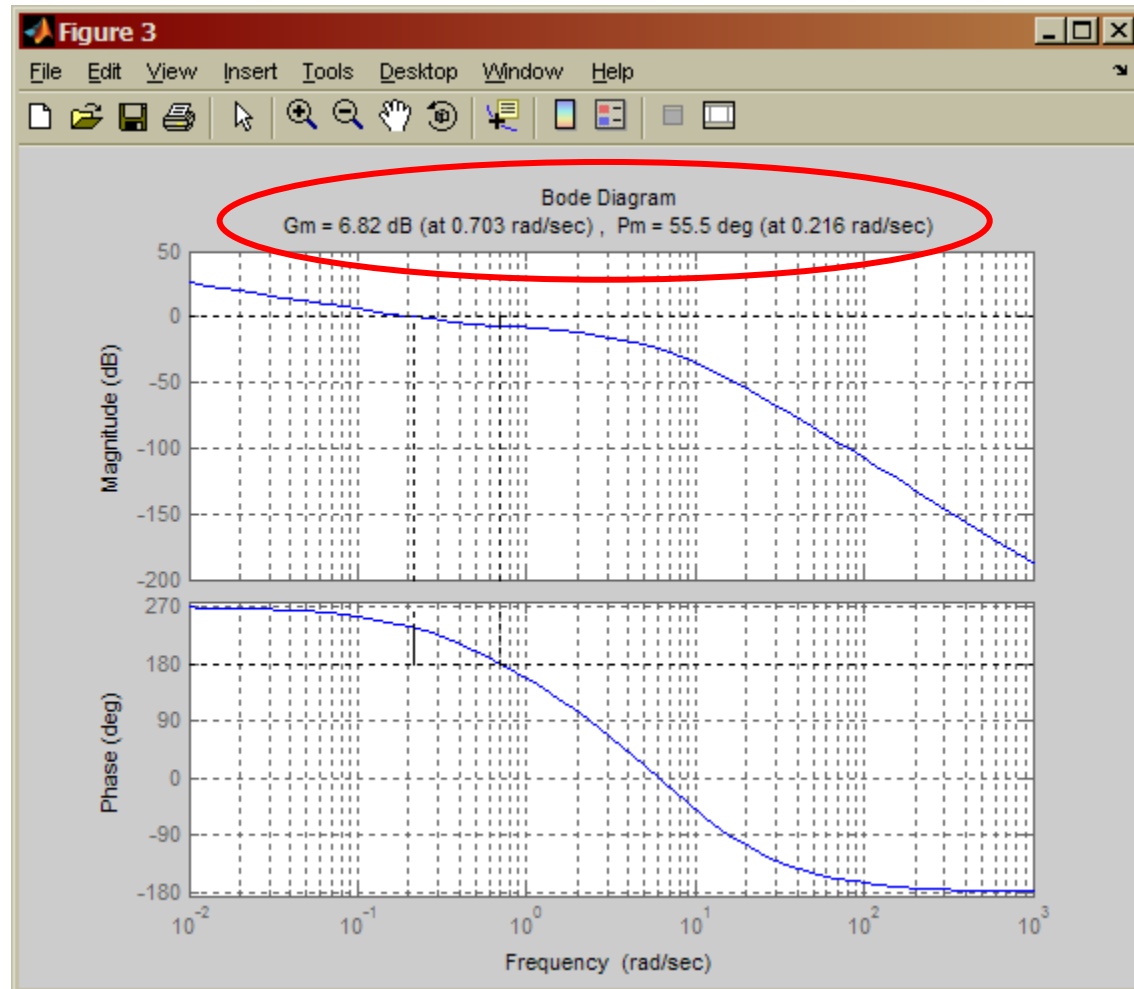
Diagramma di Bode della risposta in frequenza del regolatore.



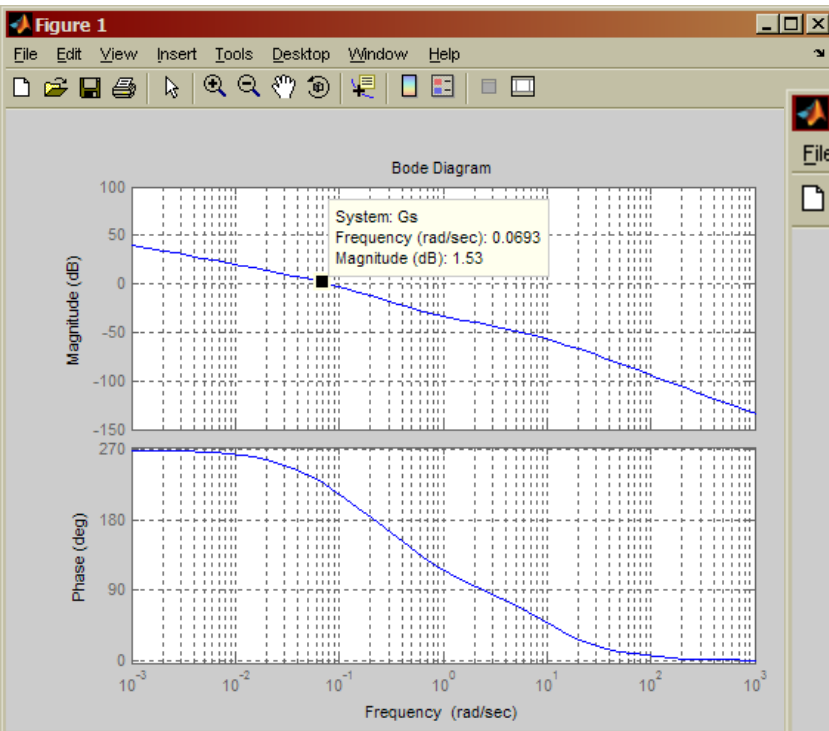
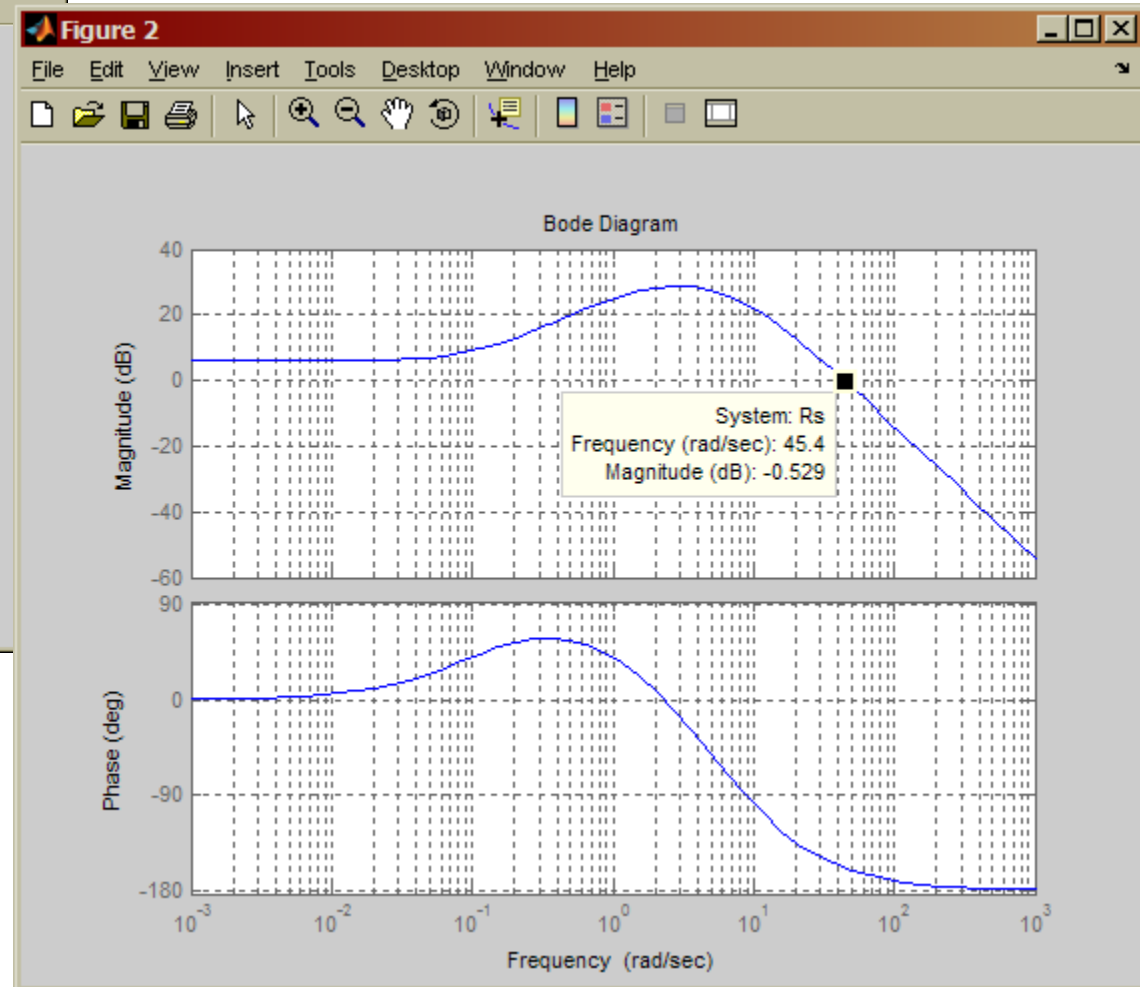
Non sono verificate le condizioni  $HE_1$  ed  $HE_2$ !

- Modifichiamo allora il regolatore a tempo continuo!

- Per esempio: 
$$R(s) = \frac{2(1 + 10s)}{(1 + 0.5s)(1 + 0.2s)(1 + 0.1s)}$$



- Entrambe le FdT stavolta hanno un comportamento di tipo passa—basso

 $R(s)$ 

 $G(s)$ 


- Per far sì che siano valide le condizioni 1 e 2, la pulsazione  $\Omega_N$  deve essere maggiore della pulsazione critica di  $R(s)$ :

$$\Omega_N > 45 \text{ rad/s}$$

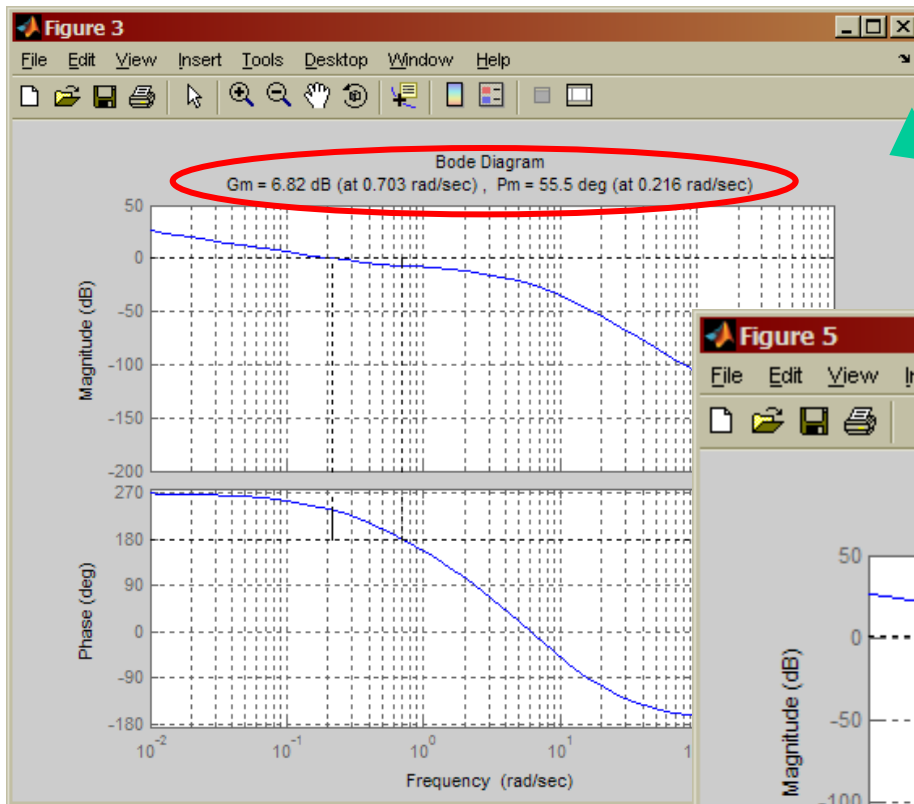
- Con una pulsazione di campionamento pari a

$$\Omega_s = 120 \text{ rad/s}$$

si ottiene un periodo di campionamento pari a

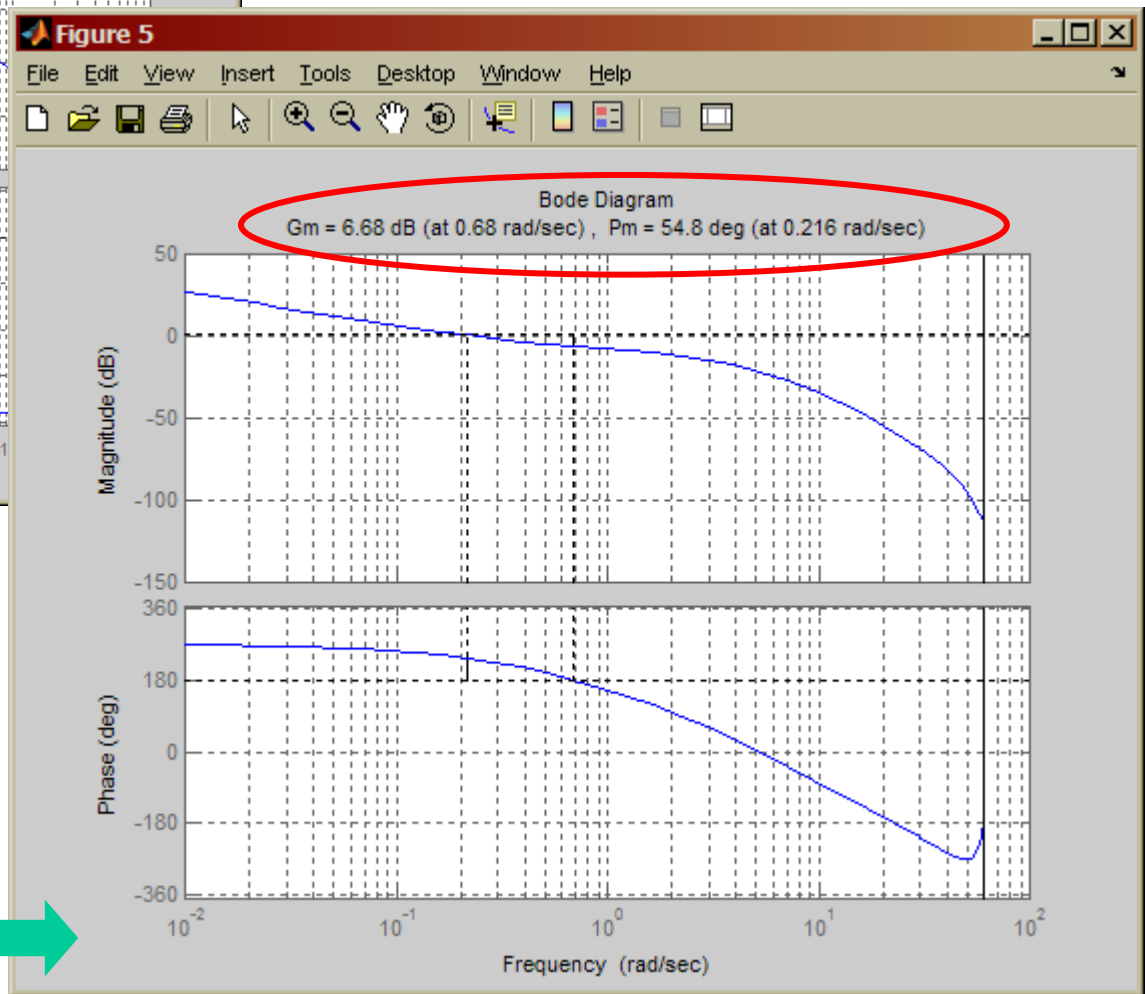
$$\Delta \approx 5.24 \cdot 10^{-2} \text{ s}$$



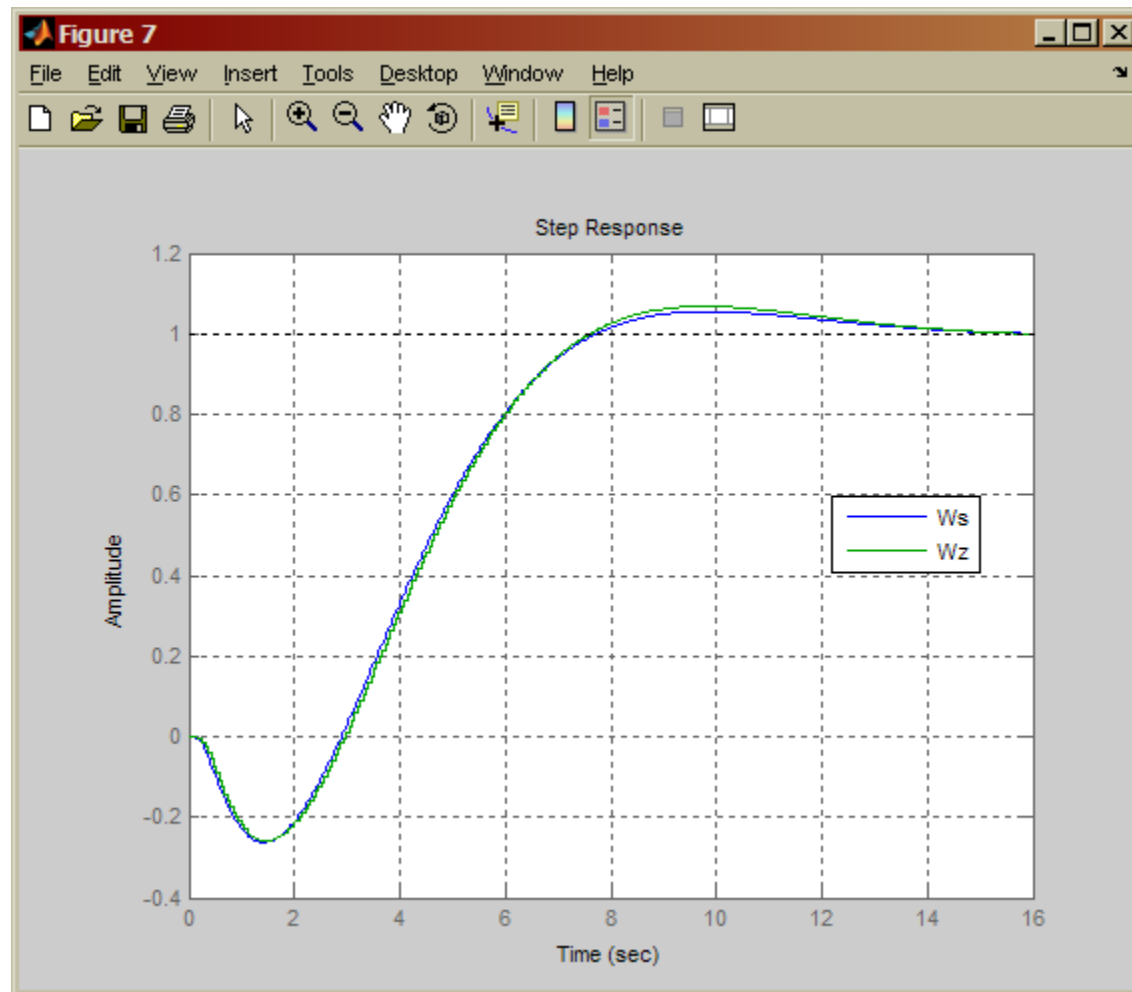


A tempo continuo

A segnali campionati



- Come si può vedere dalla figura, le prestazioni dei due sistemi sono sostanzialmente le stesse



Esempio in Matlab: **progettoHE.m**

# CRITICHE AL METODO “Hold Equivalent”

- Le **prestazioni** di un regolatore a segnali campionati ottenuto con il metodo “Hold Equivalent” possono essere **non** del tutto **soddisfacenti**.
- La presenza di una **doppia coppia di campionatore — circuito di mantenimento** è assimilabile (almeno in prima approssimazione) ad un **ritardo finito** di durata pari al **periodo di campionamento**.
- Affinché l'effetto di questo ritardo aggiuntivo non degradi eccessivamente le prestazioni del sistema di controllo, è necessario che il **progetto preliminare** a tempo continuo garantisca un'**eccedenza di margine di fase** almeno **doppia** rispetto a quella richiesta quando si utilizzano altre tecniche di discretizzazione (“**Eulero all'indietro**”, **Tustin** ...), oltre che il **rispetto delle condizioni  $HE_1$  ed  $HE_2$** .

## Altro esempio di progetto HE

- Consideriamo il processo descritto dalla FdT  $G(s) = \frac{1}{s(s+1)}$
- Il regolatore puramente proporzionale  $R(s) = \mu = 1.5$  consente di ottenere un margine di fase pari a  $\varphi_m \approx 44^\circ$  alla pulsazione critica  $\Omega_c \approx 1$  rad/s.
- Vogliamo determinare un regolatore a segnali campionati per il sistema in questione: già sappiamo che dobbiamo modificare la struttura del regolatore  $R(s)$  per poter garantire il soddisfacimento delle condizioni  $HE_1$  e  $HE_2$ .

- Il regolatore viene modificato per avere un comportamento da passa—basso

$$R_1(s) = \frac{1.5}{(0.05s + 1)}$$

- Il margine di fase diminuisce di poco  $\varphi_m \approx 41^\circ$   
 $\Omega_c \approx 1 \text{ rad/s}$

- Per poter soddisfare le condizioni  $HE_1$  ed  $HE_2$  vanno valutate anche la pulsazione di modulo unitario del solo regolatore  $R_1(s)$ , del processo  $G(s)$

$$\Omega_{c,R_1} \approx 22.4 \text{ rad/s}$$

$$\Omega_{c,G} \approx 0.8 \text{ rad/s}$$

- Per poter soddisfare le condizioni  $HE_1$  ed  $HE_2$  conviene scegliere la pulsazione di campionamento  $\Omega_s$  molto superiore alla pulsazione  $\Omega_{c, R_1}$  (che è la maggiore tra quelle considerate).
- Ad esempio

$$\Omega_{s1} = 60 \text{ rad/s}$$

$$\Delta_1 \approx 0.1 \text{ s}$$

$$\varphi_{m,1} \approx 34^\circ$$

$$\Omega_{c,1} \approx 1 \text{ rad/s}$$

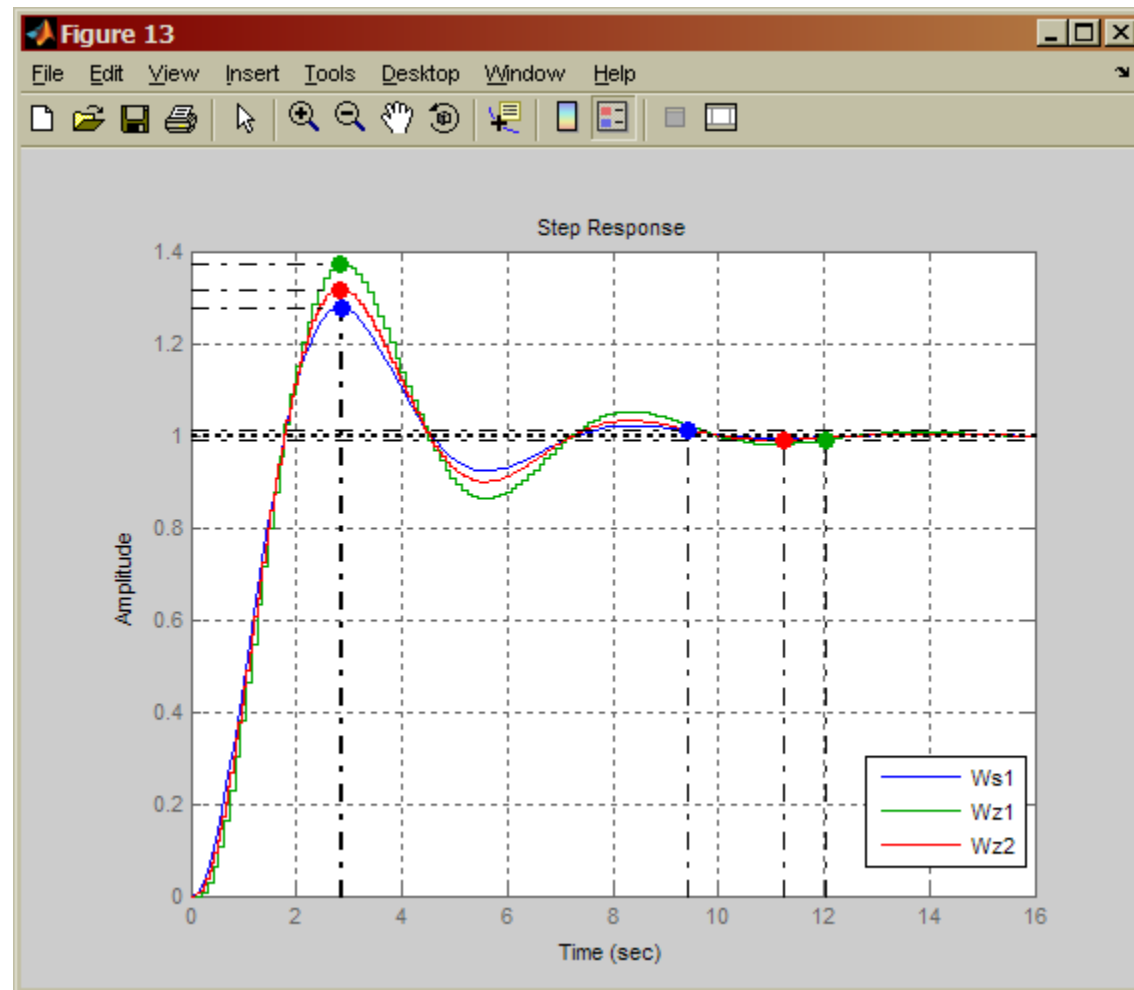
$$\Omega_{s2} = 125 \text{ rad/s}$$

$$\Delta_2 \approx 5 \cdot 10^{-2} \text{ s}$$

$$\varphi_{m,2} \approx 38^\circ$$

$$\Omega_{c,2} \approx 1 \text{ rad/s}$$

- Le risposte allo scalino a ciclo chiuso del sistema a tempo continuo e dei due sistemi a segnali campionati sono in figura



Esempio in Matlab: **progettoHE.m**

## **Altre tecniche di progetto per discretizzazione**

**Metodi di Eulero “in avanti”, di Eulero  
“all’indietro”, di Tustin**



# Formule di discretizzazione ispirate all'integrazione numerica: linee guida

- Vedremo soltanto alcune **tecniche** elementari, con **periodo di campionamento  $\Delta$  fisso**.
- Anche se quelle che descriveremo non saranno tecniche complesse (o anche per questo motivo), le **tecniche più utilizzate** tra quelle di progetto per discretizzazione approssimata sono proprio quelle che descriveremo.

# Formule di discretizzazione ispirate all'integrazione numerica : linee guida

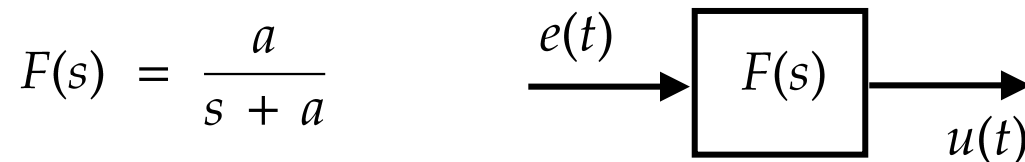
- Fondamentalmente le linee guida di questi approcci sono
  - A partire dalla FdT del sistema LTI a tempo continuo  $R(s)$  [per noi sarà il regolatore], descrivere il comportamento I/O del sistema tramite un'equazione differenziale;
  - Determinare un'equazione alle differenze la cui soluzione sia un'approssimazione, a tempo discreto (a segnali campionati), della soluzione dell'equazione differenziale determinata in precedenza.

# Formule di discretizzazione ispirate all'integrazione numerica : linee guida

- In sostanza così si costruisce una approssimazione a tempo discreto (la soluzione della equazione alle differenze) della risposta impulsiva del sistema LTI originario a tempo discreto.

# Giustificazione delle formule di discretizzazione

- L'approccio proposto prevede di costruire un'approssimazione a tempo discreto (la soluzione dell'equazione alle differenze) della risposta impulsiva del sistema LTI originario a tempo continuo.
- Consideriamo un sistema LTI a tempo continuo descritto dalla FdT



- Pensando alle applicazioni studiate nel corso, l'ingresso al sistema è il segnale "errore"  $e(t)$ , mentre l'uscita del blocco è il "segnale di comando"  $u(t)$ .

## Giustificazione (continua ...)

- Sfruttando la relazione I/O descritta tramite la FdT posso scrivere:

$$U(s) = R(s) \cdot E(s) = \frac{a}{s + a} \cdot E(s)$$

- Rielaborandola ottengo  $s U(s) = -a U(s) + a E(s)$
- Antitrasformando, sfruttando le proprietà della trasformata di Laplace (linearità e trasformata della derivata prima di un segnale) e supponendo condizioni iniziali nulle si ottiene l'equazione differenziale

$$\dot{u}(t) = -a \cdot u(t) + a \cdot e(t)$$

- A questo punto abbiamo ottenuto una descrizione del comportamento I/O del sistema LTI sotto forma di un'equazione differenziale che lega l'evoluzione del segnale d'uscita  $u(t)$  al segnale d'ingresso  $e(t)$  ed al sistema:

$$\dot{u}(t) = -a \cdot u(t) + a \cdot e(t)$$

- La soluzione dell'equazione differenziale, scritta in forma chiusa è data dall'espressione integrale seguente

$$u(t) = \int_0^t [-a \cdot u(\tau) + a \cdot e(\tau)] d\tau$$

- Ora non rimane che da determinare un'espressione approssimata della soluzione dell'equazione differenziale, valida a tempo discreto:

$$k \Delta \longleftrightarrow t$$

- Considerando allora soltanto istanti di tempo multipli interi di un "intervallo base"  $\Delta$  si può riscrivere l'espressione integrale (la soluzione in forma chiusa) come segue:

$$k \Delta \longleftrightarrow t \quad \Rightarrow \quad u(k \Delta) = \int_0^{k \Delta} [-a \cdot u(\tau) + a \cdot e(\tau)] d\tau$$

- Per linearità dell'operatore integrale si può scrivere che

$$u(k \Delta) = \underbrace{\int_0^{(k-1) \Delta} [\dots] d\tau}_{u[(k-1) \Delta]} + \int_{(k-1) \Delta}^{k \Delta} [\dots] d\tau$$

- In definitiva

$$u(k \Delta) = u[(k-1) \Delta] + \int_{(k-1) \Delta}^{k \Delta} [-a u(\tau) + a e(\tau)] d\tau$$

- A seconda di come si approssima il termine integrale

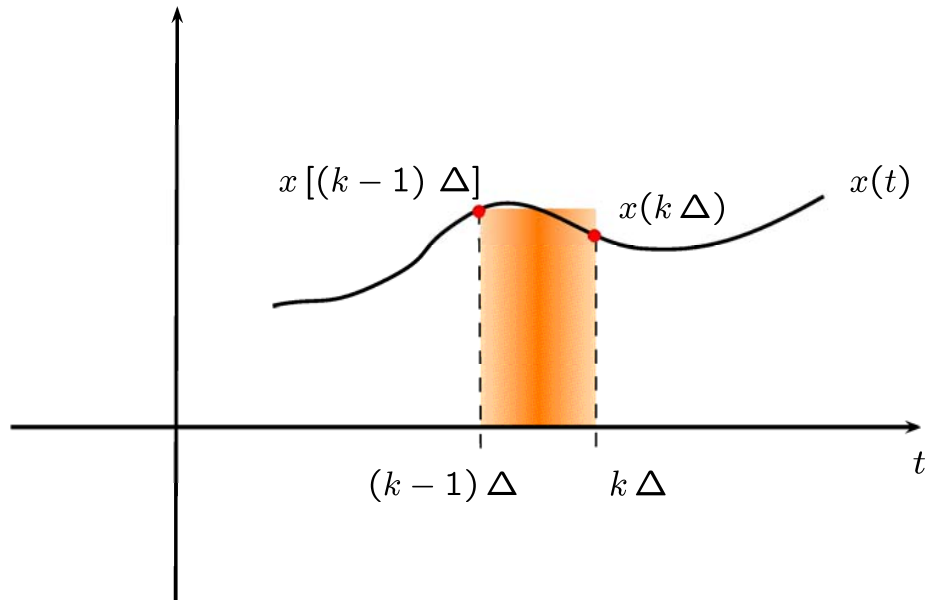
$$\int_{(k-1)\Delta}^{k\Delta} [ -a u(\tau) + a e(\tau) ] d\tau$$

si ottengono metodi di discretizzazione differenti.

- Poiché si tratta di approssimare un integrale definito per via numerica, si possono utilizzare le **formule di quadratura** dell'analisi numerica: qualsiasi tecnica di quadratura potrebbe essere utile allo scopo. In realtà considereremo solamente quelle tecniche di quadratura che portano effettivamente a formule di discretizzazione di uso comune.



## Differenze "in avanti" o *Forward Euler* (FE)



- Indicata con " $x(t)$ " la funzione da integrare, si approssima l'area sottesa dal grafico di  $x(t)$  nell'intervallo d'interesse con l'area del **rettangolo** evidenziato in figura.

$$\int_{(k-1)\Delta}^{k\Delta} [-a u(\tau) + a e(\tau)] d\tau \approx$$

$$\Delta \cdot \{-a u[(k-1)\Delta] + a e[(k-1)\Delta]\}$$

- Sostituendo nell'espressione precedente si ottiene

$$u(k \Delta) \approx u[(k-1) \Delta] + \Delta \cdot \{-a u[(k-1) \Delta] + a e[(k-1) \Delta]\}$$

- Riordinando i vari termini si arriva all'equazione alle differenze

$$u(k \Delta) = (1 - a \Delta) u[(k-1) \Delta] + a \Delta e[(k-1) \Delta]$$

- A questo punto, nell'ipotesi di condizioni iniziali tutte nulle [per semplicità] è possibile determinare la Z-trasformata dell'equazione alle differenze che è stata appena determinata.
- Si noti che abbiamo sostituito il simbolo di approssimazione  $\approx$  con quello di eguaglianza  $=$  nell'espressione che stiamo analizzando!

$$u(k \Delta) = (1 - a \Delta) u((k - 1) \Delta) + a \Delta e((k - 1) \Delta)$$



Z—trasformata

$$U(z) = (1 - a \Delta) z^{-1} U(z) + a \Delta z^{-1} E(z)$$

Rielaborando l'espressione si ottiene

$$U(z) = \frac{a \Delta z^{-1}}{1 - (1 - a \Delta) z^{-1}} E(z)$$

Allora si è ottenuta una descrizione a tempo discreto del sistema dinamico originario: la sua FdT a tempo discreto è pari a

$$F_{FE}(z) = \frac{\frac{a}{\Delta} z^{-1}}{1 - (1 - a \Delta) z^{-1}}$$

## Differenze “in avanti” o *Forward Euler* (FE)

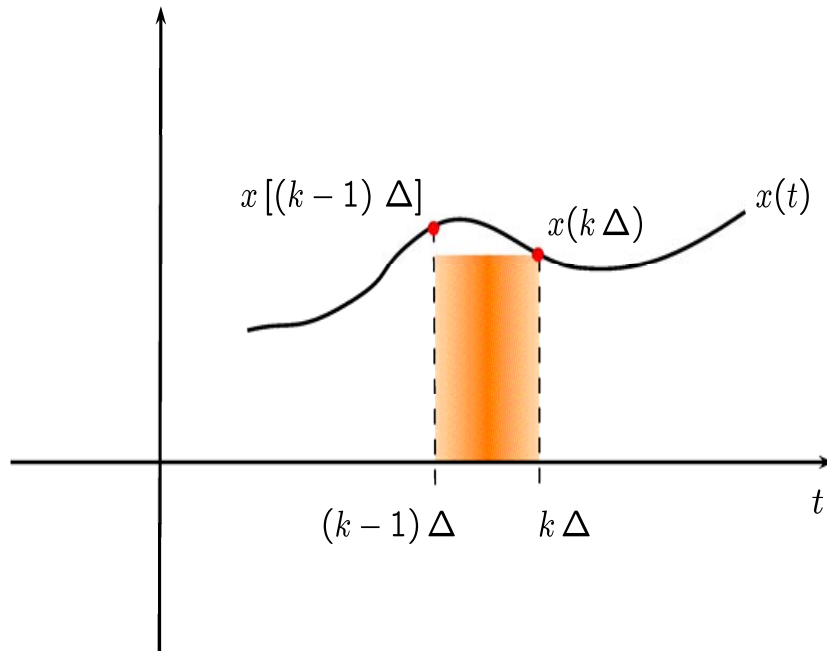
- Confrontiamo la descrizione a tempo continuo del sistema e quella a cui siamo arrivati

$$F(s) = \frac{a}{s + a} \quad \longleftrightarrow \quad F_{FE}(z) = \frac{a}{\frac{z-1}{\Delta} + a}$$

- Per confronto si ottiene la **formula di discretizzazione con il metodo delle “differenze in avanti” o FE**

$$(FE) \quad s = \frac{z-1}{\Delta} \quad \longleftrightarrow \quad z = 1 + s\Delta \quad (FE)^{-1}$$

## Differenze "all'indietro" o *Backward Euler* (BE)



- Indicata con "x(t)" la funzione da integrare, si approssima l'area sottesa dal grafico di x(t) nell'intervallo d'interesse con l'area del **rettangolo** evidenziato in figura.

$$\int_{(k-1)\Delta}^{k\Delta} [-a u(\tau) + a e(\tau)] d\tau \approx$$

$$\Delta \cdot \{-a u(k\Delta) + a e(k\Delta)\}$$

- In maniera analoga a quanto fatto in precedenza, si ottiene una nuova equazione alle differenze che approssima anch'essa la soluzione esatta dell'equazione differenziale da cui abbiamo preso spunto

$$u(k \Delta) \approx u[(k-1) \Delta] + \Delta \cdot \{-a u(k \Delta) + a e(k \Delta)\}$$

- Riordinando i vari termini si arriva ad un'equazione alle differenze del primo ordine, della quale poi, al solito, determineremo la soluzione tramite la Z-trasformata

$$u(k \Delta) \approx \frac{1}{1 + a \Delta} \cdot u[(k-1) \Delta] + \frac{a \Delta}{1 + a \Delta} \cdot e(k \Delta)$$

$$u(k \Delta) = \frac{1}{1 + a \Delta} \cdot u[(k - 1) \Delta] + \frac{a \Delta}{1 + a \Delta} \cdot e(k \Delta)$$

- Tramite la Z-trasformata si arriva all'espressione

$$U(z) = \frac{z^{-1}}{1 + a \Delta} \cdot U(z) + \frac{a \Delta}{1 + a \Delta} \cdot E(z)$$

- Allora si è ottenuta una descrizione a tempo discreto del sistema dinamico originario: la sua FdT a tempo discreto è pari a

$$U(z) = \frac{a \Delta}{1 + a \Delta - z^{-1}} \cdot E(z)$$

$$F(z) = \frac{a}{\frac{z - 1}{\Delta z} + a}$$

# Differenze "all'indietro" o *Backward Euler* (BE)

- Confrontiamo la descrizione a tempo continuo del sistema e quella a cui siamo arrivati

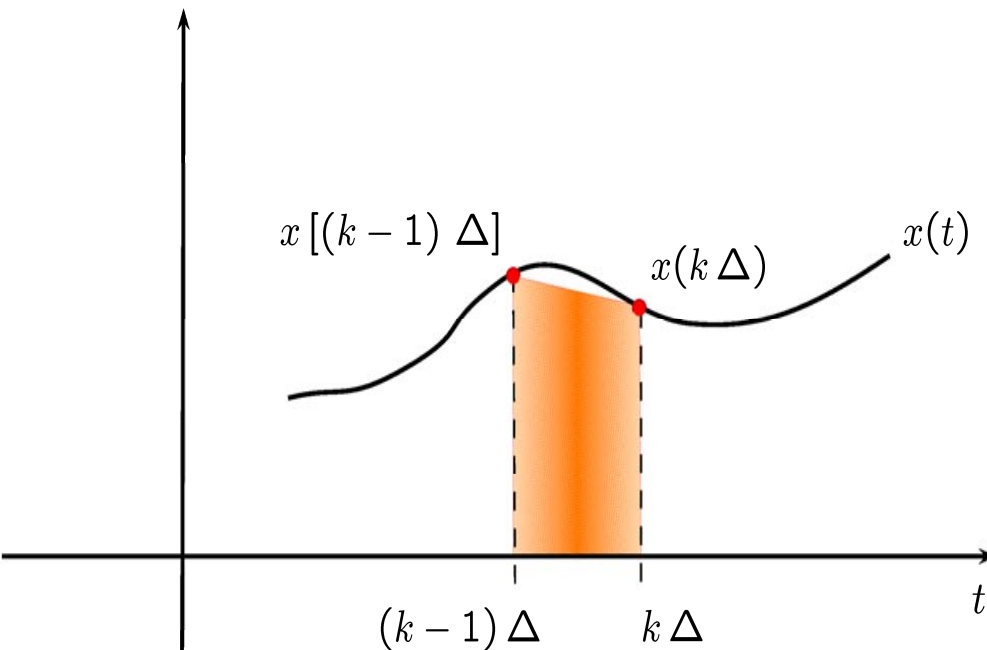
$$F(s) = \frac{a}{s + a} \quad \longleftrightarrow \quad F_{BE}(z) = \frac{a}{\frac{z-1}{\Delta z} + a}$$

- Per confronto si ottiene la **formula di discretizzazione con il metodo delle "differenze all'indietro" o BE**

$$(BE) \quad s = \frac{z-1}{\Delta z} \quad \longleftrightarrow \quad z = \frac{1}{1 - s\Delta} \quad (BE)^{-1}$$



# Metodo "dei trapezi" o formula di Tustin (TU)



- Indicata con " $x(t)$ " la funzione da integrare, si approssima l'area sottesa dal grafico di  $x(t)$  nell'intervallo d'interesse con l'area del **trapezio** evidenziato in figura.

$$\int_{(k-1)\Delta}^{k\Delta} [\dots] \approx$$

$$\approx \frac{\Delta}{2} \cdot \{-a u[(k-1)\Delta] + a e[(k-1)\Delta] - a u(k\Delta) + a e(k\Delta)\}$$

- In maniera analoga a quanto fatto negli altri due casi:

$$u(k \Delta) = \frac{1 - \frac{a \Delta}{2}}{1 + \frac{a \Delta}{2}} \cdot u[(k-1) \Delta] + \frac{\frac{a \Delta}{2}}{1 + \frac{a \Delta}{2}} \cdot \{e[(k-1) \Delta] + e(k \Delta)\}$$

- Applicando infine la Z-trasformata si arriva ad ottenere la seguente FdT a tempo discreto

$$F(z) = \frac{a}{\frac{2}{\Delta} \left( \frac{z-1}{z+1} \right) + a}$$

# Metodo “dei trapezi” o formula di Tustin (TU)

- Confrontiamo la descrizione a tempo continuo del sistema e quella a cui siamo arrivati

$$F(s) = \frac{a}{s + a} \quad \longleftrightarrow \quad F_{TU}(z) = \frac{a}{\frac{2}{\Delta} \left( \frac{z - 1}{z + 1} \right) + a}$$

- Per confronto si ottiene la **formula di discretizzazione con la formula di Tustin o TU**

$$(TU) \quad s = \frac{2}{\Delta} \frac{z - 1}{z + 1} \quad \longleftrightarrow \quad z = \frac{1 + \frac{\Delta}{2}s}{1 - \frac{\Delta}{2}s} \quad (TU)^{-1}$$

# Proprietà delle trasformazioni

Conservazione della stabilità  
di una FdT da "s" a "z"

Mantenimento di specifiche  
sulla risposta in frequenza da "s" a "z"

# Proprietà delle trasformazioni

- I tre metodi di discretizzazione FE, BE, TU possono essere introdotti anche come **approssimazioni** della **legge del campionamento**

$$z = e^{s\Delta}$$

- In particolare, si consideri lo sviluppo in serie della relazione del campionamento in un intorno di  $s=0$ :

$$e^{s\Delta}\Big|_{s=0} \approx \dots$$

- Metodo FE

$$z = e^{s\Delta} \approx 1 + s\Delta \quad \longleftrightarrow \quad s = \frac{z - 1}{\Delta}$$

- Metodo BE

$$z = e^{s\Delta} = \frac{1}{e^{-s\Delta}} \approx \frac{1}{1 - s\Delta} \quad \longleftrightarrow \quad s = \frac{z - 1}{\Delta z}$$

- Trasformata di Tustin TU

$$z = e^{s\Delta} \approx 1 + s\Delta + \frac{1}{2}s^2\Delta^2$$

$$z = \frac{1 + \frac{\Delta}{2}s}{1 - \frac{\Delta}{2}s} \approx 1 + s\Delta + \frac{1}{2}s^2\Delta^2 \quad \nearrow$$

## Proprietà delle trasformazioni




- Tutte e 3 le trasformazioni presentate garantiscono che se la FdT originaria del **regolatore a tempo continuo  $R(s)$**  è razionale a coefficienti costanti [  $R(s)$  è **sistema LTI** ] allora
  - la FdT del regolatore a segnali campionati  **$R(z)$**  è anch'essa **razionale** (a coefficienti costanti);
  - il regolatore  **$R(z)$**  è quindi anch'esso un **sistema dinamico lineare e stazionario**.

## Proprietà delle trasformazioni: conservazione della stabilità

- Come sono collocati zeri e poli del regolatore a segnali campionati  $R(z)$  ottenuto applicando la formula FE, oppure BE o TU, rispetto alla collocazione di zeri e poli del regolatore originario a tempo continuo  $R(s)$ ?
- Si noti che, a partire da uno stesso regolatore a tempo continuo  $R(s)$  ed applicando le 3 formule viste si ottengono 3 regolatori a segnali campionati differenti, con configurazioni di zeri/poli differenti.
- È lecito quindi chiedersi: **"le formule FE, BE, TU trasformano regolatori  $R(s)$  stabili in regolatori  $R(z)$  anch'essi stabili?"**



# Corrispondenza tra piano "s" e piano "z"

- formula FE   $s = \frac{z - 1}{\Delta}$
- formula BE   $s = \frac{z - 1}{\Delta z}$
- formula TU   $s = \frac{2}{\Delta} \frac{z - 1}{z + 1}$
- In quale modo ciascuna delle tre formule mette in corrispondenza punti nel piano della variabile complessa "s" con punti del piano della variabile complessa "z"?

## Corrispondenza "s" $\longleftrightarrow$ "z": formula FE

- Consideriamo una FdT  $R(s)$  asintoticamente stabile. La sua trasformata  $R_{FE}(z)$  sarà anch'essa asintoticamente stabile? In quali condizioni?
- Per poter dare una risposta al quesito, consideriamo la regione del piano di "s" che contiene i "poli asintoticamente stabili" e cerchiamo la sua omologa dopo aver applicato la formula FE:

$$\{s : s \in \mathbb{C}, \Re(s) < 0\} \longleftrightarrow \{z : z \in \mathbb{C}, ?\}$$

$$s = \frac{z - 1}{\Delta}$$

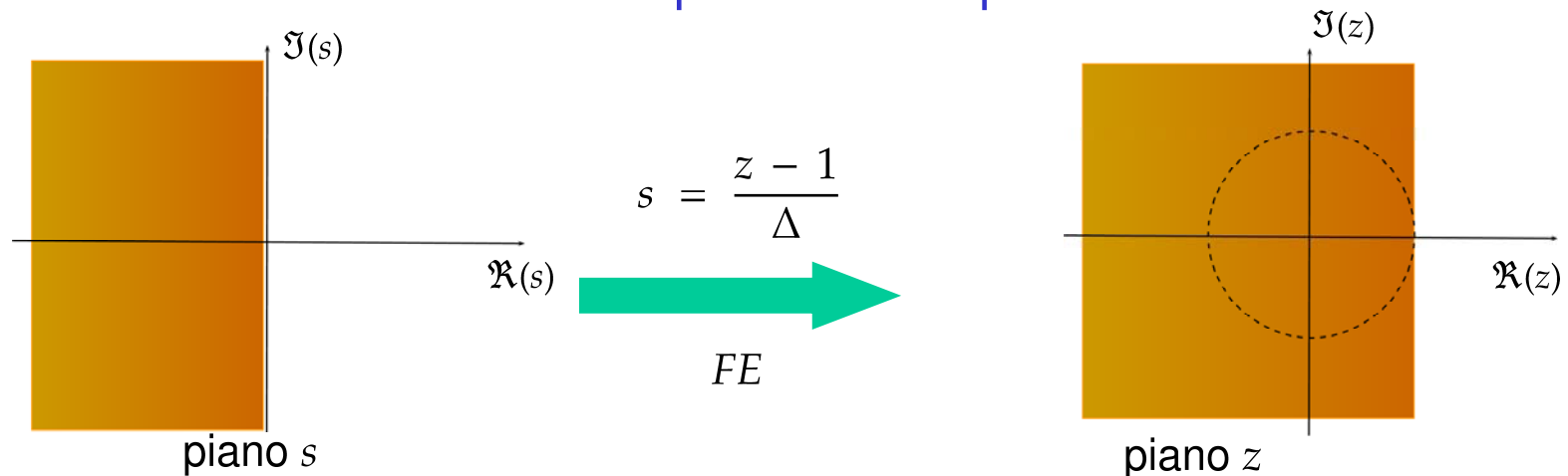
- Cerchiamo di determinare graficamente (oltre che analiticamente) la regione nel piano della Z-trasformata corrispondente alla regione di asintotica stabilità per una generica FdT  $R(s)$

$$\left\{ s : s \in \mathbb{C}, \Re(s) < 0 \right\} \xrightarrow{s = \frac{z-1}{\Delta}} \left\{ z : z \in \mathbb{C}, \Re\left(\frac{z-1}{\Delta}\right) < 0 \right\}$$

$$\downarrow$$

$$\{z : z \in \mathbb{C}, \Re(z) < 1\}$$

- Graficamente allora la corrispondenza è questa

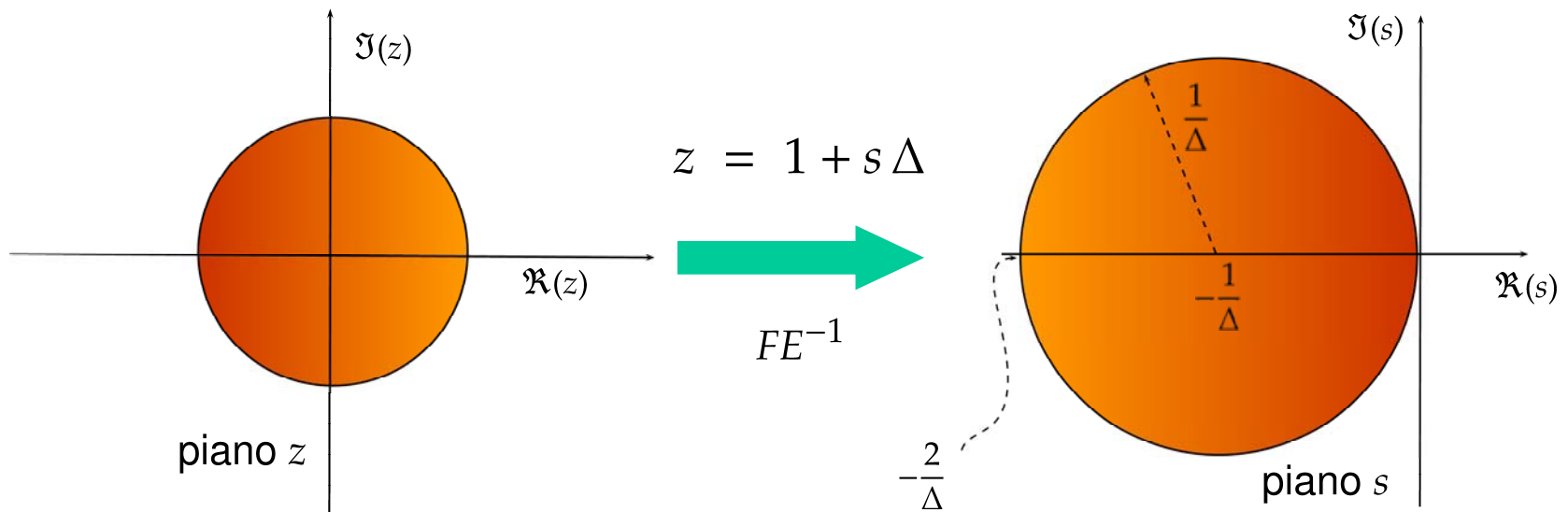


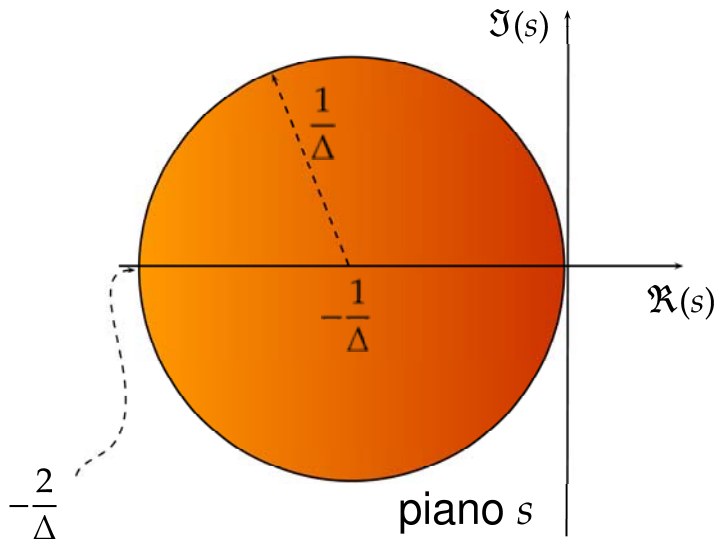
- Ma allora la “regione di asintotica stabilità” nel piano “ $s$ ” viene mappata dalla formula FE in una **regione più grande** della regione di asintotica stabilità nel piano “ $z$ ”!
- Questo è un **problema**: applicando la formula FE, **FdT asintoticamente stabili  $R(s)$**  possono essere **trasformate** in **FdT  $R(z)$  instabili**! Come si vedrà, questa “spiacevole” proprietà della tecnica FE dipende dal valore del periodo di campionamento  $\Delta$ .
- In generale **proprio per questo motivo la tecnica FE è poco usata!**
- Cerchiamo allora di **determinare** ora **analiticamente** la corrispondenza tra la regione di asintotica stabilità nel piano “ $z$ ” ed una regione omologa nel piano “ $s$ ”, ottenuta applicando la formula inversa  $FE^{-1}$

- Analizzando la formula si nota che:

$$s = \frac{z - 1}{\Delta}$$

- il vettore "z" viene dapprima sottoposto ad una **traslazione** (verso sinistra di 1) e poi ad una operazione di **cambio scala**, tramite il fattore di dilatazione/compressione  $1/\Delta$ .
- Allora applichiamo le operazioni appena descritte alla "regione di stabilità asintotica" nel piano "z" ed otteniamo





- **controimmagine** della “regione di asintotica stabilità” nel piano “z”:  
– si tratta di un **cerchio nel piano “s”**

- raggio  $\frac{1}{\Delta}$
- centro in  $\left(-\frac{1}{\Delta}; 0\right)$

- Punti in “s” al di fuori di questo cerchio corrispondono a punti esterni alla regione di “asintotica stabilità” nel piano “z” : ma allora se la FdT  $R(s)$  originaria possedesse poli stabili ma al di fuori di tale regione, la regola FE la trasformerà certamente in una FdT  $R_{FE}(z)$  con poli instabili!
- Si noti che se  $\Delta \rightarrow 0$  il **cerchio** in “s” diviene **sempre più grande** e tende a **coincidere** con la zona  $\Re(s) < 0$ , mentre per  $\Delta$  crescente accade l'opposto.

## Corrispondenza "s" $\longleftrightarrow$ "z": formula BE

- In maniera analoga a quanto fatto per la formula FE, si vuole risolvere il problema

$$\{s : s \in \mathbb{C}, \Re(s) < 0\} \longleftrightarrow \{z : z \in \mathbb{C}, ?\}$$

$$s = \frac{z - 1}{\Delta z}$$

- Si tratta allora di analizzare la regione

$$\left\{ \begin{array}{l} \{s : s \in \mathbb{C}, \Re(s) < 0\} \\ s = \frac{z - 1}{\Delta z} \end{array} \right\} \rightarrow \left\{ z : z \in \mathbb{C}, \Re\left(\frac{z - 1}{\Delta z}\right) < 0 \right\}$$

- Analizziamo allora l'espressione  $\Re \left( \frac{z-1}{\Delta z} \right) < 0$
- Per trovare la regione del piano "z" descritta dalla relazione appena trovata, conviene porre  $z = \sigma + j\omega$
- Si ottiene così

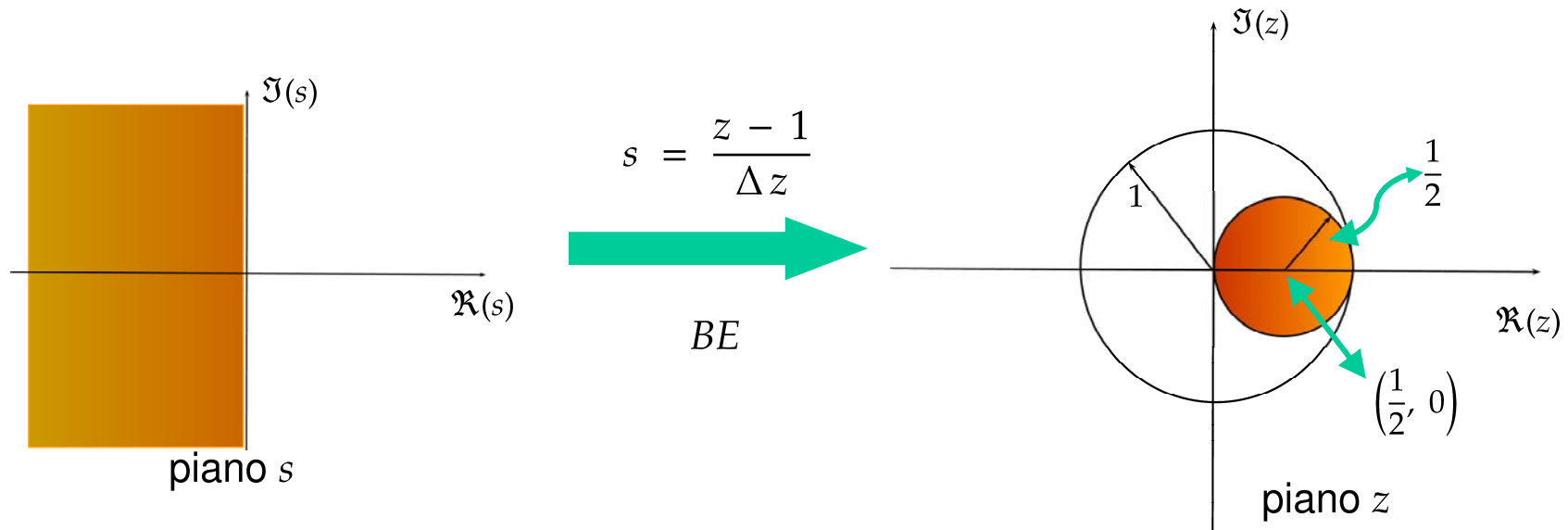
$$\Re \left( \frac{\sigma + j\omega - 1}{\Delta (\sigma + j\omega)} \right) < 0 \xrightarrow{\Delta > 0} \Re \left( \frac{\sigma + j\omega - 1}{\sigma + j\omega} \right) < 0$$

$$\frac{\sigma^2 - \sigma + \omega^2}{\sigma^2 + \omega^2} < 0 \xrightarrow{\quad} \left( \sigma - \frac{1}{2} \right) + \omega^2 < \left( \frac{1}{2} \right)^2$$



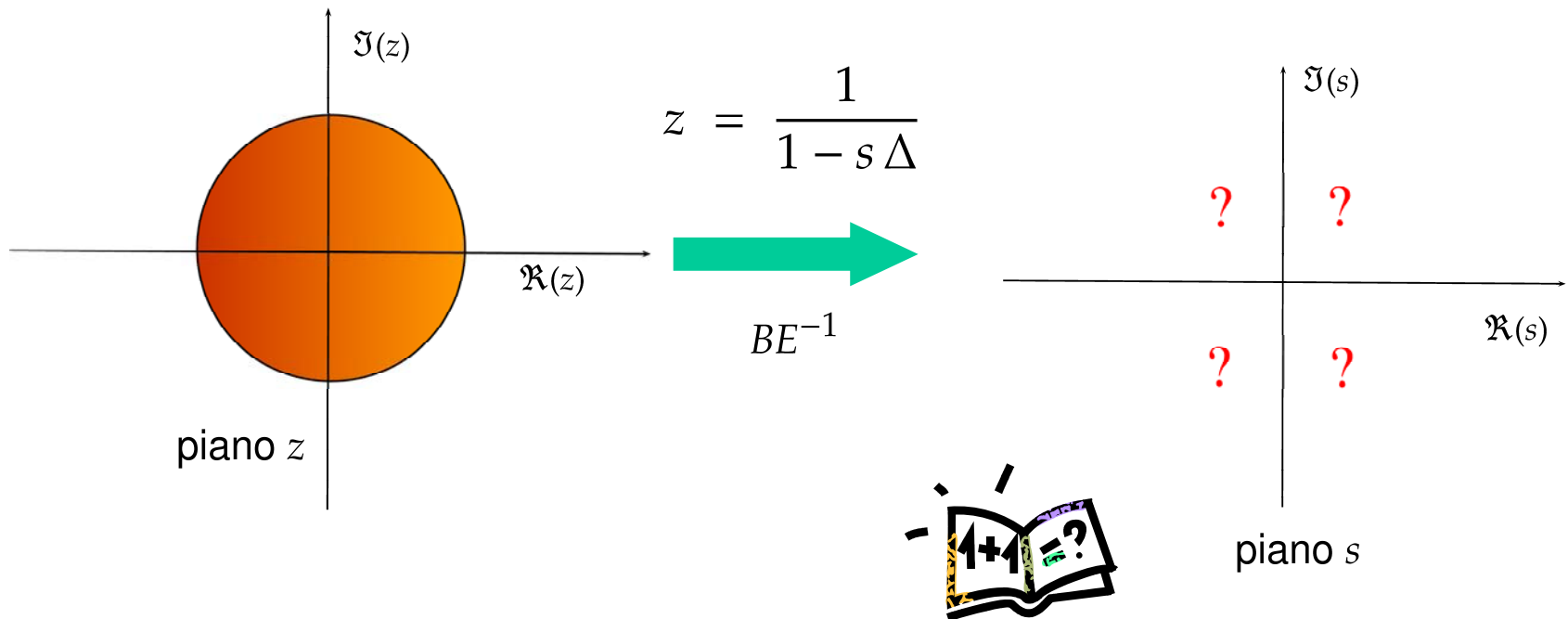
$$\left(\sigma - \frac{1}{2}\right) + \omega^2 < \left(\frac{1}{2}\right)^2$$

- La regione che abbiamo determinato è delimitata da una circonferenza di raggio  $\frac{1}{2}$  e centro in  $(+\frac{1}{2}, 0)$  nel piano "z".



- La **trasformazione BE** allora **garantisce la stabilità**: passando da "s" a "z" sicuramente si ottengono "poli stabili" se la FdT di partenza possiede "poli stabili".

- **ATTENZIONE:** poli instabili in "s" [cioè poli con  $\Re(s) > 0$ ] possono essere trasformati in poli stabili in "z"!
- Questo problema viene messo in evidenza se si analizza la "contro-immagine" della regione di stabilità asintotica nel piano "z" riportata al piano "s" dalla trasformazione inversa  $BE^{-1}$ :



## Corrispondenza "s" $\longleftrightarrow$ "z": formula TU

- In maniera analoga a quanto fatto finora, si vuole risolvere il problema

$$\{s : s \in \mathbb{C}, \Re(s) < 0\} \longleftrightarrow \{z : z \in \mathbb{C}, ?\}$$

$$s = \frac{2}{\Delta} \frac{z - 1}{z + 1}$$

- Si tratta allora di analizzare la regione

$$\left. \begin{array}{l} \{s : s \in \mathbb{C}, \Re(s) < 0\} \\ s = \frac{2}{\Delta} \frac{z - 1}{z + 1} \end{array} \right\} \rightarrow \left\{ z : z \in \mathbb{C}, \Re\left(\frac{2}{\Delta} \frac{z - 1}{z + 1}\right) < 0 \right\}$$

- Analizziamo allora l'espressione  $\Re \left( \frac{2}{\Delta} \frac{z-1}{z+1} \right) < 0$

- Per trovare la regione del piano "z" descritta dalla relazione appena trovata, conviene porre

$$z = \sigma + j\omega$$

- Si ottiene così

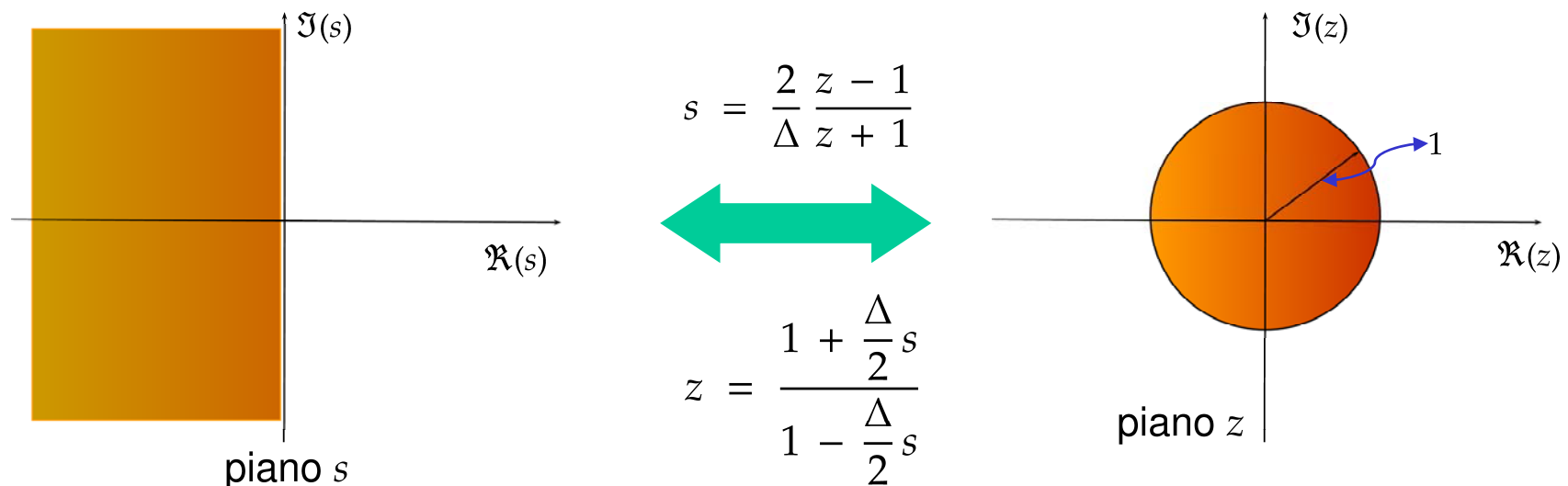
$$\Re \left( \frac{2}{\Delta} \frac{\sigma - 1 + j\omega}{\sigma + 1 + j\omega} \right) < 0 \xrightarrow{\Delta > 0} \Re \left( \frac{\sigma - 1 + j\omega}{\sigma + 1 + j\omega} \right) < 0$$

$$\Re \left( \frac{\sigma^2 - 1 + \omega^2 + 2j\omega}{(\sigma + 1)^2 + \omega^2} \right) < 0 \xrightarrow{\quad} \sigma^2 + \omega^2 < 1$$

$$\sigma^2 + \omega^2 < 1 \quad \longrightarrow$$

- Ma questa è la regione di “stabilità asintotica” per il piano “z”!

- Si vede facilmente che la corrispondenza è biunivoca: l'immagine della “regione di asintotica stabilità” nel piano “s” coincide con la “regione di asintotica stabilità” nel piano “z” e viceversa.
- In realtà la corrispondenza è biunivoca a meno di un numero finito di punti [ne parliamo poi].



- La **trasformata di Tustin conserva la stabilità.**

## Analisi della formula di Tustin

- Come anticipato, la corrispondenza tra piano "s" e piano "z" è garantita dalla formula "quasi dappertutto":
  - consideriamo le due formule diretta ed inversa ed analizziamo che cosa succede quando  $z \rightarrow \infty$  oppure quando  $s \rightarrow \infty$

$$s = \frac{2}{\Delta} \frac{z - 1}{z + 1} \qquad z = \frac{1 + \frac{\Delta}{2}s}{1 - \frac{\Delta}{2}s}$$

- Intanto notiamo che la formula diretta non è definita per  $z = -1$ , mentre quella inversa non è definita per  $s = 2/\Delta$ .

- Formula diretta e  $z \rightarrow \infty$

$$\lim_{z \rightarrow \infty} \frac{2}{\Delta} \frac{z - 1}{z + 1} = \frac{2}{\Delta}$$

- Formula inversa e  $s \rightarrow \infty$

$$\lim_{s \rightarrow \infty} \frac{1 + \frac{\Delta}{2}s}{1 - \frac{\Delta}{2}s} = -1$$

- Possiamo allora concludere che esiste corrispondenza biunivoca tra tutto il piano "s" e tutto il piano "z" pur di ammettere che

$$s = \frac{2}{\Delta} \quad \longleftrightarrow \quad z \rightarrow \infty$$

$$s \rightarrow \infty \quad \longleftrightarrow \quad z = -1$$

# Soluzione del quesito sulla trasformazione BE



- La “regione di stabilità asintotica” nel piano “z” è data da  $|z| < 1$
- La sua contro-immagine sulla base della trasformazione  $BE^{-1}$  è allora data da

$$\left. \begin{array}{l} |z| < 1 \\ z = \frac{1}{1 - s \Delta} \end{array} \right\} \xrightarrow{\text{green arrow}} \left| \frac{1}{1 - s \Delta} \right| < 1 \xrightarrow{\text{green arrow}} |1 - s \Delta| > 1$$



- Ponendo  $s = x + jy$  dopo alcuni semplici passaggi si arriva a trovare l'espressione che descrive la regione cercata

$$(1 - \Delta x)^2 + \Delta^2 y^2 > 1$$

$$\Delta^2 x^2 + \Delta^2 y^2 - 2\Delta x > 0$$

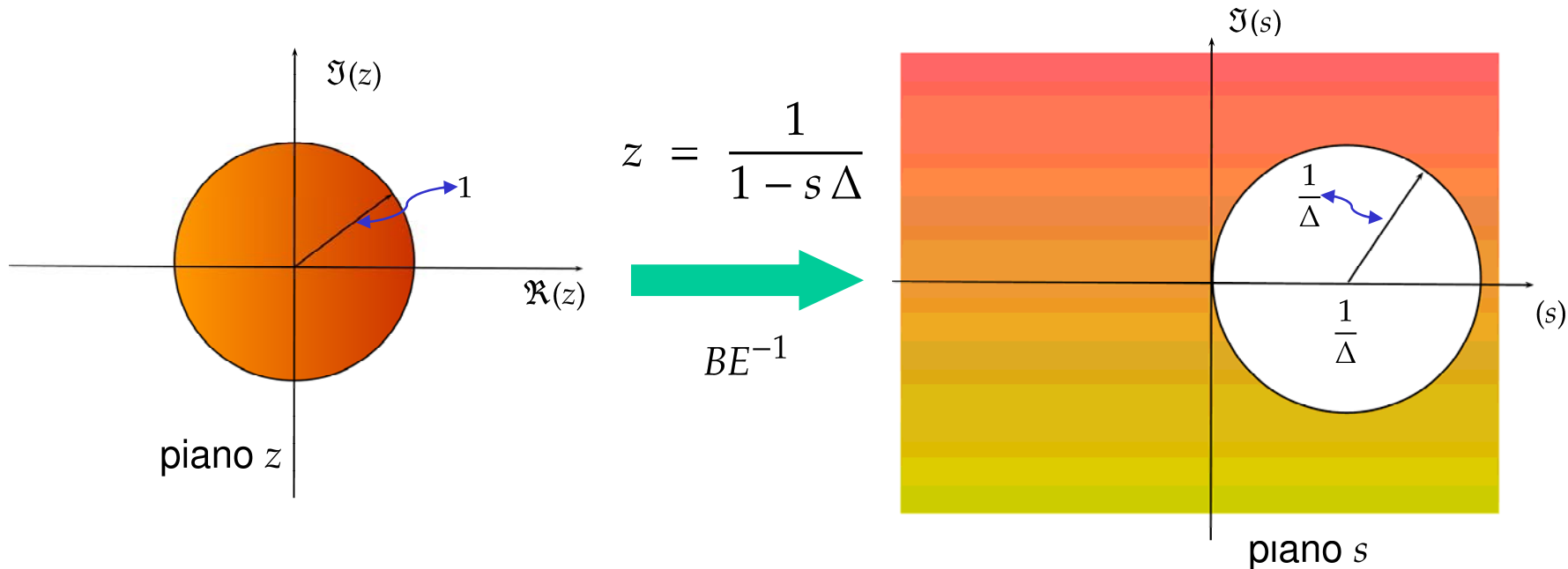
$$x^2 + y^2 - \frac{2}{\Delta}x > 0$$

- Analizziamo la curva che delimita la regione d'interesse:

$$x^2 + y^2 - \frac{2}{\Delta}x = 0$$

- Si tratta di una circonferenza, con centro in  $(1/\Delta, 0)$  e raggio  $1/\Delta$ . La regione d'interesse è quella esterna a tale circonferenza.

- Graficamente allora la situazione è la seguente:



- La **zona** contro-immagine nel piano "s" della regione di "stabilità asintotica" nel piano "z" è **eccessivamente grande**!
- A poli stabili nel piano "z" possono corrispondere poli instabili nel piano "s" [e viceversa]!

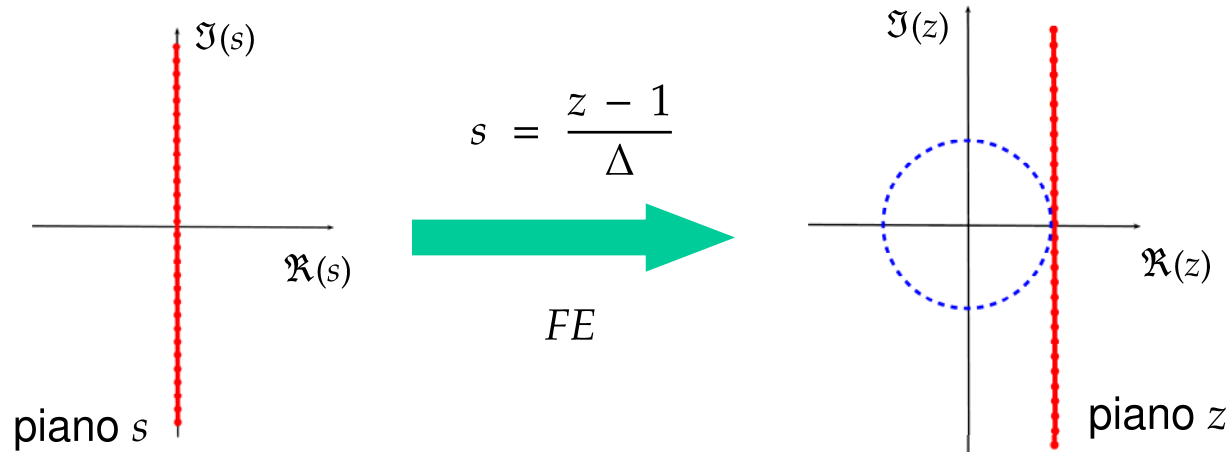
## Proprietà delle trasformazioni: risposta in frequenza

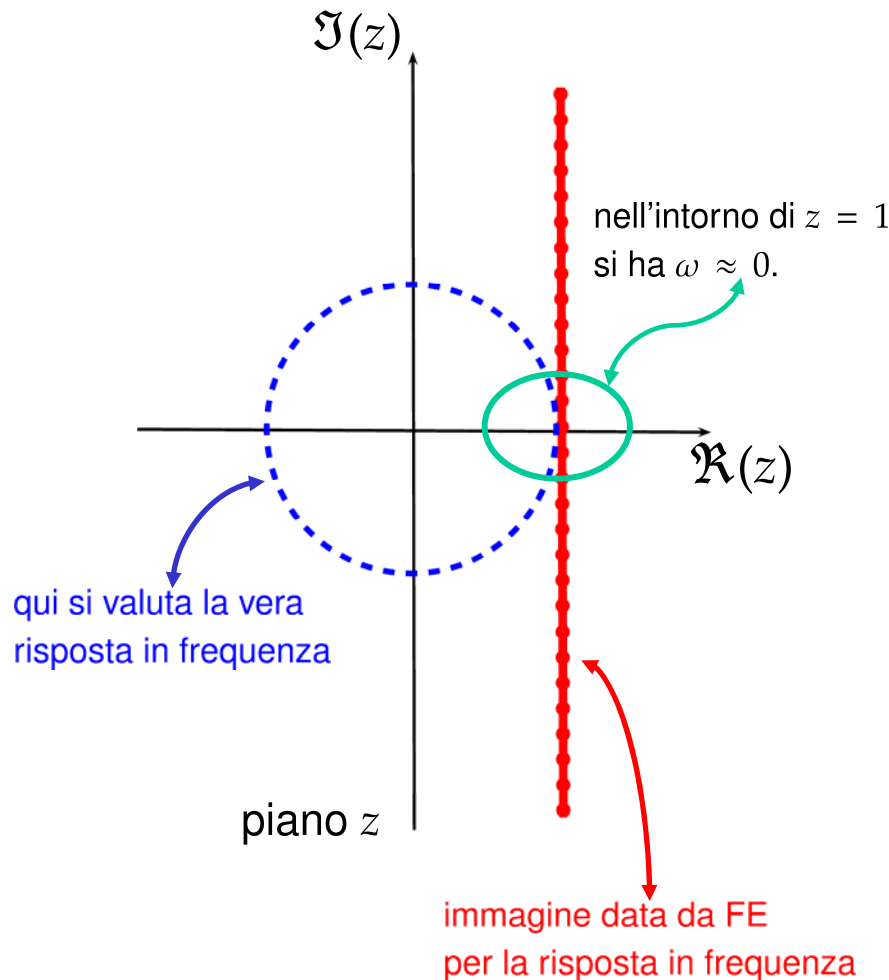
- Ora che abbiamo analizzato le proprietà di “conservazione della stabilità” delle trasformazioni FE, BE e TU, ci rimane da analizzare un altro aspetto:
  - che cosa si può dire della **risposta in frequenza** del sistema di controllo a segnali campionati ottenuto con le formule approssimate FE, BE oppure TU?
  - è possibile garantire in qualche modo prestazioni espresse tramite la risposta in frequenza (es. pulsazione a -3 dB, attenuazione in una banda assegnata, picchi di risonanza ecc.) utilizzando queste tecniche di progetto approssimate?

- Come vedremo in generale **NON si possono soddisfare specifiche sulla risposta in frequenza** utilizzando le tecniche di progetto approssimate che stiamo analizzando.
- Ciò significa che anche se è possibile imporre il rispetto di specifiche sulla risposta in frequenza del sistema di controllo a tempo continuo che costituisce il progetto preliminare, tali specifiche poi non verranno più garantite in generale dopo aver applicato una delle formule FE, BE oppure TU.
- In realtà per quanto riguarda la formula TU vedremo che in certe condizioni è possibile soddisfare parzialmente delle specifiche assegnate sulla risposta in frequenza. Inoltre esiste una tecnica che permette di soddisfare esattamente specifiche assegnate sulla risposta in frequenza (**formula TU con predistorsione**).

## Formula FE e risposta in frequenza

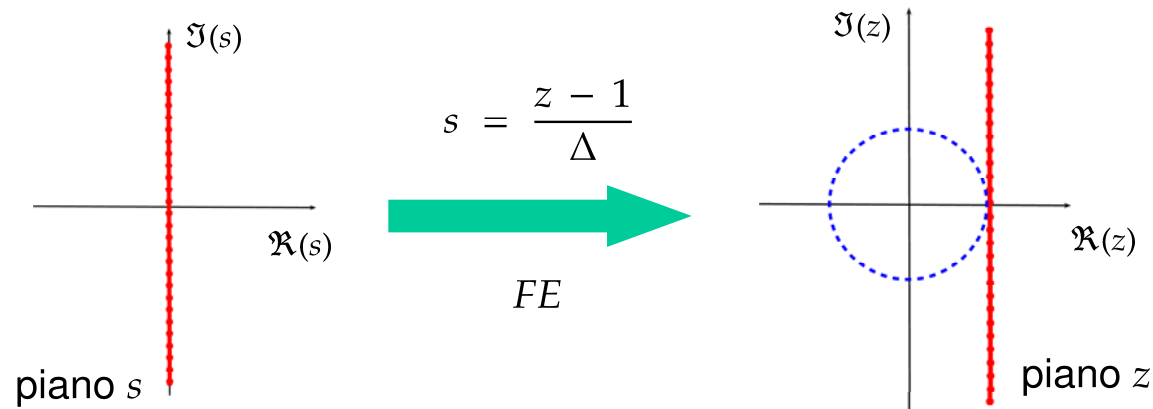
- Per capire che **non è possibile garantire** in alcun modo il soddisfacimento di **specifiche sulla risposta in frequenza** utilizzando la **tecnica FE** nel progetto è sufficiente cercare (sulla base dell'analisi svolta in precedenza) quale sia nel piano "z" la regione omologa a quella nel piano "s" nella quale si valuta la risposta in frequenza di un sistema LTI descritto da FdT [quindi l'asse immaginario del piano "s"]





- Il contatto avviene soltanto per  $z = 1$ . Si può ottenere una certa approssimazione delle prestazioni desiderate per la risposta in frequenza usando FE solamente per pulsazioni di valore molto basso ( $\omega \approx 0$  nel piano " $z$ ").
- Come ottenere la condizione appena scritta? La si ottiene se  $\Omega \approx 0$  nel piano " $s$ ", ma anche se il periodo di campionamento  $\Delta$  è abbastanza piccolo. Infatti vale la formula  $FE^{-1}$

$$z = 1 + s \Delta$$



- In conclusione ciò significa che
  - maggiore è la banda richiesta al controllo, minore sarà, a parità di campionamento  $\Delta$ , la rispondenza tra banda del controllo a tempo continuo e banda per il sistema a segnali campionati ottenuto con la tecnica FE;
  - a parità di banda richiesta, la rispondenza tra banda del controllo a tempo continuo e banda per il sistema a segnali campionati ottenuto con la tecnica FE sarà minore al crescere del periodo di campionamento  $\Delta$ .

## Alcuni esempi

- Consideriamo il sistema  $G(s)$  ed il regolatore  $R(s)$  seguenti

$$G(s) = \frac{0.1(1 - 2s)}{s(1 + 10s)(1 + 0.1s)} \quad R(s) = \frac{2(1 + 10s)}{(1 + 0.1s)}$$

- Il sistema di controllo a tempo continuo presenta una pulsazione di modulo unitario  $\Omega_c$  pari a (lo si verifichi facendo uso di Matlab!)  
 $\Omega_c \approx 0.218 \text{ rad/s}$

- Campionando con periodo  $\Delta$  pari ad  $1/6$  e convertendo il regolatore con FE si ottiene una nuova pulsazione  $\omega_c$  per il sistema a segnali campionati (lo si verificherà più avanti) pari a

$$\omega_c \approx 0.216 \text{ rad/s}$$



- Con periodo di campionamento pari ad  $1/600$  si sarebbe ottenuta invece

$$\omega_c \approx 0.218 \text{ rad/s}$$

- Un altro esempio:

$$G(s) = \frac{8100}{s^2 + 50s + 8100}$$

$$R(s) = \frac{50}{3} \frac{s + 6}{(1 + 2s)s}$$

- Il sistema di controllo a tempo continuo presenta una pulsazione di modulo unitario  $\Omega_c$  pari a (lo si verifichi facendo uso di Matlab!)

$$\Omega_c \approx 9.85 \text{ rad/s}$$

- Campionando con periodo  $\Delta$  pari ad  $1/100$  e convertendo il regolatore con FE si ottiene una nuova pulsazione  $\omega_c$  per il sistema a segnali campionati pari a

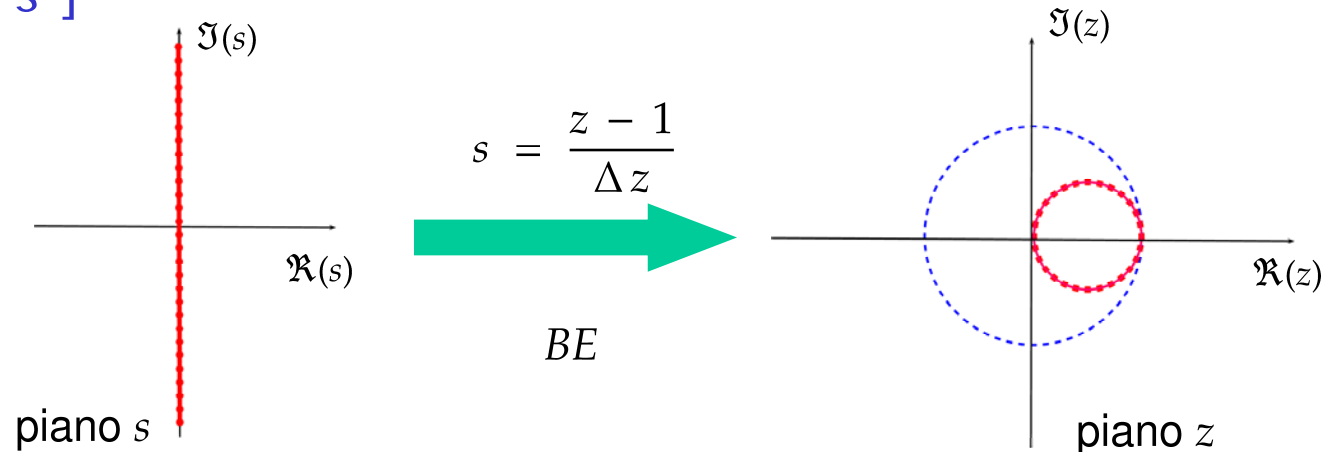
$$\omega_c \approx 9.69 \text{ rad/s}$$

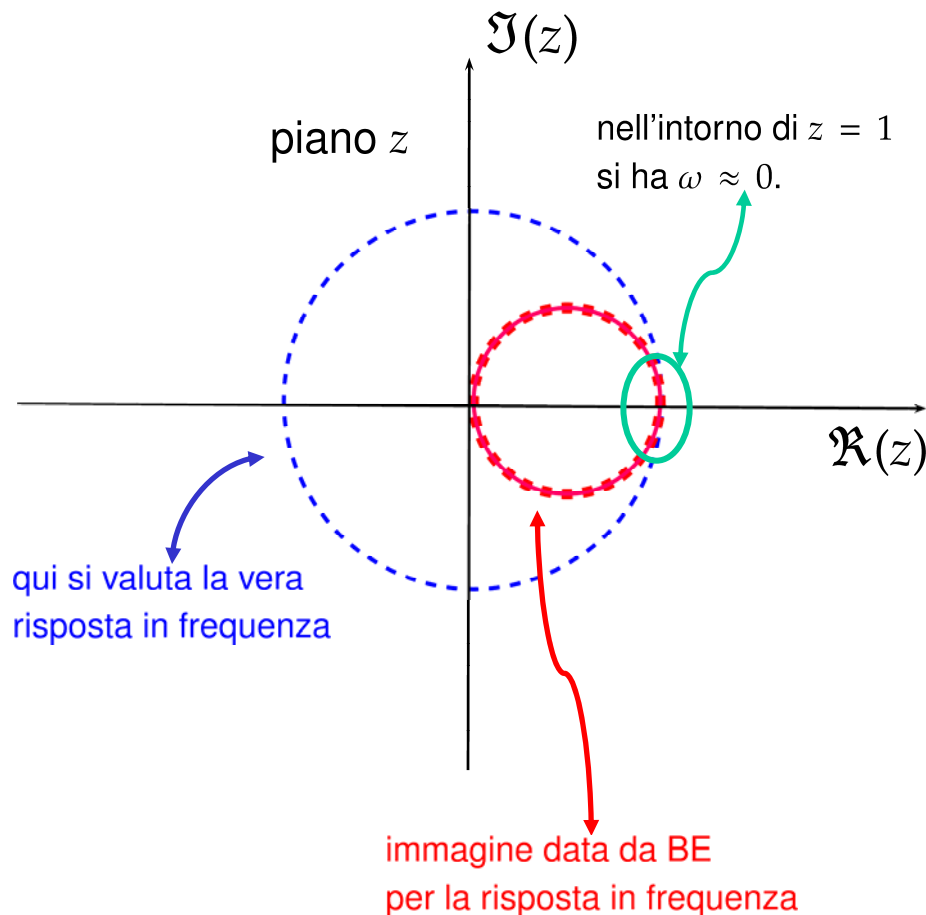
- Campionando invece con periodo  $\Delta$  pari a  $1/20$  e convertendo il regolatore con FE si ottiene

$$\omega_c \approx 9.27 \text{ rad/s}$$

## Formula BE e risposta in frequenza

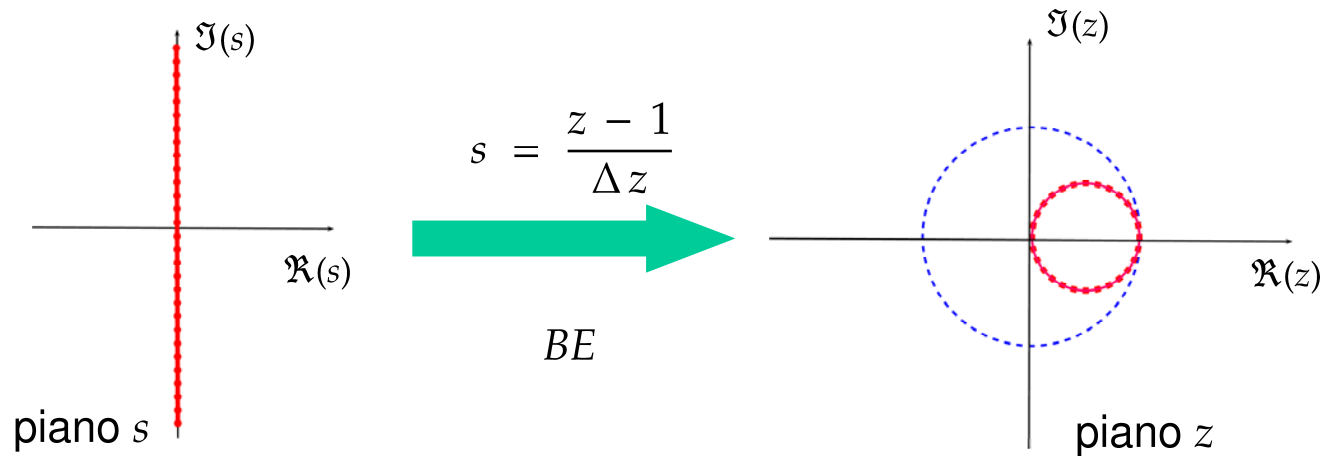
- Anche in questo caso **non è possibile garantire** in alcun modo il soddisfacimento di **specifiche sulla risposta in frequenza**.
- Per verificarlo è sufficiente cercare (sulla base dell'analisi svolta in precedenza) quale sia nel piano "z" la regione omologa a quella nel piano "s" nella quale si valuta la risposta in frequenza di un sistema LTI descritto da FdT [quindi l'asse immaginario del piano "s"]





- Il contatto avviene soltanto per  $z = 1$ . Si può ottenere una certa approssimazione delle prestazioni desiderate per la risposta in frequenza usando BE solamente per pulsazioni di valore molto basso ( $\omega \approx 0$  nel piano " $z$ ").
- Come ottenere la condizione appena scritta? La si ottiene se  $\Omega \approx 0$  nel piano " $s$ ", ma anche se il periodo di campionamento  $\Delta$  è abbastanza piccolo. Infatti vale la formula BE<sup>-1</sup>

$$z = \frac{1}{1 - s \Delta}$$



- Valgono le stesse considerazioni fatte per la tecnica FE:
  - maggiore è la banda richiesta al controllo, minore sarà, a parità di campionamento  $\Delta$ , la rispondenza tra banda del controllo a tempo continuo e banda per il sistema a segnali campionati ottenuto con la tecnica BE;
  - a parità di banda richiesta, la rispondenza tra banda del controllo a tempo continuo e banda per il sistema a segnali campionati ottenuto con la tecnica BE sarà minore al crescere del periodo di campionamento  $\Delta$ .

## Alcuni esempi

- Consideriamo ancora il sistema  $G(s)$  ed il regolatore  $R(s)$  seguenti

$$G(s) = \frac{0.1 (1 - 2s)}{s (1 + 10s) (1 + 0.1s)} \quad R(s) = \frac{2 (1 + 10s)}{(1 + 0.1s)}$$

- Il sistema di controllo a tempo continuo presenta una pulsazione di modulo unitario  $\Omega_c$  pari a

$$\Omega_c \approx 0.218 \text{ rad/s}$$

- Campionando con periodo  $\Delta$  pari ad  $1/6$  e convertendo il regolatore con BE si ottiene una nuova pulsazione  $\omega_c$  per il sistema a segnali campionati (lo si verificherà più avanti) pari a

$$\omega_c \approx 0.220 \text{ rad/s}$$

- Campionando con periodo  $\Delta$  pari ad 1 e convertendo il regolatore con BE si ottiene una nuova pulsazione  $\omega_c$  per il sistema a segnali campionati pari a

$$\omega_c \approx 0.227 \text{ rad/s}$$

- Un altro esempio:

$$G(s) = \frac{8100}{s^2 + 50s + 8100} \qquad R(s) = \frac{50}{3} \frac{s + 6}{(1 + 2s)s}$$

- Il sistema di controllo a tempo continuo presenta una pulsazione di modulo unitario  $\Omega_c$  pari a

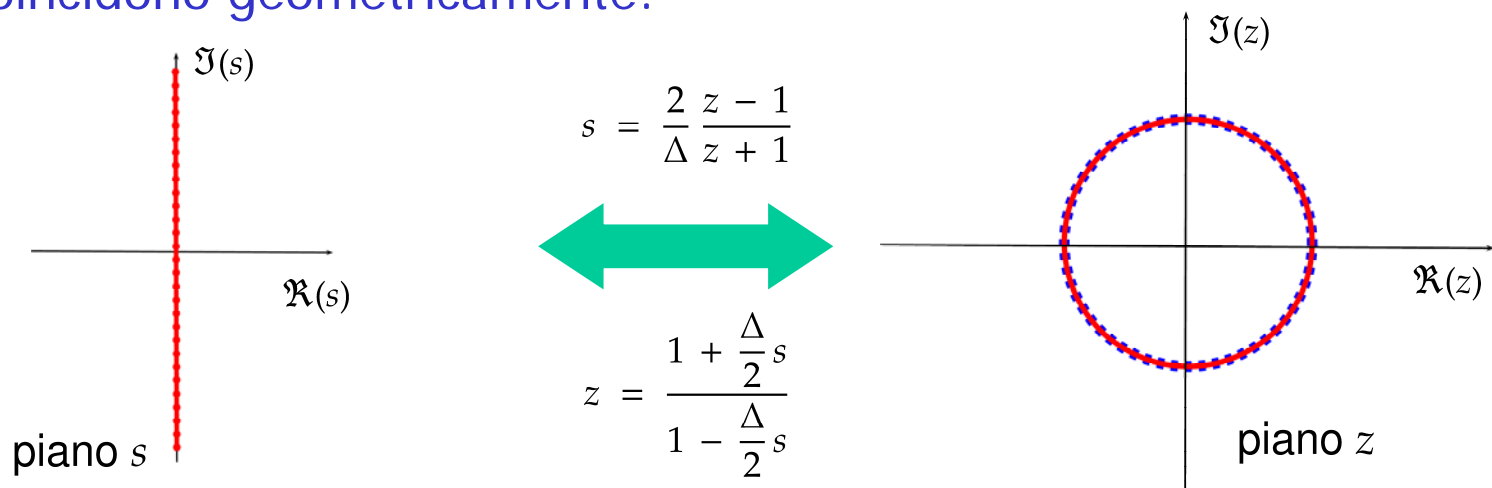
$$\Omega_c \approx 9.85 \text{ rad/s}$$

- Campionando con periodo  $\Delta$  pari ad 1/100 oppure pari a 1/20 e convertendo il regolatore con BE si ottiene una nuova pulsazione  $\omega_c$  per il sistema a segnali campionati rispettivamente pari a

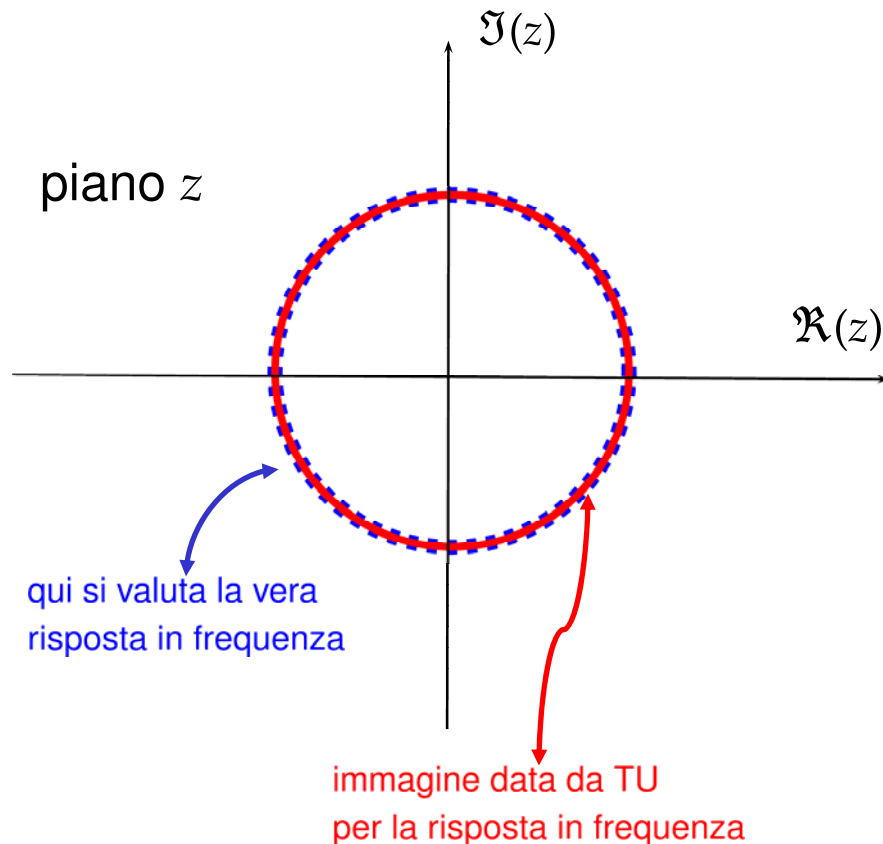
$$\omega_{c1} \approx 10.0 \text{ rad/s} \qquad \omega_{c2} \approx 11.0 \text{ rad/s}$$

## Formula TU e risposta in frequenza

- Anche per questa formula è opportuno cercare (sulla base dell'analisi svolta in precedenza) quale sia nel piano "z" la regione omologa a quella nel piano "s" nella quale si valuta la risposta in frequenza di un sistema LTI descritto da FdT [quindi l'asse immaginario del piano "s"].
- Stavolta il luogo mappato dalla formula TU e quello effettivo coincidono geometricamente:







- Apparentemente pare che stavolta sia possibile tramite la formula TU soddisfare perfettamente specifiche in frequenza, ma **NON È COSÌ**.
- La formula TU in realtà introduce una **DISTORSIONE** nella mappa  $s \rightarrow z$ , in particolare una **DISTORSIONE IN FREQUENZA**.

- In effetti la **trasformazione teorica del campionamento** introduce una **corrispondenza periodica tra piano "s" e piano "z"** (si veda slide CD Parte7-71) mentre la formula di Tustin non lo fa, anzi mette in corrispondenza biunivoca piano "s" e piano "z".

# Trasformata di Tustin con predistorsione

La distorsione frequenziale  
nel metodo di Tustin

- Per comprendere come la trasformata di Tustin distorca, confrontiamo la risposta in frequenza del filtro analogico

$$G_{an}(s) = \frac{a}{s + a}$$

con la risposta in frequenza del filtro ottenuto per trasformazione con la formula di Tustin:

$$G_{TU}(z) = \frac{a}{\frac{2}{\Delta} \frac{z - 1}{z + 1} + a}$$

- Valutiamo la risposta in frequenza di entrambi i filtri e cerchiamo di imporre l'uguaglianza tra le due risposte in frequenza (almeno per qualche valore di pulsazione):

$$\exists \quad \Omega_a, \omega_d \in \mathbb{R} : G_a(j\Omega_a) = G_{TU}(e^{j\omega_d\Delta}) \quad ?$$

- Fissata una pulsazione  $\Omega_a$ , la risposta in frequenza  $G_a(j \Omega_a)$  è identica alla risposta armonica discreta  $G_{TU}(e^{j \omega_d \Delta})$  valutata in corrispondenza della pulsazione  $\omega_d$  tale che

$$j \Omega_a = \frac{2}{\Delta} \left[ \frac{e^{j \Delta \omega_d} - 1}{e^{j \Delta \omega_d} + 1} \right]$$

- Rielaborando la relazione si arriva all'espressione

$$\Omega_a = \frac{2}{\Delta} \tan\left(\frac{\omega_d \Delta}{2}\right)$$

- Per piccoli valori di  $\Delta \omega_d$  l'espressione si può approssimare sfruttando la relazione

$$\omega_d \Delta \ll 1 \quad \Rightarrow \quad \tan\left(\frac{\omega_d \Delta}{2}\right) \approx \frac{\omega_d \Delta}{2}$$

- Di conseguenza

$$\omega_d \Delta \ll 1 \quad \Rightarrow \quad \Omega_a \approx \frac{2}{\Delta} \frac{\omega_d \Delta}{2} = \omega_d$$

- In definitiva allora la distorsione si riduce se  $\Delta \omega_d \ll 1$ .

- Come fare allora a garantire che sia  $\Delta \omega_d \ll 1$ ?
  - praticamente si tratta di **scegliere** una **pulsazione di campionamento**  $\Omega_s$  molto maggiore della banda del sistema analogico  $\Omega_c$  [in realtà al solito si usa la pulsazione critica di modulo unitario come approssimazione della banda passante]

$$\Omega_s \gg \Omega_c \implies \omega_d \Delta \ll 1$$

- **compensare la distorsione** per una pulsazione  $\overline{\Omega}$  e far sì che ci sia poca distorsione nell'intorno di tale valore

# Trasformata di Tustin con predistorsione

- Torniamo al filtro analogico  $G_{an}(s) = \frac{a}{s + a}$
- Se si modifica l'espressione della trasformata di Tustin come segue

$$s = \frac{a}{\tan\left(\frac{a\Delta}{2}\right)} \frac{z - 1}{z + 1}$$

si può facilmente verificare che

$$G_{an}(ja) = \frac{1}{1 + j}$$

$$G_{TU}(e^{ja\Delta}) = \frac{1}{1 + j}$$

quindi **NON c'e' distorsione** per la pulsazione  $\Omega=a=\omega$ .

- Generalizzando:
  - se si vuole compensare la distorsione introdotta dalla trasformata di Tustin per la pulsazione  $\bar{\Omega}$  e minimizzarla in un intorno di  $\bar{\Omega}$ , si deve utilizzare la **trasformata di Tustin predistorta**

$$(TU_{warp}) \quad s = \frac{\bar{\Omega}}{\tan\left(\frac{\bar{\Omega}\Delta}{2}\right)} \frac{z-1}{z+1}$$



## Un esempio

- Consideriamo il sistema a tempo continuo caratterizzato dalla FdT

$$R(s) = \frac{10}{s + 10}$$

- È un filtro passa-basso, con pulsazione di taglio (a -3dB) pari a 10 rad/s.
- Nel rispetto del teorema del campionamento, il periodo di campionamento sia

$$\Delta = \frac{1}{5} \text{ s}$$

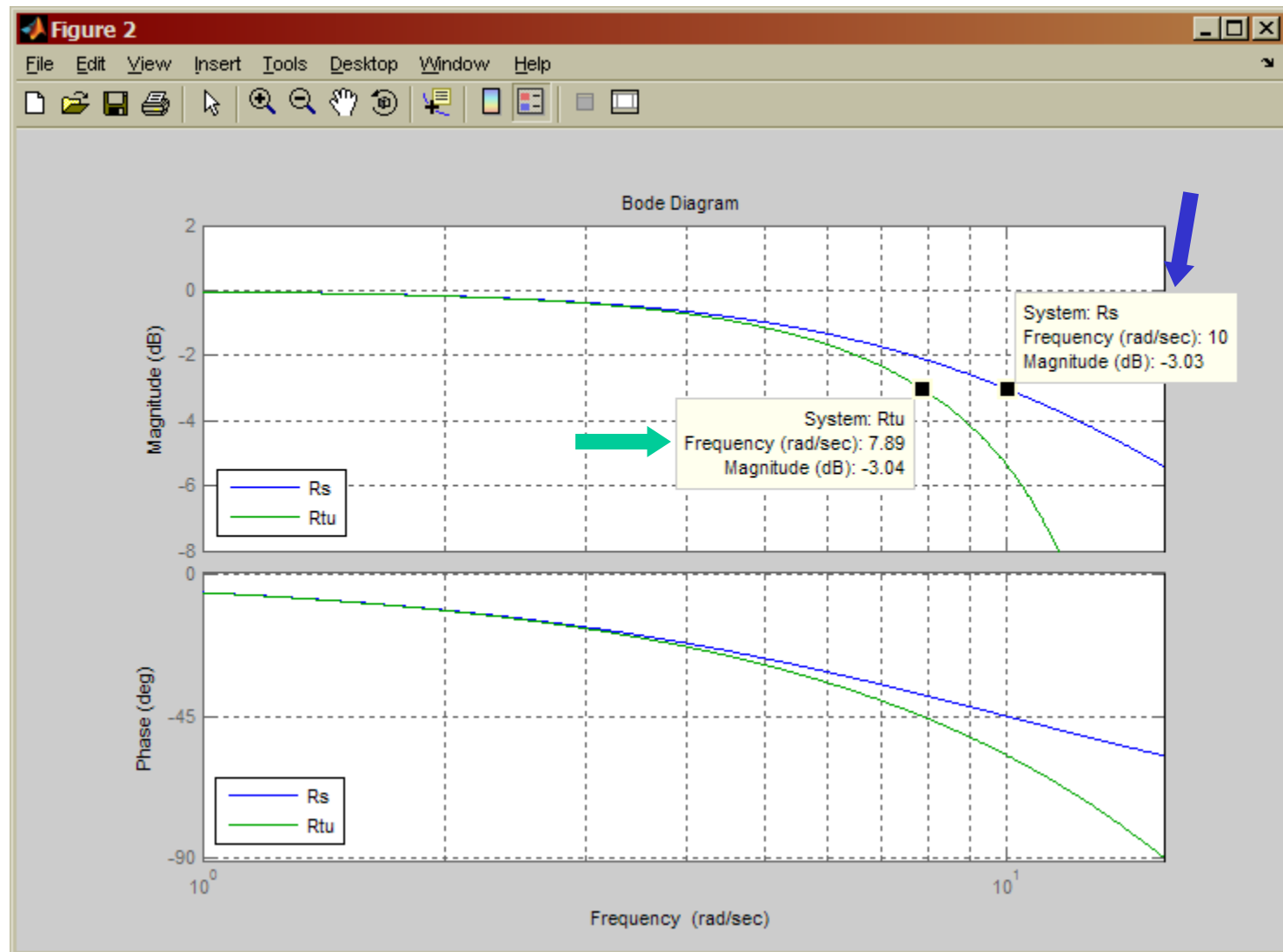
- Utilizzando la trasformazione di Tustin si ottiene il filtro trasformato:

$$R_{TU}(z) = \frac{z+1}{2z}$$

- La sua risposta in frequenza è data da

$$R_{TU}(e^{j\omega\Delta}) = \frac{1}{j \tan\left(\frac{\omega}{10}\right) + 1}$$

- Il sistema così ottenuto avrà la medesima pulsazione di taglio del sistema analogico? Per quanto detto in precedenza certamente no!
- Quanto vale la pulsazione  $\omega_{-3dB}$  di questo sistema a tempo discreto?



- La pulsazione  $\omega_{-3dB}$  di  $R_{TU}(z)$  è approssimativamente pari a 7.89 rad/s e non 10 rad/s! Dovevamo aspettarcelo!

- Se avessimo utilizzato un periodo di campionamento inferiore, ad esempio

$$\Delta = \frac{1}{100} \text{ s}$$

avremmo ottenuto un filtro trasformato pari a

$$R_{TU}(z) = 4.762 \cdot 10^{-2} \cdot \frac{z + 1}{z - 0.905}$$

che ha pulsazione "a -3 dB" pari a

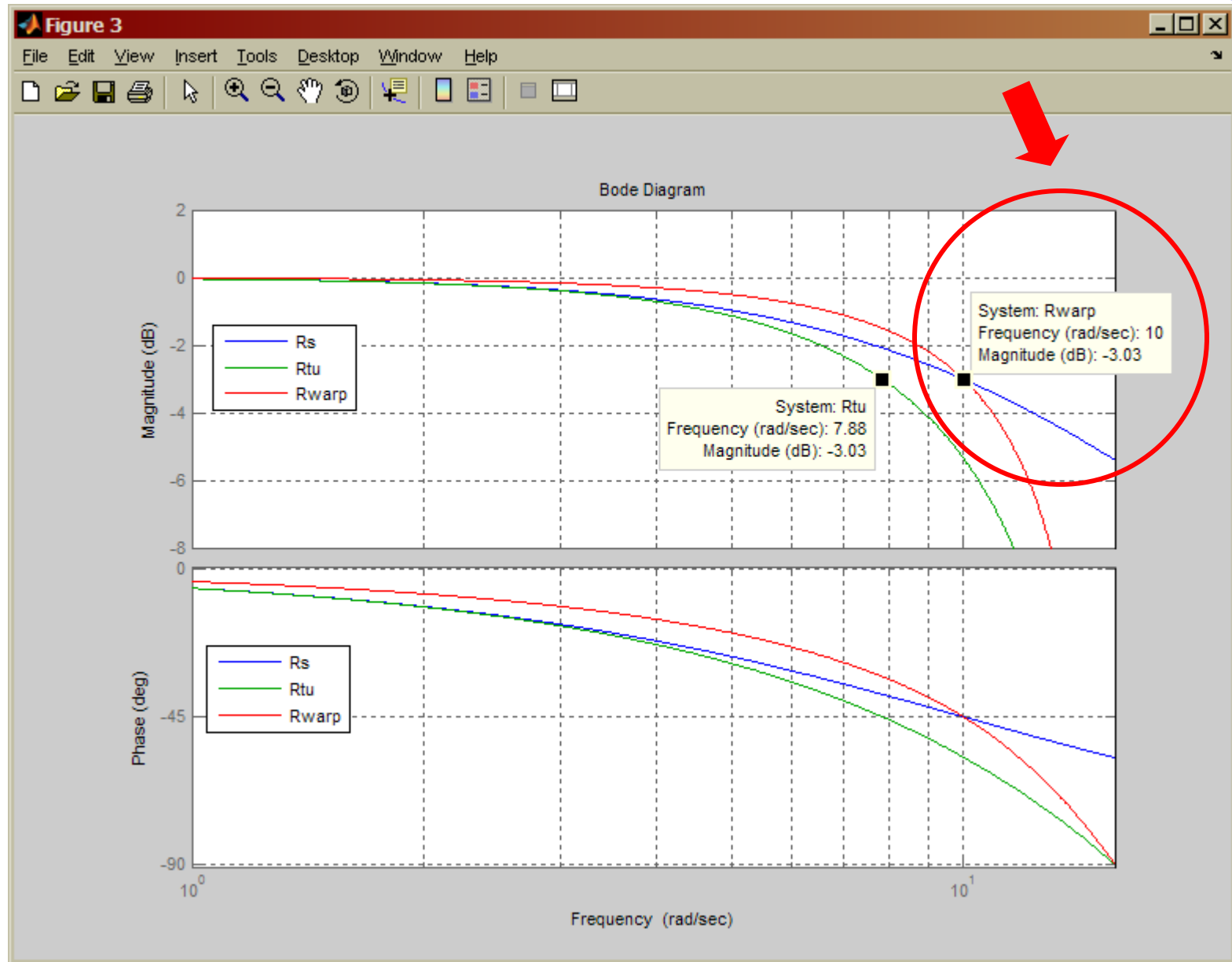
$$\omega_{-3dB} \approx 9.93 \text{ rad/s}$$

- Per riuscire ad imporre che anche il sistema a tempo discreto abbia pulsazione di taglio  $\Omega_{-3\text{dB}}$  pari a 10 rad/s, è necessario ricorrere alla trasformata di Tustin con predistorsione.
- In particolare, la trasformazione di Tustin da applicare sarà la seguente

$$s = \frac{10}{\tan\left(\frac{10\Delta}{2}\right)} \frac{z-1}{z+1}$$

- In tal modo a partire da  $R(s)$  si ottiene il sistema a tempo discreto con FdT

$$R_{\text{warp}}(z) = \frac{0.609 (z+1)}{z+0.218} \qquad \Delta = \frac{1}{5} \text{ s}$$



- Stavolta la pulsazione di taglio è rimasta immutata.

- Altro esempio:

$$G(s) = \frac{8100}{s^2 + 50s + 8100} \quad R(s) = \frac{50}{3} \frac{s + 6}{(1 + 2s)s}$$

- Il sistema di controllo a tempo continuo presenta una pulsazione di modulo unitario  $\Omega_c$  pari a

$$\Omega_c \approx 9.85 \text{ rad/s}$$

- Campionando con periodo  $\Delta$  pari ad  $1/100$  oppure pari a  $1/10$  e convertendo il regolatore con TU si ottiene una nuova pulsazione  $\omega_c$  per il sistema a segnali campionati rispettivamente pari a

$$\omega_{c1} \approx 9.83 \text{ rad/s} \quad \omega_{c2} \approx 9.2 \text{ rad/s}$$

# Progetto di regolatori per discretizzazione

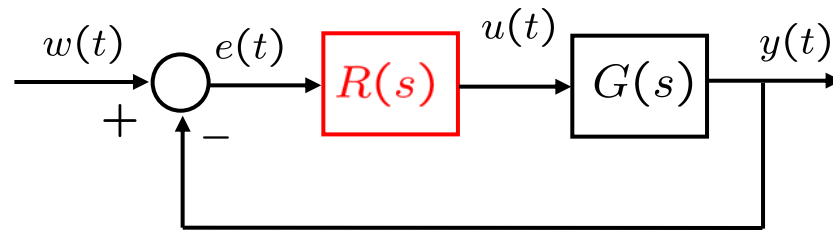
## Progetto preliminare a tempo continuo

Come tenere conto della successiva discretizzazione per campionamento ed "irrobustire" le specifiche di progetto

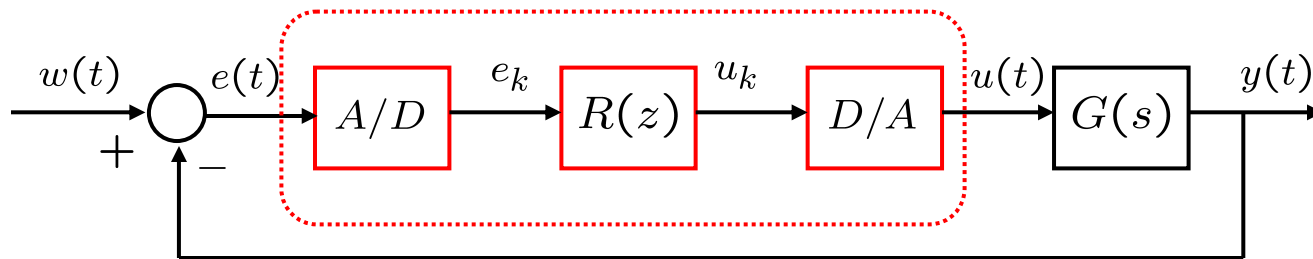


# Progetto preliminare a tempo continuo

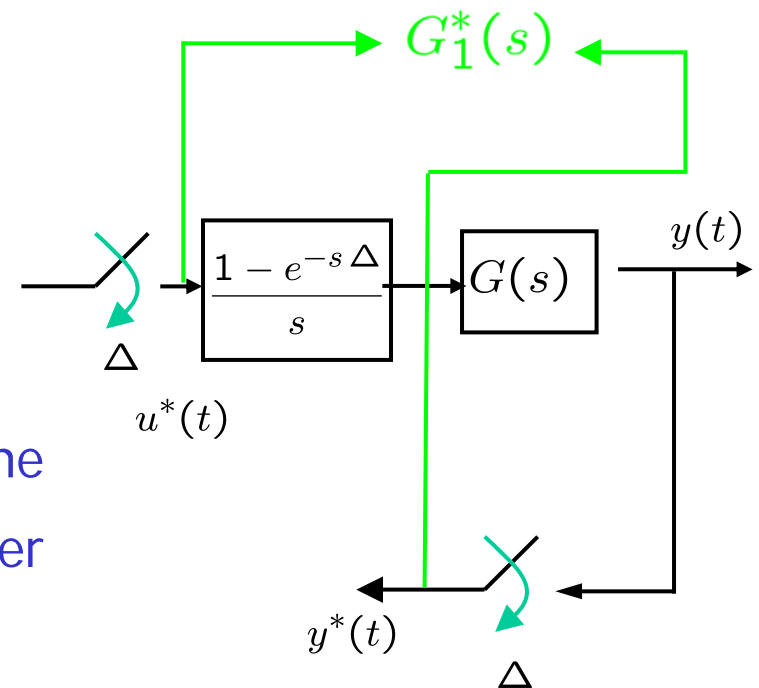
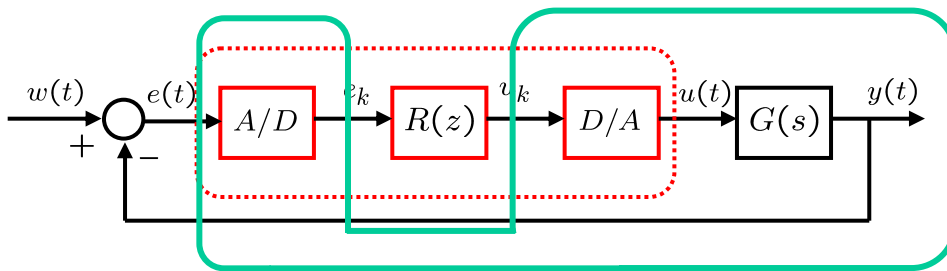
- Partiamo da un regolatore a tempo continuo  $R(s)$



- e vogliamo ottenere un regolatore a tempo discreto  $R(z)$  "approssimativamente" equivalente



- Per ottenere  $R(z)$ , iniziamo con determinare un regolatore a tempo continuo  $\hat{R}(s)$  che risolva un opportuno problema di regolazione a tempo continuo “equivalente” a quello a tempo discreto che in realtà vogliamo risolvere



- Vogliamo trovare una descrizione “approssimata” a tempo continuo per l'impianto.
- La si utilizzerà per il progetto iniziale.

- Siano

$$U^*(s) = \mathcal{L}\{u^*(t)\} \quad Y^*(s) = \mathcal{L}\{y^*(t)\}$$

- Sappiamo che

$$U^*(s) = \frac{1}{\Delta} \sum_{k=-\infty}^{+\infty} U(s + j\Omega_s k) \quad k \in \mathbb{Z}$$

$$\Omega_s = \frac{2\pi}{\Delta}$$

$$Y^*(s) = \frac{1}{\Delta} \sum_{k=-\infty}^{+\infty} Y(s + j\Omega_s k)$$

- Analizzando lo schema posso scrivere

Prima del campionatore

$$Y(s) = \frac{1 - e^{-\Delta s}}{s} G(s) U^*(s) = G_1(s) U^*(s)$$

$$G_1(s) \triangleq \frac{1 - e^{-\Delta s}}{s} G(s)$$

- Dopo il campionatore

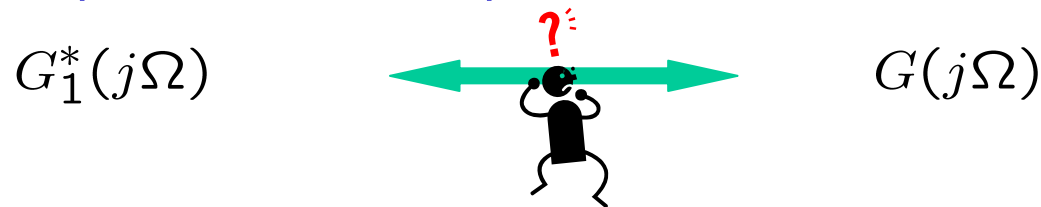
$$G_1^*(s) = \frac{1}{\Delta} \sum_{k=-\infty}^{+\infty} G_1(s + j\Omega_s k) \quad Y^*(s) = G_1^*(s) U^*(s)$$

- Abbiamo caratterizzato il sistema (a segnali campionati) con una descrizione a tempo continuo, che ora analizziamo.

- Affinché il modello “approssimato” dell’impianto a tempo continuo  $G_1^*(s)$  tenga conto del campionamento, dobbiamo analizzare la sua risposta in frequenza

$$G_1^*(j\Omega)$$

o meglio, la corrispondenza o meno della risposta in frequenza ad anello aperto appena determinata con quella del sistema originario puramente a tempo continuo



- Per analizzare la risposta in frequenza ad anello aperto di questa descrizione “a tempo continuo – equivalente” del sistema, abbiamo bisogno di descrivere la risposta in frequenza dell’organo di tenuta:


$$G_{H0}(s) = \frac{1 - e^{-\Delta s}}{s}$$

## Condizioni di “approssimazione”

- Sostituendo le espressioni determinate in precedenza per lo ZOH

$$G_{H0}(j\Omega) = \Delta G_H(j\Omega)$$

$$G_H(j\Omega) = \frac{\sin\left(\frac{\Omega\Delta}{2}\right)}{\frac{\Omega\Delta}{2}} e^{-\frac{\Delta}{2}j\Omega}$$



$$G_1^*(j\Omega) = \frac{1}{\Delta} \sum_{k=-\infty}^{+\infty} G_1[j(\Omega + k\Omega_s)]$$

## Condizioni di "approssimazione"

- In base a quanto appena determinato possiamo scrivere:

$$G_1^*(j\Omega) = \left\{ \sum_{-\infty}^{+\infty} G_H[j(\Omega + n\Omega_s)] G[j(\Omega + n\Omega_s)] \right\}$$

- In definitiva il confronto deve avvenire tra

$$G(j\Omega) \quad \longleftrightarrow \quad G_1^*(j\Omega)$$

- Innanzitutto  $G_1^*(s)$  è funzione periodica in  $\Omega$ , di periodo  $\Omega_s$ .
- Più in generale  $G_1^*(s)$  replica il suo andamento in strisce del piano complesso di ampiezza  $\Omega_s$ .
- Vediamo allora di fornire delle condizioni che ci permettano di arrivare all' "equivalenza" cercata.



## Condizione 1

- $G_H(s)G(s)$  ha valori piccoli nelle strisce complementari, cioè  $G_H(j\Omega)G(j\Omega)$  è **sufficientemente passabasso** così che si possa affermare che

$$|G_H(j\Omega) G(j\Omega)| \approx 0 \quad \text{fuori da } \left[-\frac{\Omega_s}{2}, \frac{\Omega_s}{2}\right]$$

$$G_1^*(j\Omega) \approx G_H(j\Omega) G(j\Omega), \quad -\frac{\Omega_s}{2} \leq \Omega \leq \frac{\Omega_s}{2}$$

Trascuriamo le code

## Condizione 2

- Se  $G(j\Omega)$  è tali da avere modulo pressoché nullo in un intervallo di pulsazioni

$$\left(-\frac{\Omega_s}{2}, -\bar{\Omega}\right] , \left[\bar{\Omega}, \frac{\Omega_s}{2}\right)$$

in tal caso si ha che  $G_H(j\Omega)$  ha modulo pressoché pari ad 1 nell'intervallo di pulsazioni in cui  $G(j\Omega)$  ha modulo non nullo.

$$G_H(j\Omega) \approx e^{-\frac{\Delta}{2}j\Omega}$$

- Se valgono la CONDIZIONE 1 e 2 allora abbiamo ottenuto la “equivalenza”

$$G_1^*(j\Omega) \approx e^{-j\frac{\Delta}{2}\Omega} G(j\Omega), \quad -\frac{\Omega_s}{2} \leq \Omega \leq \frac{\Omega_s}{2}$$

- La relazione trovata ci dice che si riesce ad ottenere una forma di “**equivalenza**” tra le due risposte in frequenza, a patto di inserire nel problema a tempo continuo un termine di **ritardo finito**, pari a metà del periodo di campionamento  $\Delta$ .

# Esempi di progetto di regolatori per discretizzazione

Alcuni esempi di progetto  
con le formule FE, BE, TU

## Un esempio

- Riconsideriamo il processo descritto dalla FdT

$$G(s) = \frac{0.1 (1 - 2s)}{s (1 + 10s) (1 + 0.1s)}$$

- Il regolatore a tempo continuo

$$R(s) = \frac{2 (1 + 10s)}{(1 + 0.1s)}$$

già sappiamo che consente di ottenere un margine di fase  $\varphi_m \approx 64^\circ$  alla pulsazione  $\Omega_c \approx 0.218$  rad/s.

- Scelta del periodo di campionamento
  - in base alla pulsazione critica d'anello aperto per il sistema a tempo continuo

$$\Omega_c \approx 0.218 \text{ rad/s}$$

ed utilizzando la regola empirica (già vista)

$$\alpha \Omega_c \leq \Omega_s \leq 10 \alpha \Omega_c \qquad 5 \leq \alpha \leq 10$$

il periodo di campionamento potrebbe essere scelto nell'intervallo

$$\text{cioè} \qquad \frac{\pi}{5 \alpha \Omega_c} \leq \Delta \leq \frac{2 \pi}{\alpha \Omega_c} \qquad 5 \leq \alpha \leq 10$$

$$\frac{2.88}{\alpha} \leq \Delta \leq \frac{28.82}{\alpha} \qquad 5 \leq \alpha \leq 10$$

- Una scelta plausibile sembra  $\Delta = 1 \text{ s}$
- Si ricordi che con tale periodo di campionamento il progetto HE non andava a buon fine (avevamo ottenuto un regolatore instabile).
- Ora invece proviamo a discretizzare il regolatore originario a tempo continuo  $R(s)$  con le tecniche FE, BE e TU.
- Come già sappiamo, otterremo 3 regolatori differenti, dei quali andremo a confrontare le prestazioni.
- Esempio in Matlab: **progettoFE\_BE\_TU.m**

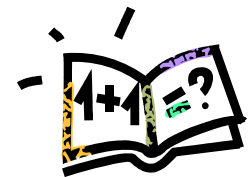
## Sintesi con la tecnica FE

- Dato il periodo di campionamento prescelto  $\Delta = 1 \text{ s}$ , si può verificare che il metodo FE produce un regolatore instabile, ma che ciò non accade con periodo di campionamento pari a

$$\Delta = \frac{1}{6}$$

- Esercizio per casa:** verificare che la tecnica FE porta a regolatore stabile nell'esempio se vale la relazione

$$\Delta < \frac{1}{5}$$





- Con il periodo di campionamento scelto  $\Delta = \frac{1}{6}$  la tecnica FE porta al regolatore

$$R_{FE}(z) = 200 \frac{\left(z - \frac{59}{60}\right)}{z + \frac{2}{3}}$$

- Con questo regolatore si ottengono prestazioni pressoché simili a quelle ottenute col regolatore a tempo continuo, così come si ottengono prestazioni simili anche discretizzando il regolatore con le tecniche BE e TU. Il periodo di campionamento è abbastanza piccolo, quindi la distorsione prodotta dal campionamento in generale è di entità trascurabile, come trascurabile è la distorsione in frequenza introdotta da ciascuna delle 3 tecniche analizzate.

## Progetto con le tecniche BE, TU

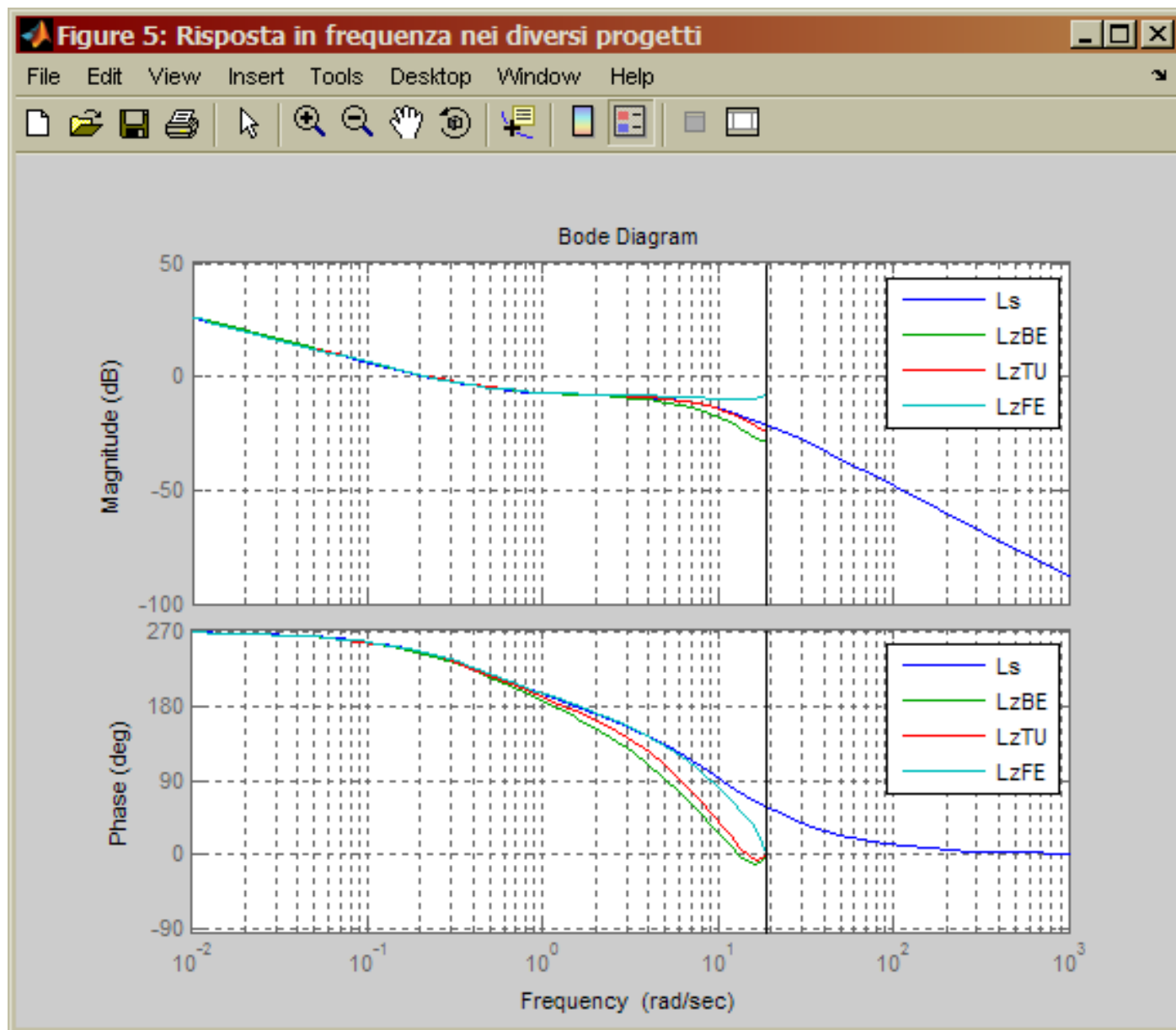
- Con le altre 2 tecniche si ottengono i regolatori

$$R_{BE}(z) = 76.250 \frac{z - 0.984}{z - 0.375}$$

- ed infine

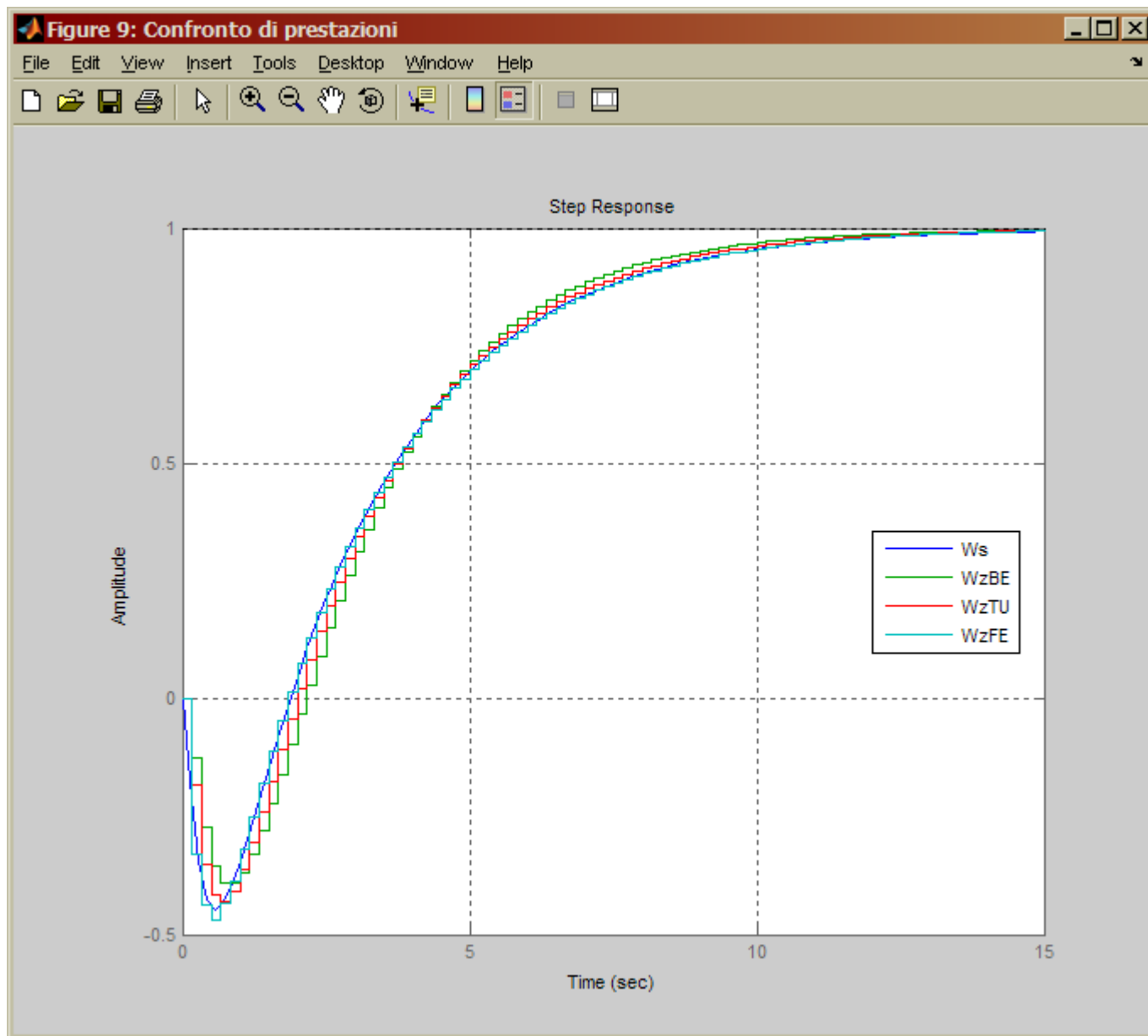
$$R_{TU}(z) = 110 \frac{z - 0.9835}{z - 0.09091}$$

- Le prestazioni dei 3 regolatori ottenuti sono descritte nelle figure delle slide successive



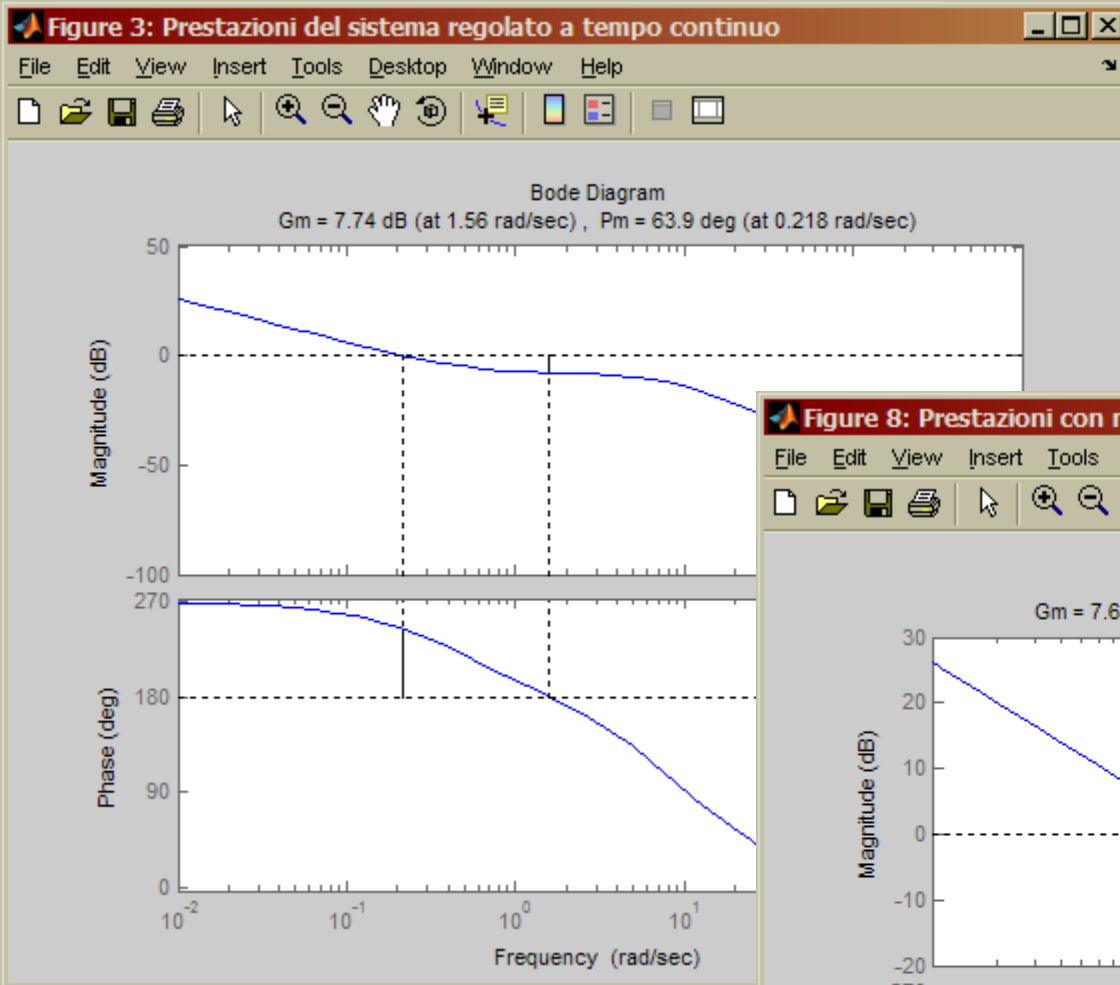
$$\Delta = \frac{1}{6}$$

progettoFE\_BE\_TU.m

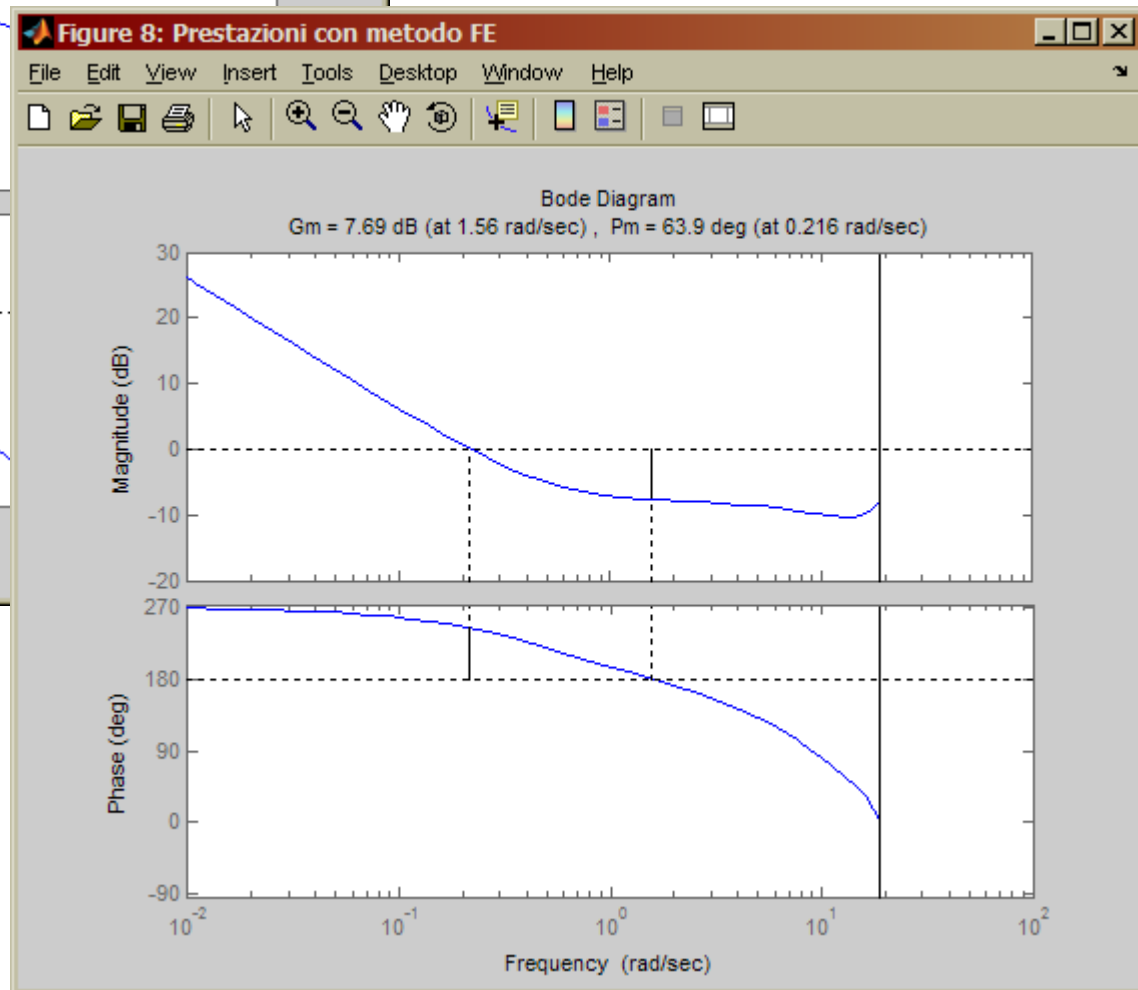


$$\Delta = \frac{1}{6}$$

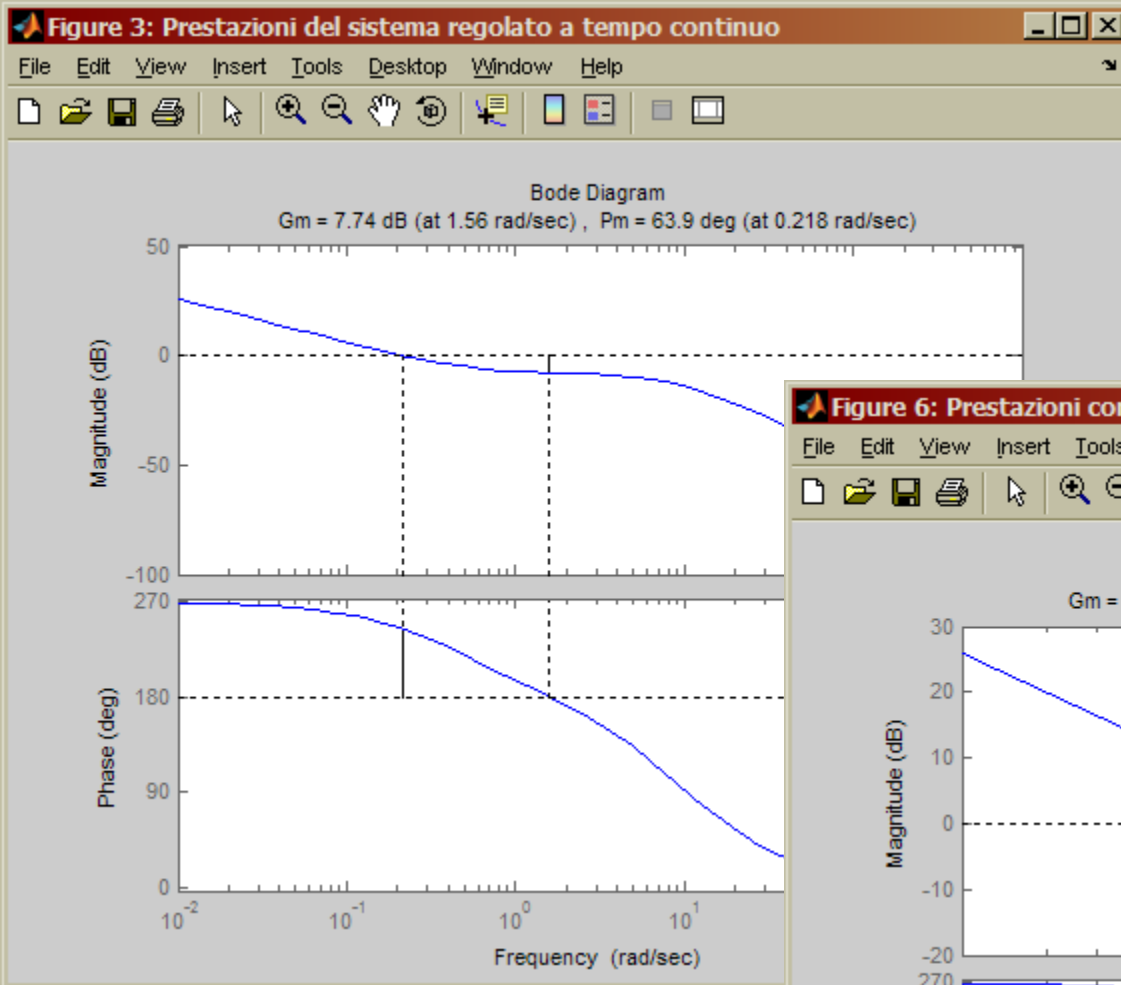
progettoFE\_BE\_TU.m



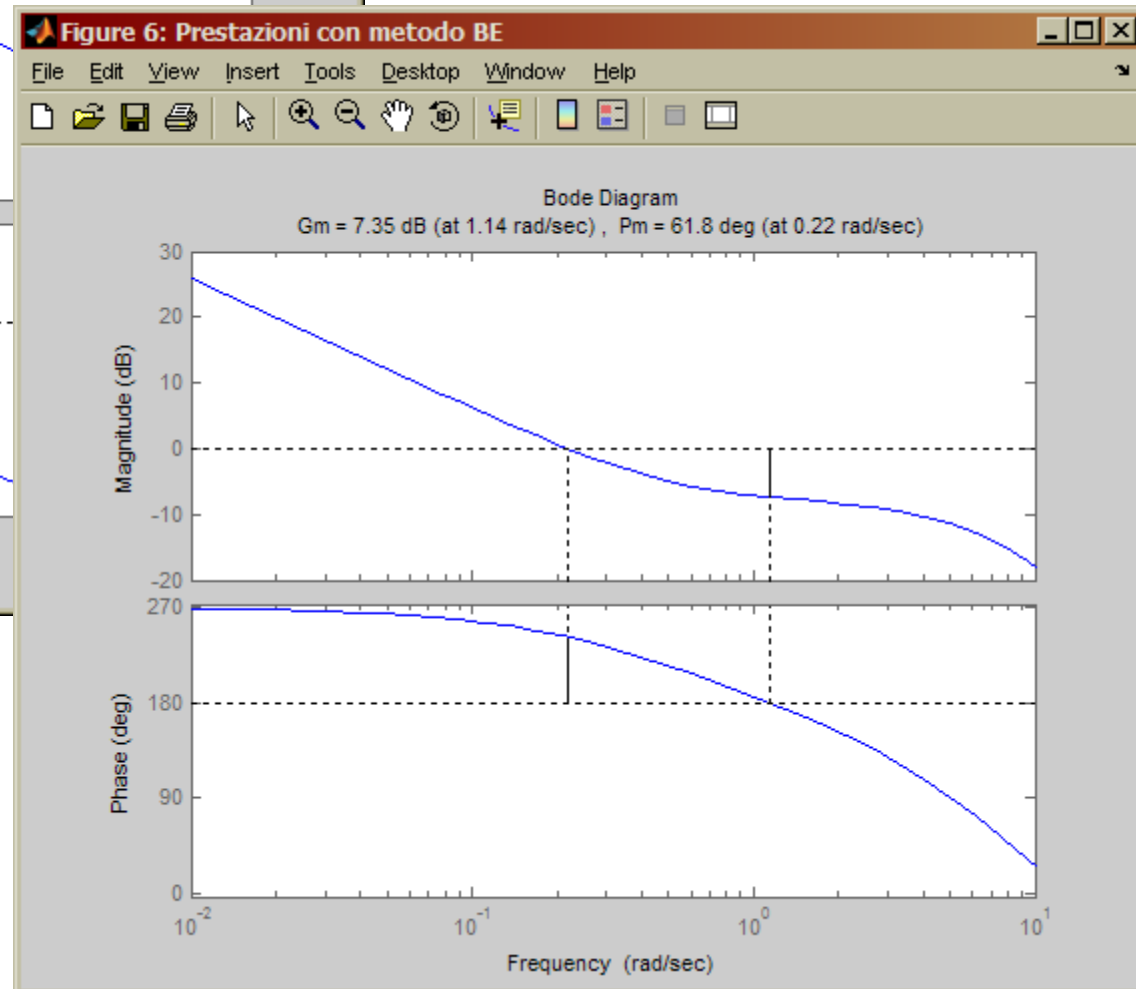
$$\Delta = \frac{1}{6}$$



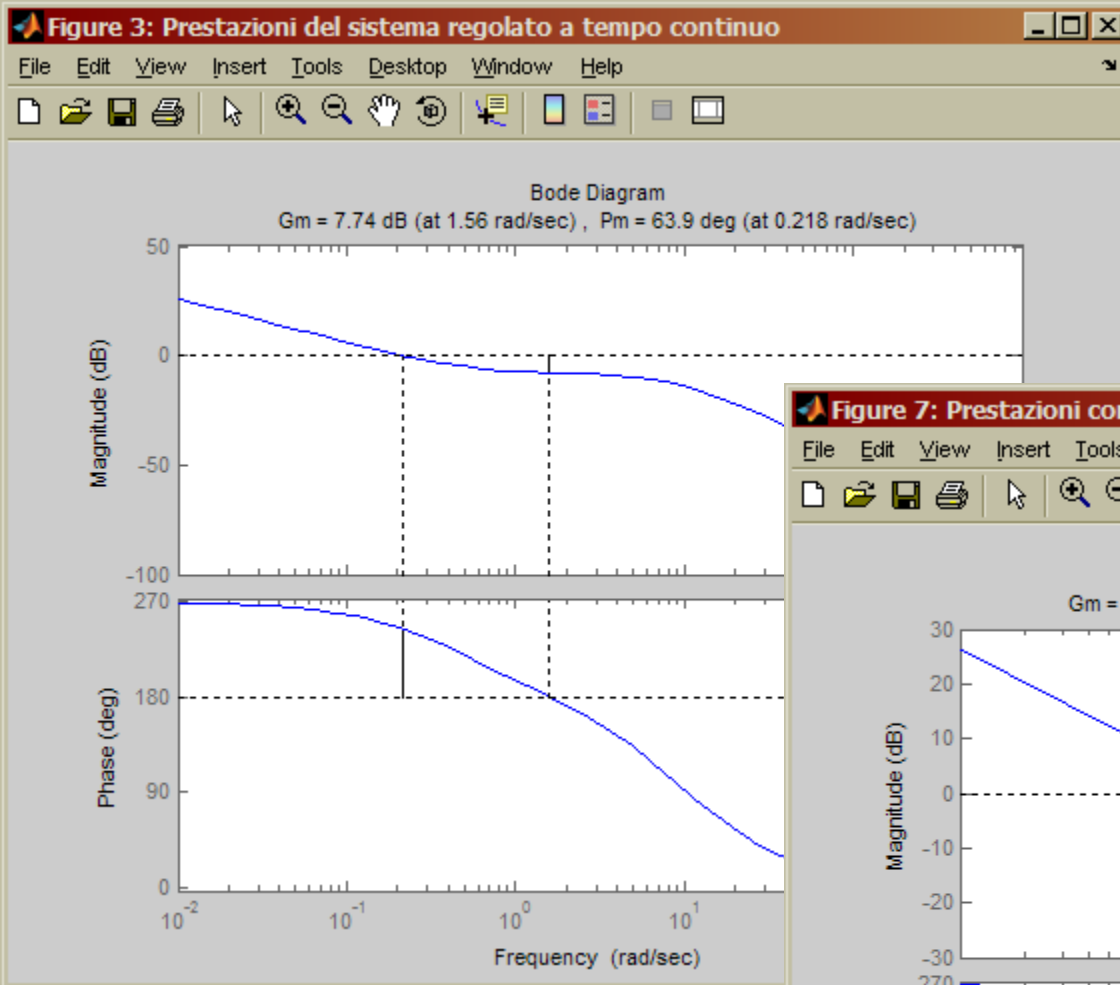
progettoFE\_BE\_TU.m



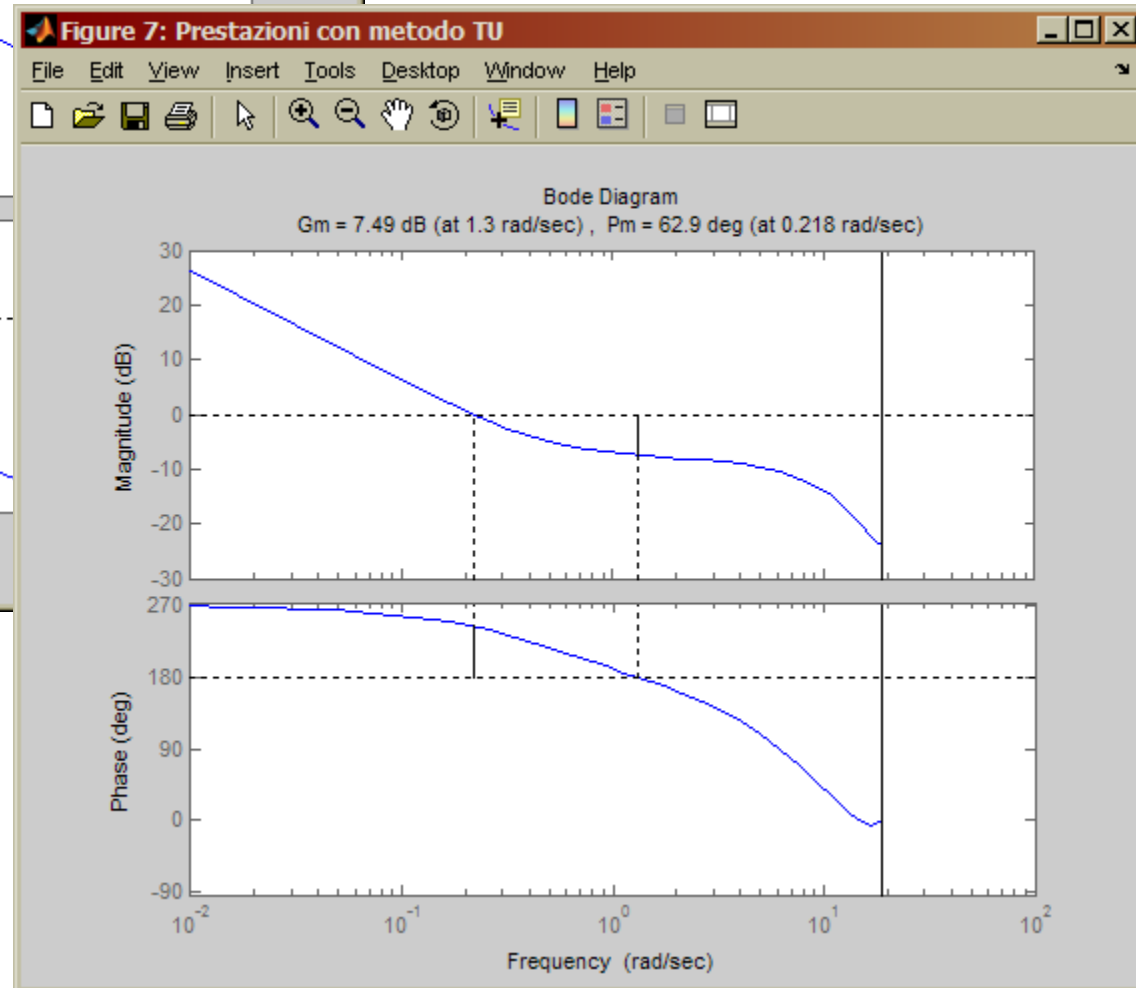
$$\Delta = \frac{1}{6}$$



progettoFE\_BE\_TU.m



$$\Delta = \frac{1}{6}$$



progettoFE\_BE\_TU.m

- Scegliendo invece periodo di campionamento pari a  $\Delta = 1$  il metodo FE porta ad un regolatore instabile, mentre gli altri 2 metodi portano a

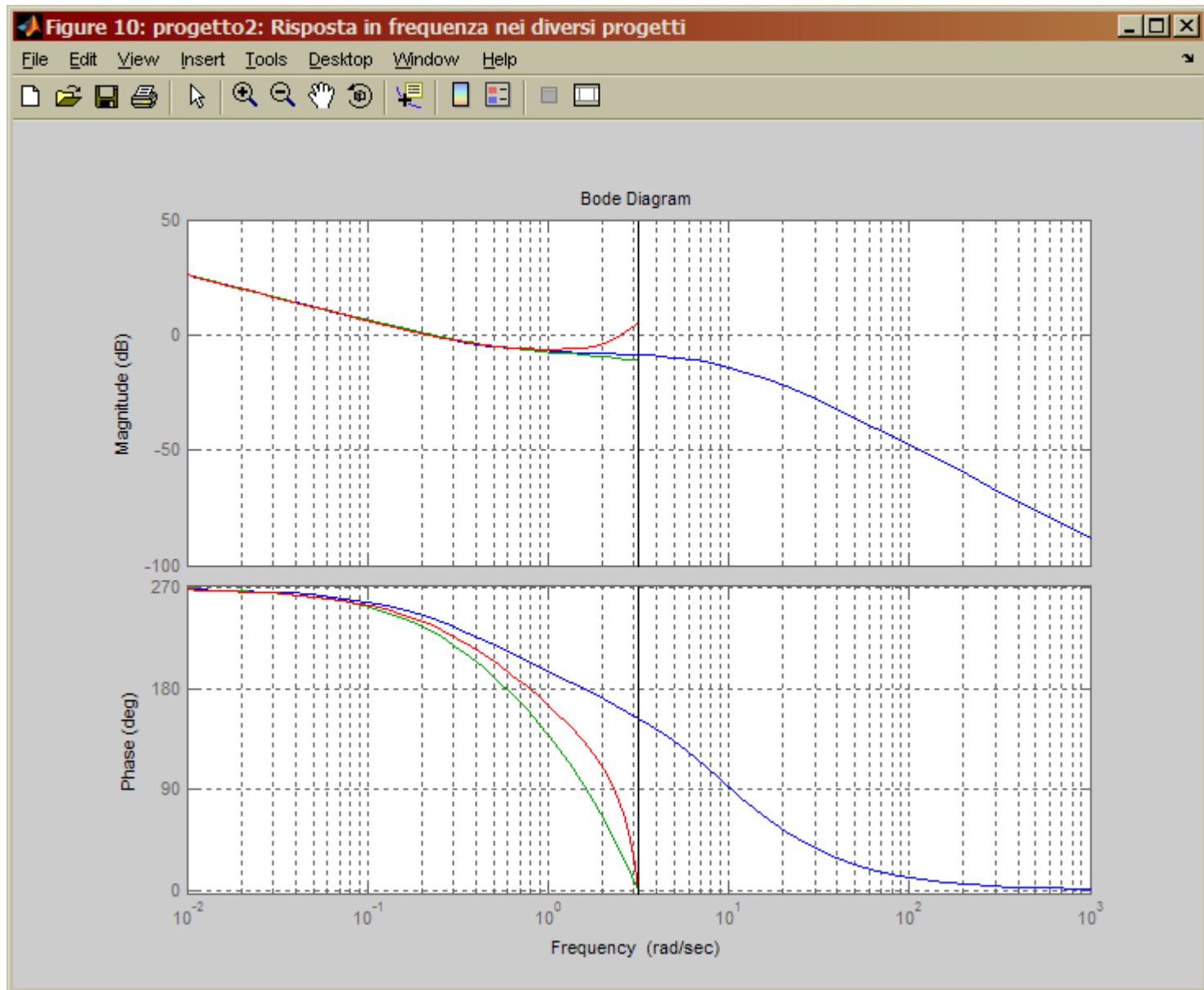
$$R_{BE}(z) = \frac{220z - 200}{11z - 1}$$

$$\Delta = 1$$

$$R_{TU}(z) = \frac{35z - 31.67}{z + 0.6667}$$

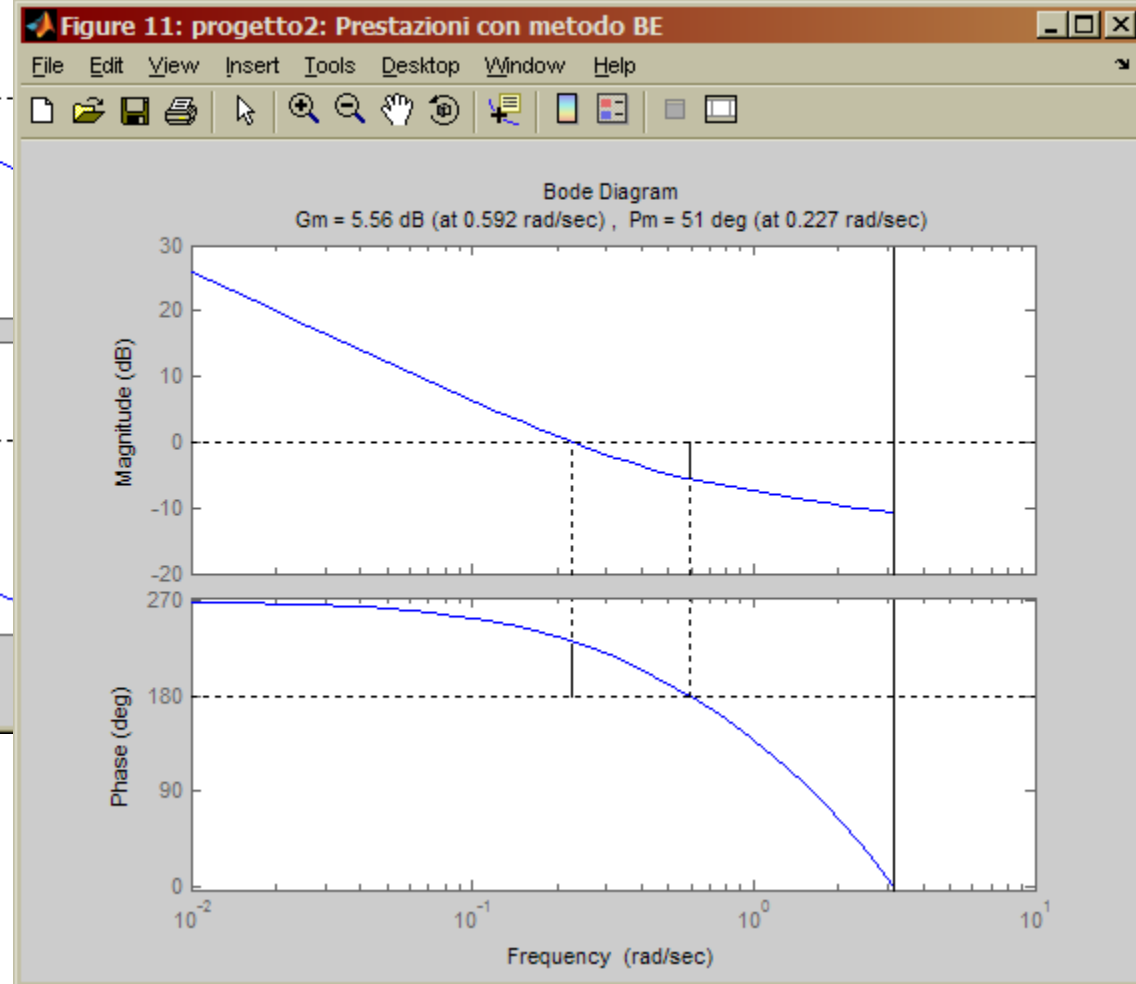
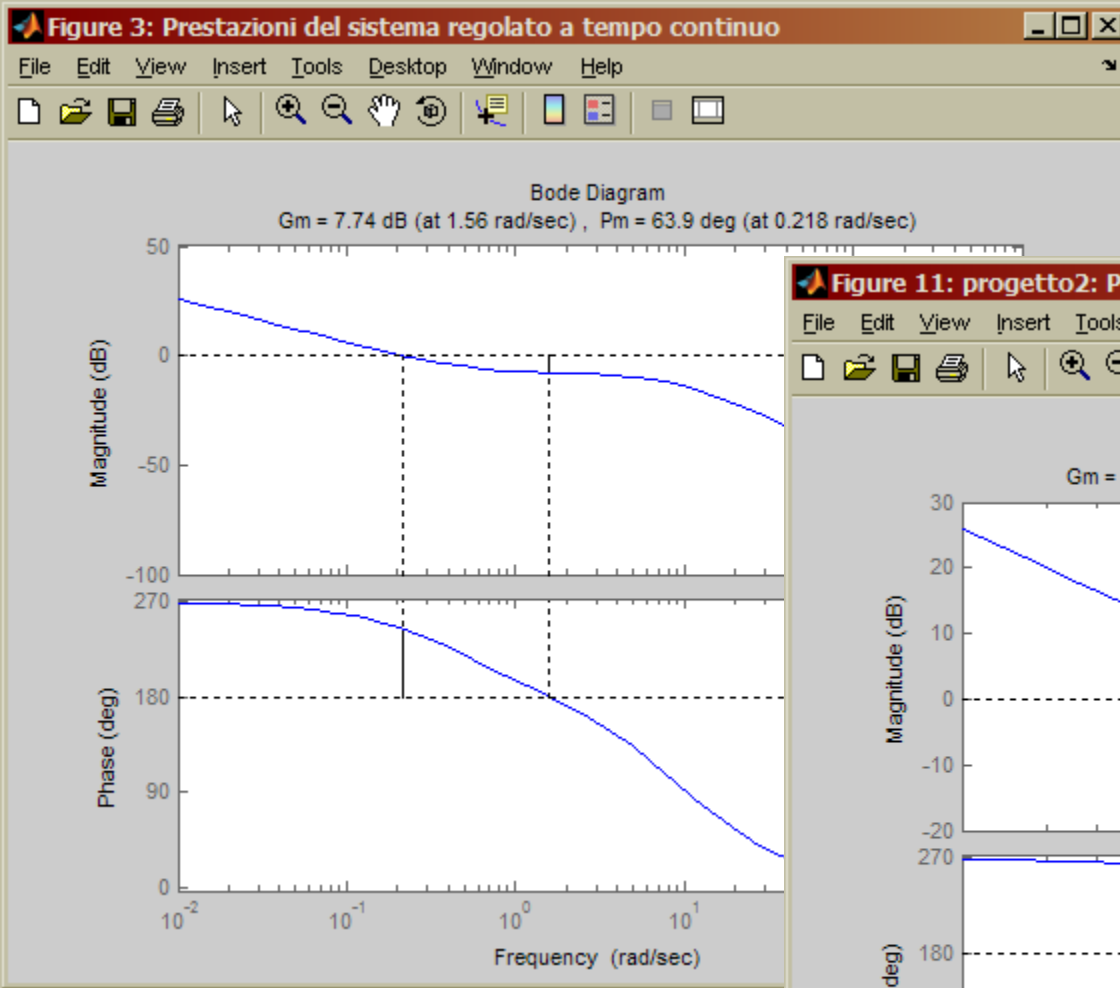
- Le loro prestazioni sono descritte dalle figure seguenti. Si noti il degrado di prestazioni rispetto ai progetti con periodo di campionamento minore.





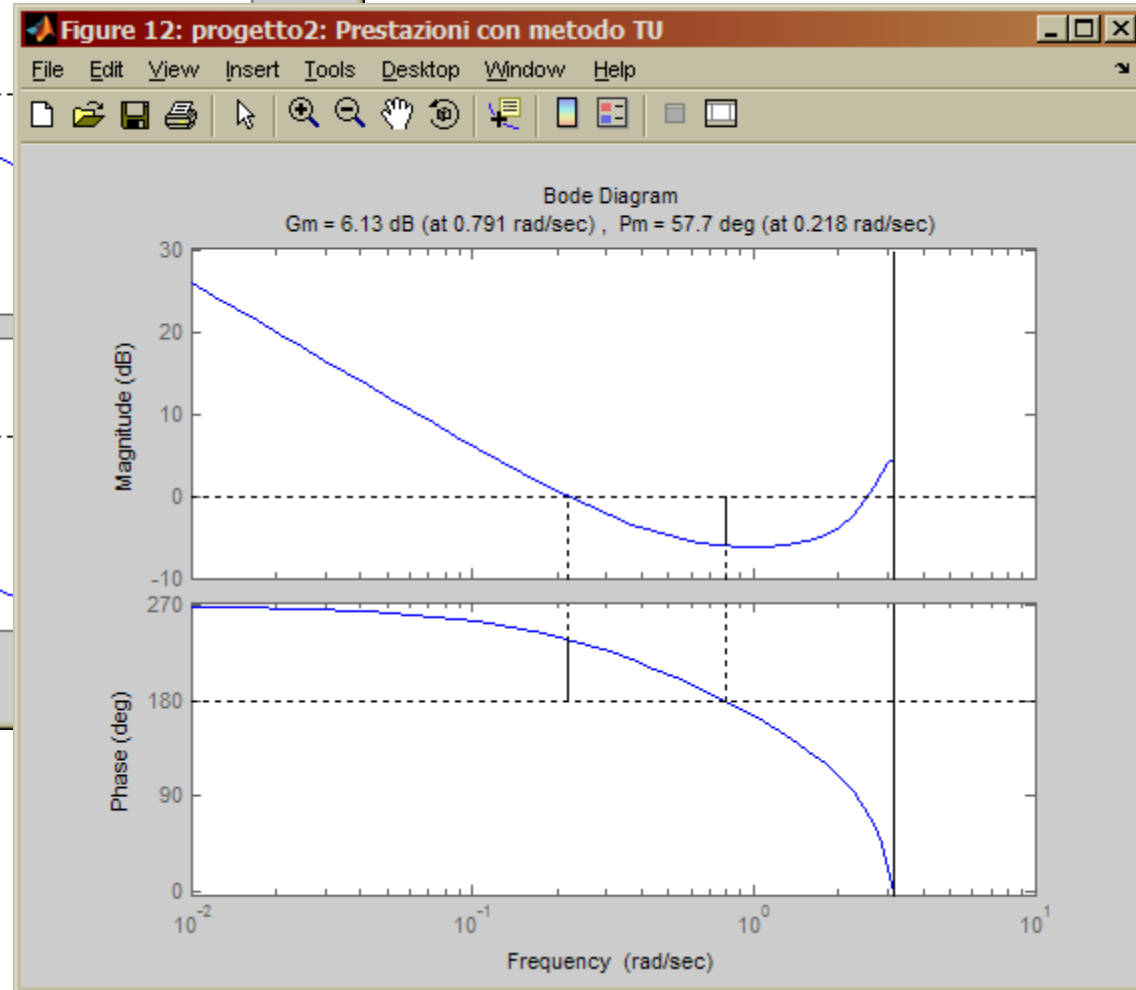
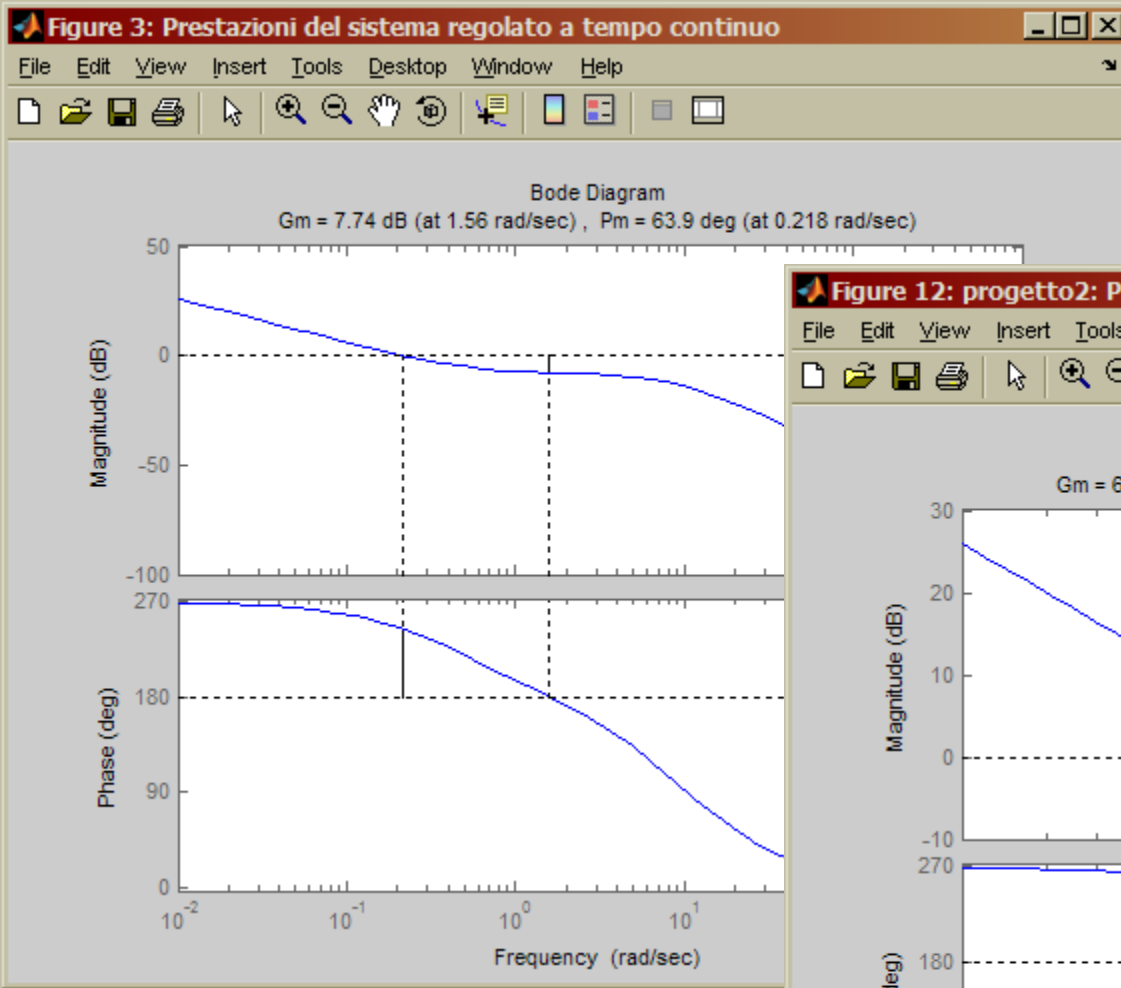
progettoFE\_BE\_TU.m

$$\Delta = 1$$



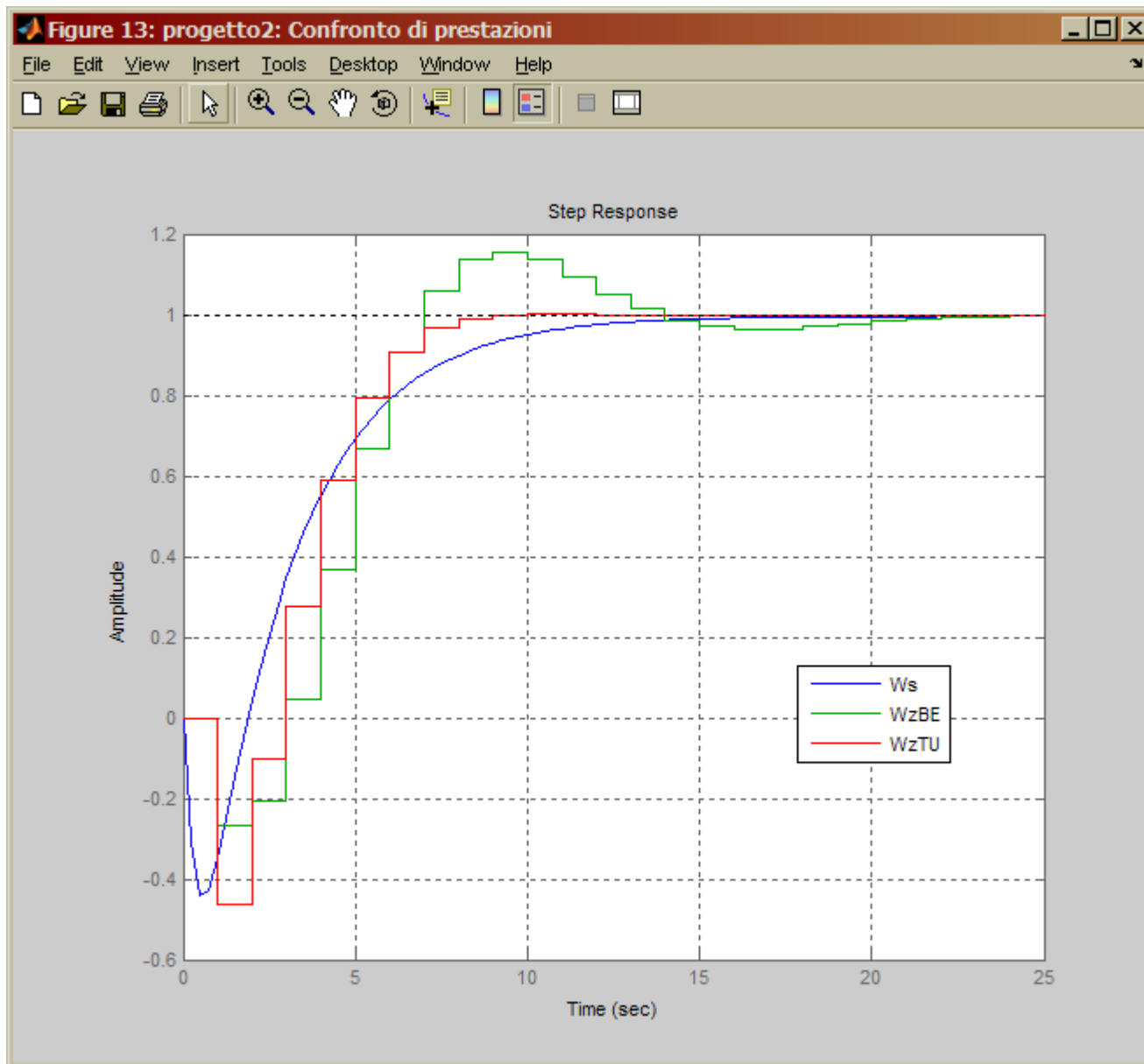
progettoFE\_BE\_TU.m

$$\Delta = 1$$



progettoFE\_BE\_TU.m

$$\Delta = 1$$



$$\Delta = 1$$


progettoFE\_BE\_TU.m

# Regolatori PID a segnali campionati

Tecniche di progetto  
per discretizzazione  
di regolatori standard

# I regolatori PID a segnali campionati

- Principio base: utilizzare le **tecniche di discretizzazione approssimata** per passare dal regolatore a tempo continuo PID(s) a quello a segnali campionati PID(z)



A block diagram showing a PID controller. An input signal  $e(t)$  enters a square block labeled "PID" from the left. An output signal  $m(t)$  exits the block to the right.

$$m(t) = K_P \left[ e(t) + \frac{1}{T_i} \int_0^t e(\tau) d\tau + T_D \dot{e}(t) \right]$$

- Scegliendo opportunamente il periodo di campionamento  $\Delta$  ...
- Come si approssimano i termini integrale e derivativo del controllo?

## PID utilizzando FE + BE

- Approssimazione del **termine integrale** con la formula **FE**
  - approssimazione di un integrale definito con una sommatoria di aree di rettangoli ...

$$\int_0^t e(\tau) d\tau \approx \sum_{k=1}^h e(k-1) \cdot \Delta \quad h \Delta = t$$

- Approssimazione del **termine derivativo** con la formula **BE**
  - approssimazione della derivata col rapporto incrementale

$$\dot{e}(t) \approx \frac{e(h) - e(h-1)}{\Delta} \quad h \cdot \Delta = t$$

## FE+BE: algoritmo di posizione

- Sfruttando le due approssimazioni precedenti è possibile scrivere la **legge di controllo nel tempo** (campionato) in modo **non ricorsivo** come segue

$$m(h) = K_P \left\{ e(h) + \frac{\Delta}{T_i} \sum_{k=1}^h e(k-1) + \frac{T_D}{\Delta} [e(h) - e(h-1)] \right\}$$

- Tale **formulazione non ricorsiva** della legge di controllo del PID a segnali campionati viene detta "**algoritmo di posizione**".



## FE+BE: algoritmo di velocità

- Riscrivendo la legge di controllo in **maniera ricorsiva** si arriva a quella che viene chiamata “**forma di velocità**” dell’algoritmo di controllo

$$\begin{aligned}
 m(h) = & m(h-1) + K_P \left[ 1 + \frac{T_D}{\Delta} \right] e(h) + \dots \\
 & + \left[ -K_P \left( 1 + \frac{2T_D}{\Delta} - \frac{\Delta}{T_i} \right) \right] e(h-1) + K_P \frac{T_D}{\Delta} e(h-2)
 \end{aligned}$$

## PID utilizzando TU + BE

- Come nel caso precedente il termine derivativo è approssimato con un rapporto incrementale sfruttando la formula BE

$$\dot{e}(t) \approx \frac{e(h) - e(h-1)}{\Delta} \quad h \cdot \Delta = t$$

- Stavolta il termine integrale viene approssimato tramite la formula di Tustin ("formula dei trapezi")

$$\int_0^t e(\tau) d\tau \approx \sum_{k=1}^h \frac{e(k) + e(k-1)}{2} \cdot \Delta \quad h \Delta = t$$

## TU+BE: forma di posizione e velocità

- Forma di posizione della legge di controllo

$$m(h) = K_P \left\{ e(h) + \frac{\Delta}{2 T_i} \sum_{k=1}^h [e(k) + e(k-1)] + \frac{T_D}{\Delta} [e(h) - e(h-1)] \right\}$$

- Forma di velocità

$$\begin{aligned} m(h) = m(h-1) + K_P \left[ 1 + \frac{T_D}{\Delta} + \frac{\Delta}{2 T_i} \right] e(h) + \dots \\ - K_P \left[ 1 + \frac{2 T_D}{\Delta} - \frac{\Delta}{2 T_i} \right] e(h-1) + K_P \frac{T_D}{\Delta} e(h-2) \end{aligned}$$

## FE+BE: espressione di PID(z)

- Consideriamo un PID non fisicamente realizzabile (in forma scolastica) a tempo continuo, espresso dalla FdT

$$PID(s) = K_P \left[ 1 + \frac{1}{T_i s} + T_D s \right]$$

$$\left. \frac{1}{T_i s} \right|_{FE} \quad s = \frac{z-1}{\Delta} \quad \Rightarrow \quad \frac{\Delta}{T_i} \frac{1}{z-1} \qquad \left. T_D s \right|_{BE} \quad s = \frac{z-1}{z\Delta} \quad \Rightarrow \quad \frac{T_D}{\Delta} \frac{z-1}{z}$$

- In definitiva

$$\left. PID(z) \right|_{FE+BE} = K_P \left[ 1 + \frac{\Delta}{T_i} \frac{1}{z-1} + \frac{T_D}{\Delta} \frac{z-1}{z} \right]$$

- Rielaborando ulteriormente l'espressione appena trovata si arriva a

$$PID(z) \Big|_{FE+BE} = \frac{q_0 z^2 + q_1 z + q_2}{z(z-1)}$$

$$q_0 = K_P \left( 1 + \frac{T_D}{\Delta} \right)$$

$$q_1 = -K_P \left( 1 + 2 \frac{T_D}{\Delta} - \frac{\Delta}{T_i} \right)$$

$$q_2 = K_P \frac{T_D}{\Delta}$$

## TU+BE: espressione di PID(z)

- Consideriamo ancora una volta un PID non fisicamente realizzabile (in forma scolastica) a tempo continuo, espresso dalla FdT

$$PID(s) = K_P \left[ 1 + \frac{1}{T_i s} + T_D s \right]$$

$$\left. \frac{1}{T_i s} \right|_{TU} \quad s = \frac{2}{\Delta} \frac{z-1}{z+1} \quad \Rightarrow \quad \frac{\Delta}{2 T_i} \frac{z+1}{z-1} \quad \left. T_D s \right|_{BE} \quad s = \frac{z-1}{z\Delta} \quad \Rightarrow \quad \frac{T_D}{\Delta} \frac{z-1}{z}$$

- In definitiva

$$\left. PID(z) \right|_{TU+BE} = K_P \left[ 1 + \frac{\Delta}{2 T_i} \frac{z+1}{z-1} + \frac{T_D}{\Delta} \frac{z-1}{z} \right]$$

- Rielaborando ulteriormente l'espressione appena trovata si ottiene una formulazione simile a quella determinata in precedenza, applicando le formule FE+BE

$$PID(z) \Big|_{TU+BE} = \frac{q_0 z^2 + q_1 z + q_2}{z(z-1)}$$

$$q_0 = K_P \left( 1 + \frac{T_D}{\Delta} + \frac{\Delta}{2T_i} \right)$$

$$q_1 = -K_P \left( 1 + 2\frac{T_D}{\Delta} - \frac{\Delta}{2T_i} \right)$$

$$q_2 = K_P \frac{T_D}{\Delta}$$

## Osservazioni

- Si ottiene facilmente per  $PID(z)$  la struttura appena descritta applicando sia FE+BE che TU+BE per discretizzare il PID scolastico se si applica la Z-trasformata alle equazioni alle differenze che descrivono il comportamento ingresso/uscita del regolatore a segnali campionati nella sua forma ricorsiva (di velocità).

$$PID(z) = \frac{q_0 z^2 + q_1 z + q_2}{z(z - 1)}$$

- Si noti che il regolatore PID scolastico a tempo continuo era non fisicamente realizzabile, mentre quello ottenuto a segnali campionati lo è.



# Discretizzazione di PID fisicamente realizzabile

- Si consideri ora un **regolatore PID a tempo continuo fisicamente realizzabile**, espresso da

$$PID(s) = K_P \left[ 1 + \frac{1}{T_i s} + \frac{T_D s}{1 + \frac{T_D s}{N}} \right]$$

- Come in precedenza è possibile discretizzare il termine "integrale" con la tecnica FE oppure TU:

$$\left. \frac{1}{T_i s} \right|_{FE} \quad s = \frac{z-1}{\Delta} \quad \Rightarrow \quad \frac{\Delta}{T_i} \frac{1}{z-1} \quad \left. \frac{1}{T_i s} \right|_{TU} \quad s = \frac{2}{\Delta} \frac{z-1}{z+1} \quad \Rightarrow \quad \frac{\Delta}{2 T_i} \frac{z+1}{z-1}$$

- Come in precedenza è possibile discretizzare il termine “derivativo” con la tecnica BE:

$$T_D s \Big|_{BE} \quad s = \frac{z-1}{z\Delta} \quad \Rightarrow \quad \frac{T_D}{\Delta + \frac{T_D}{N}} \cdot \frac{z-1}{z - \frac{T_D}{N\Delta + T_D}}$$

- In definitiva si possono ottenere le FdT seguenti:

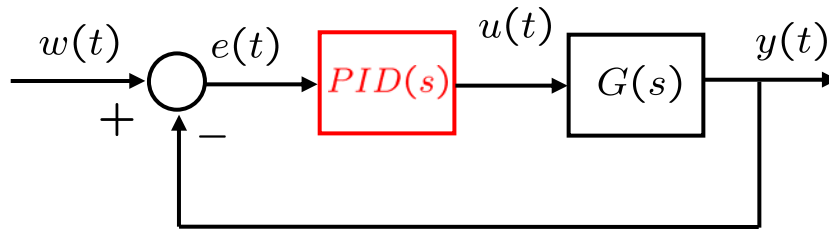
$$PID(z) \Big|_{FE+BE} = K_P \left[ 1 + \frac{\Delta}{T_i} \frac{1}{z-1} + \frac{T_D}{\Delta + \frac{T_D}{N}} \cdot \frac{z-1}{z - \frac{T_D}{N\Delta + T_D}} \right]$$

$$PID(z) \Big|_{TU+BE} = K_P \left[ 1 + \frac{\Delta}{2T_i} \frac{z+1}{z-1} + \frac{T_D}{\Delta + \frac{T_D}{N}} \cdot \frac{z-1}{z - \frac{T_D}{N\Delta + T_D}} \right]$$

# Conclusioni

- Quelle viste per i PID a tempo discreto sono tutte **tecniche approssimate**.
- Ciò significa che nell'applicare le tecniche descritte si ha **scarso controllo sulle prestazioni** sia in "z" che in frequenza.

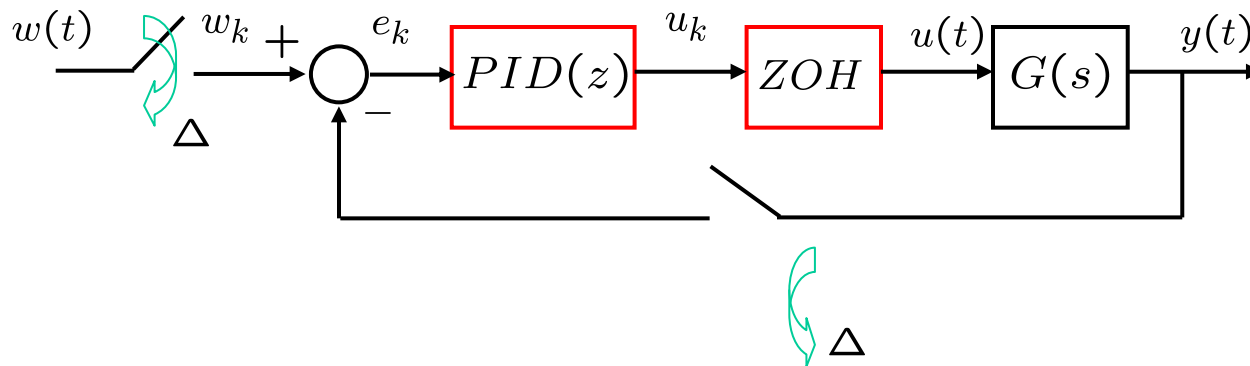
## Esempio di sintesi di PID digitale



progetto a tempo continuo



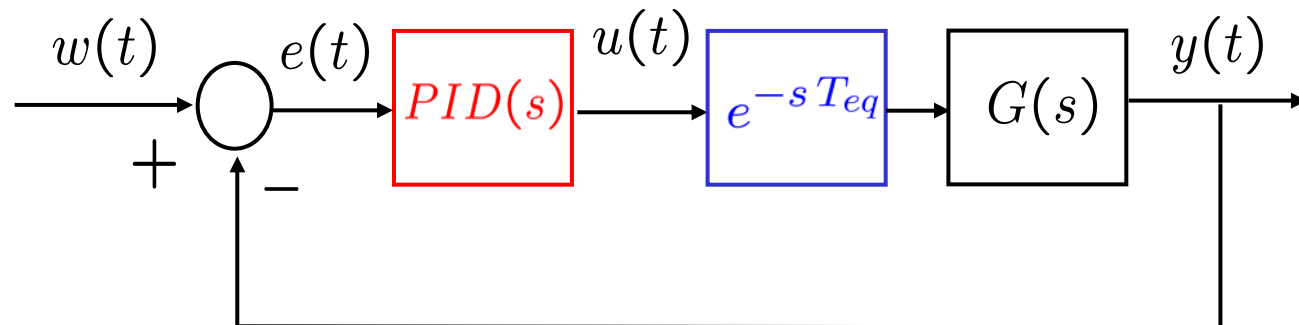
formule di discretizzazione approssimata FE+BE, TU+BE



- Come si è visto in precedenza, almeno in prima approssimazione si può, nel progetto iniziale a tempo continuo, inserire un termine di ritardo finito nello schema, termine che rappresenti l'influenza dell'organo di tenuta

– per le formule FE, BE e TU si ha  $ZOH(s) \approx e^{-\frac{s\Delta}{2}}$

- In definitiva il progetto preliminare a tempo continuo lo si porta a compimento, dopo aver preventivamente scelto il periodo di campionamento  $\Delta$ , sul sistema modificato



- $T_{eq}$  rappresenta il “ritardo finito equivalente”, almeno in prima approssimazione, all’organo di tenuta.
- Il progetto a tempo continuo procede allora come al solito, con l’accortezza di garantire per il sistema margini di stabilità maggiori di quelli richiesti [ il termine di “ritardo equivalente” è approssimazione a volte non soddisfacente ...]

## Esempio di progetto di PID

- Si vuole determinare un regolatore di tipo PID per il processo

$$G(s) = \frac{1}{(1 + 0.5s)(1 + s)^2(1 + 2s)}$$

- 1° passo: trovare un modello approssimato (tecnica delle aree/della tangente)

$$\tilde{G}(s) = \frac{1}{1 + 3.34s} \cdot e^{-1.46s}$$

- 2° passo: il periodo di campionamento sia  $\Delta = 0.3 \text{ s}$
- 3° passo: il ritardo finito equivalente è allora pari a

$$\left. \begin{array}{l} \text{FE} + \text{BE} \\ \text{TU} + \text{BE} \end{array} \right\} \longrightarrow T_{eq} = \tau + \frac{\Delta}{2} \approx 1.61 \text{ s}$$

$$\text{HE} \longrightarrow T_{eq} = \tau + \Delta \approx 1.76 \text{ s}$$

- 4° passo: dalle tabelle di Ziegler/Nichols si ottengono ora i parametri del PID a tempo continuo (per i **progetti FE+BE, TU+BE**):

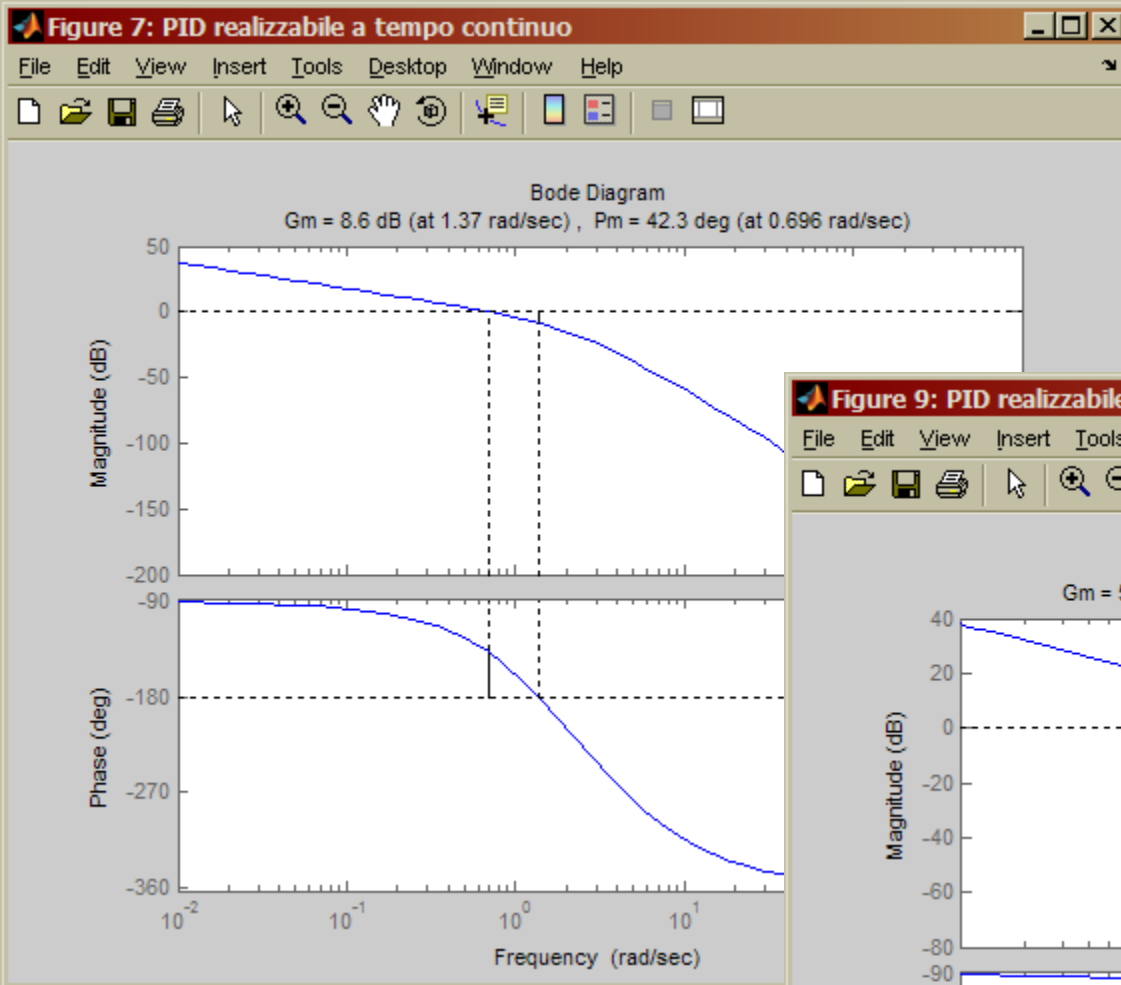
$$K_P = 2.489 \quad T_i = 3.22 \quad T_D = 0.805$$



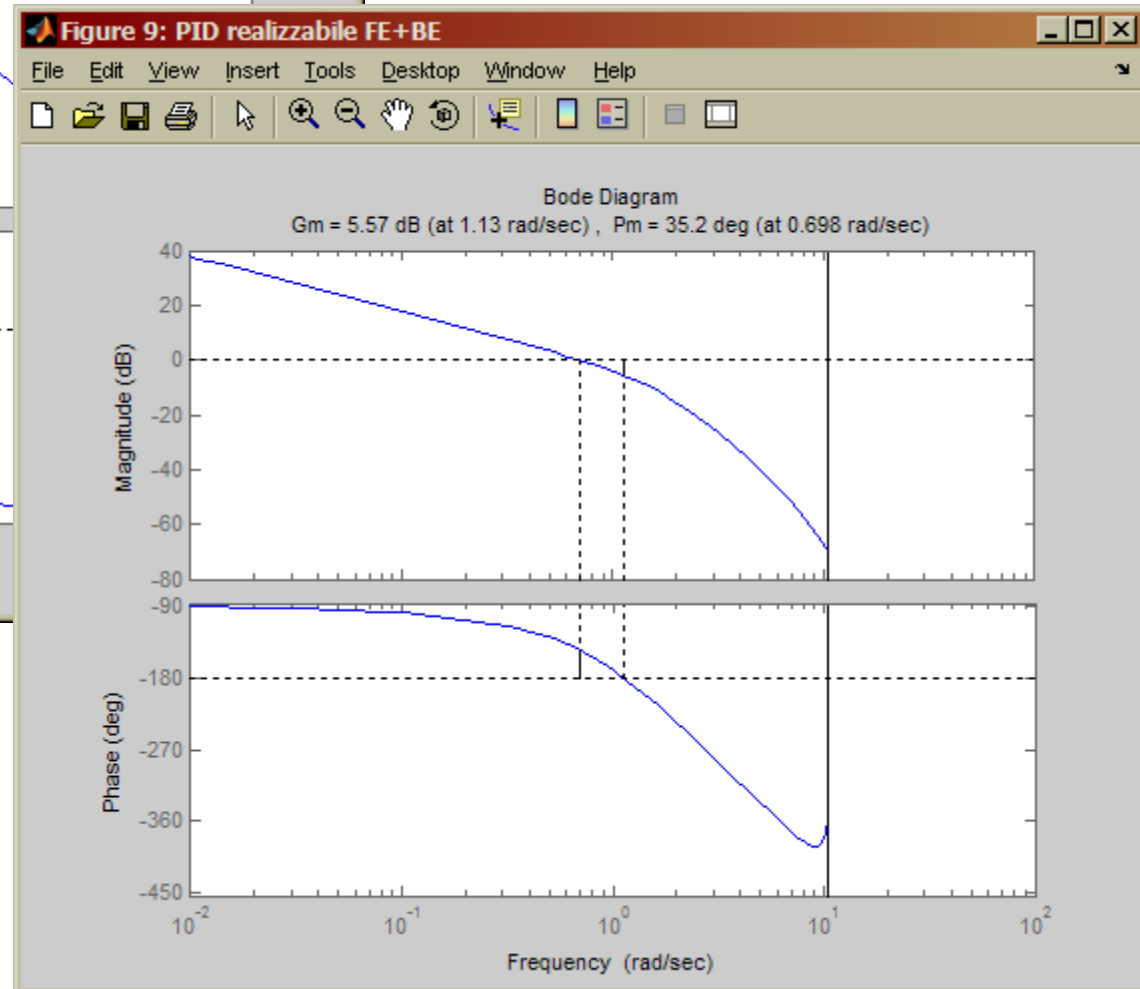
Per il **progetto HE** otterrei invece

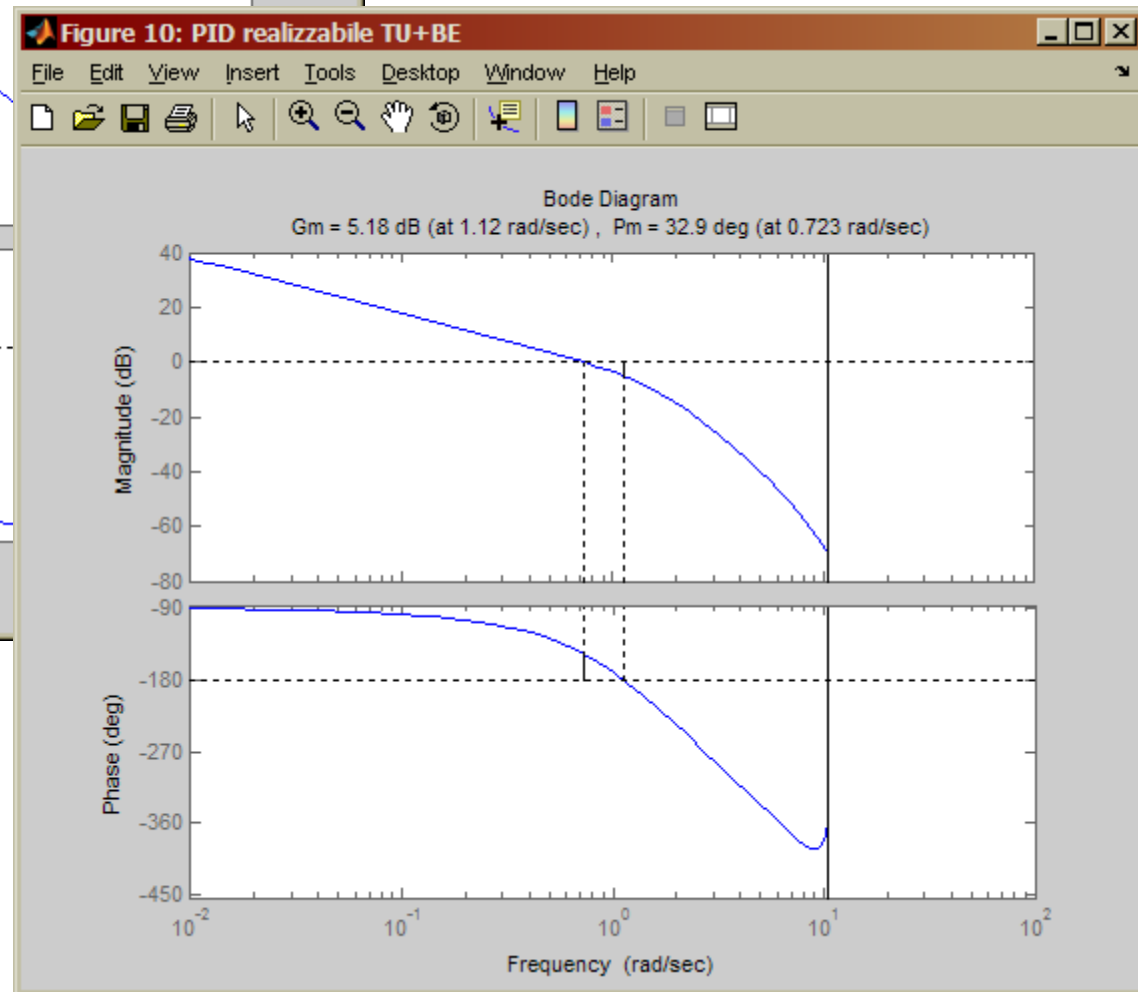
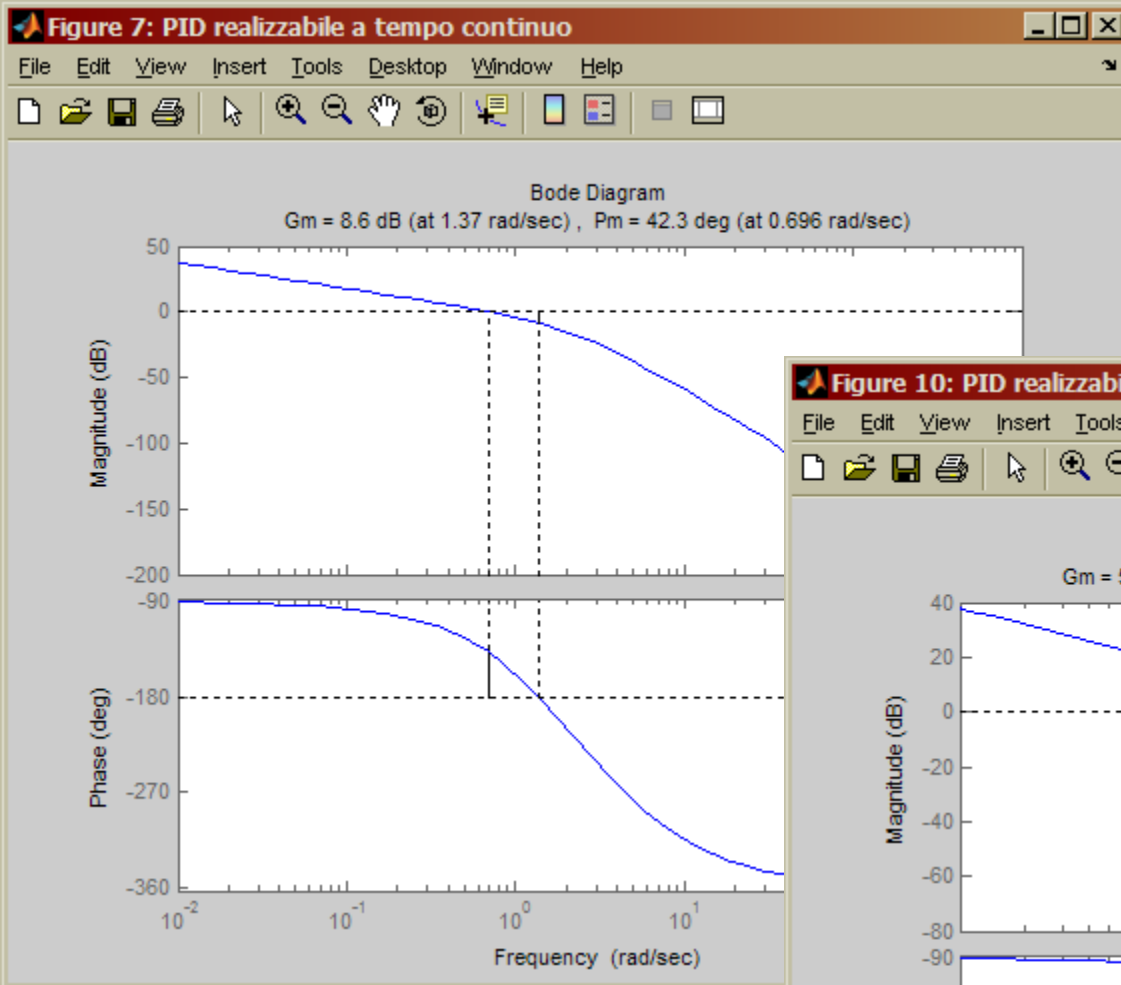
$$K_P = 2.2773 \quad T_i = 3.5200 \quad T_D = 0.8800$$

- 5° ed ultimo passo: a questo punto utilizzando le formule viste in precedenza (CD Parte 9 - 151 e segg. ) si possono determinare i PID a segnali campionati.
- Per il confronto delle prestazioni si rimanda allo script Matlab "**progettoPID.m**".

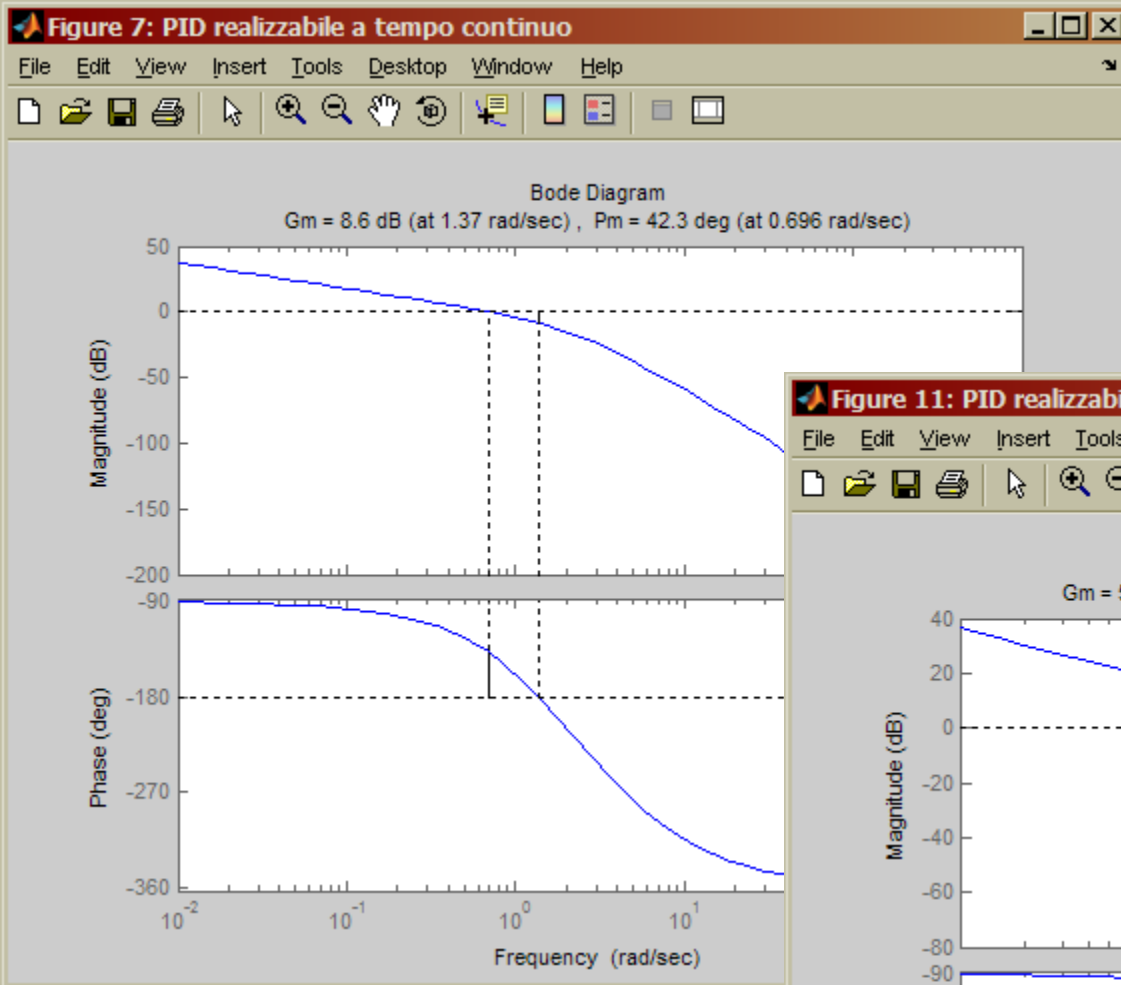


progettoPID.M

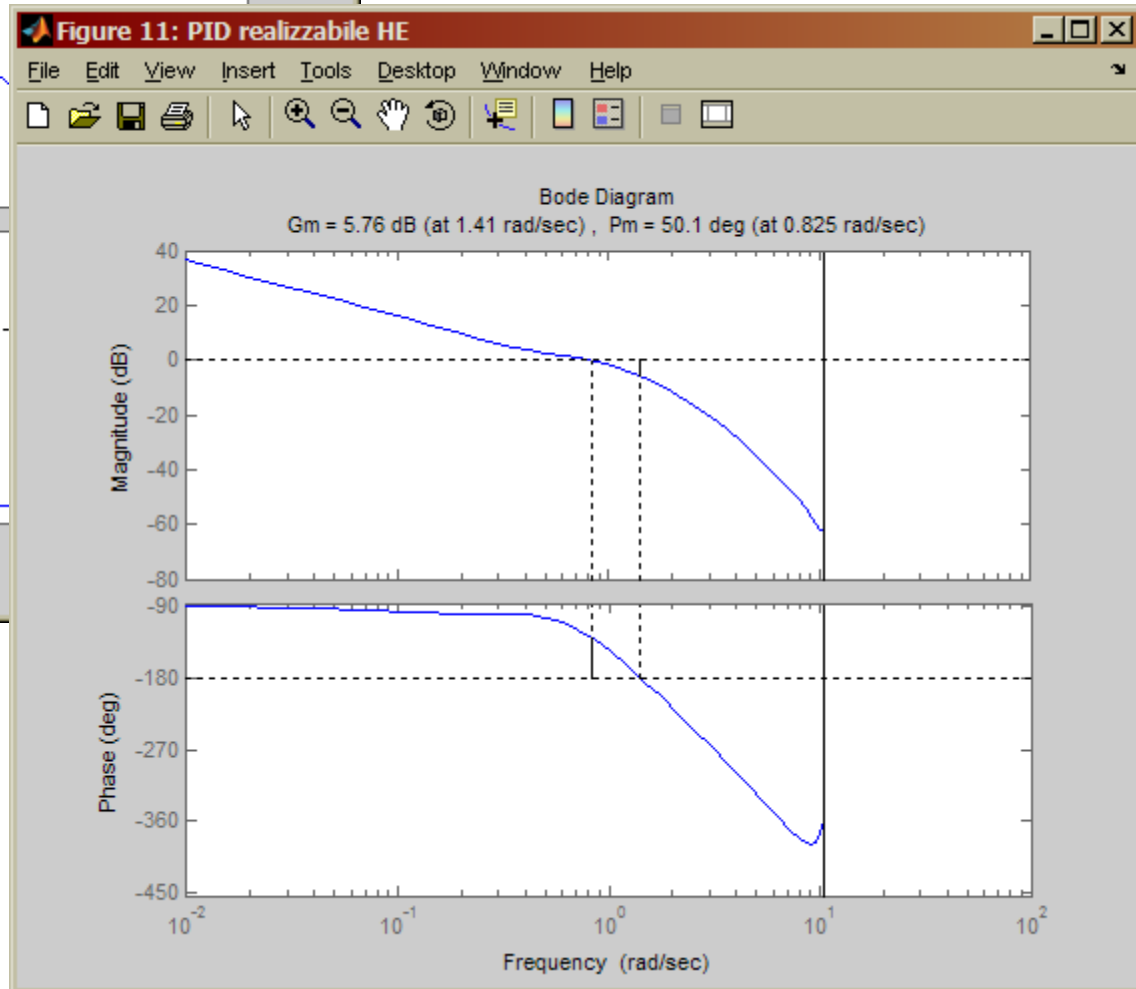


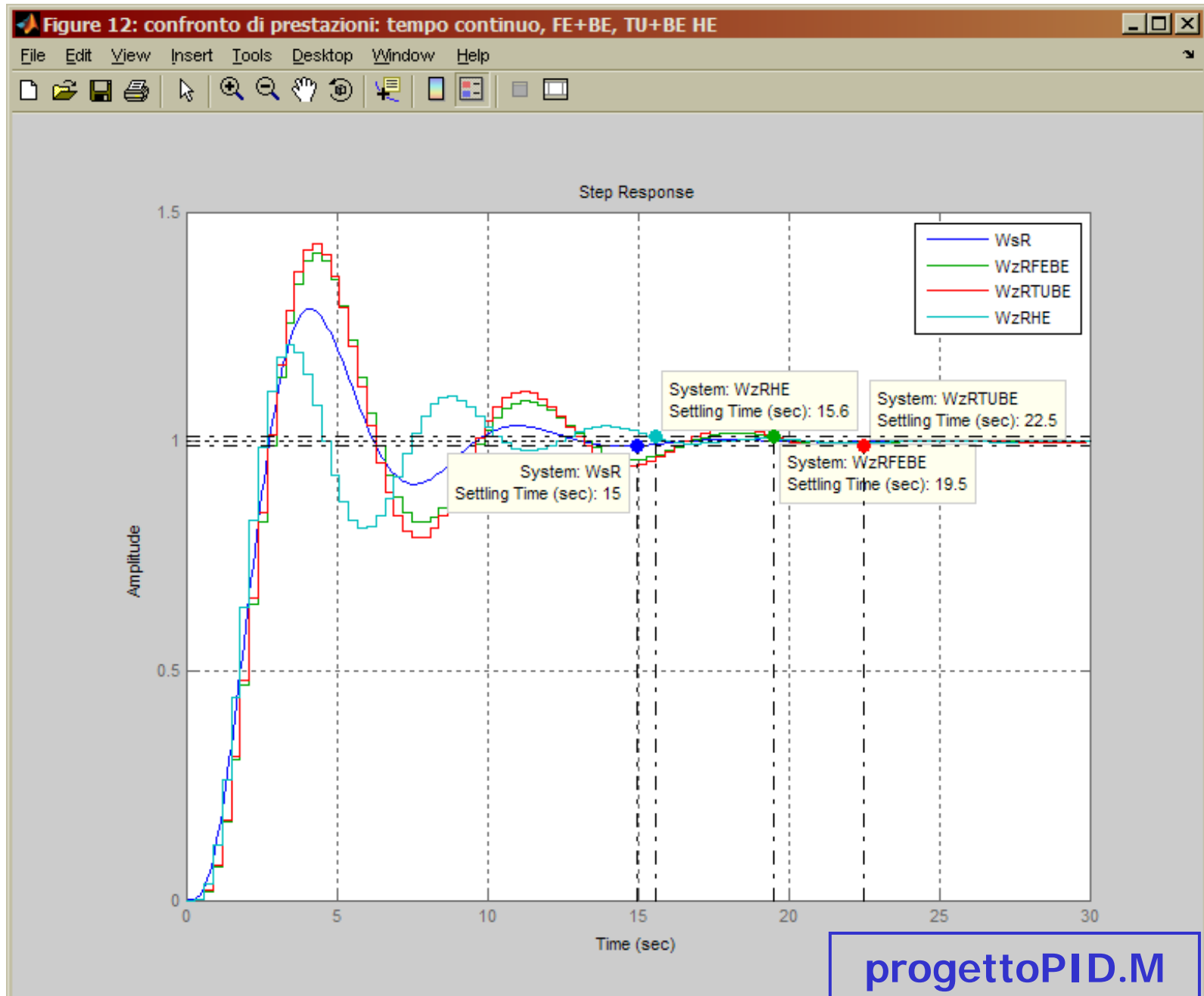


progettoPID.M



progettoPID.M





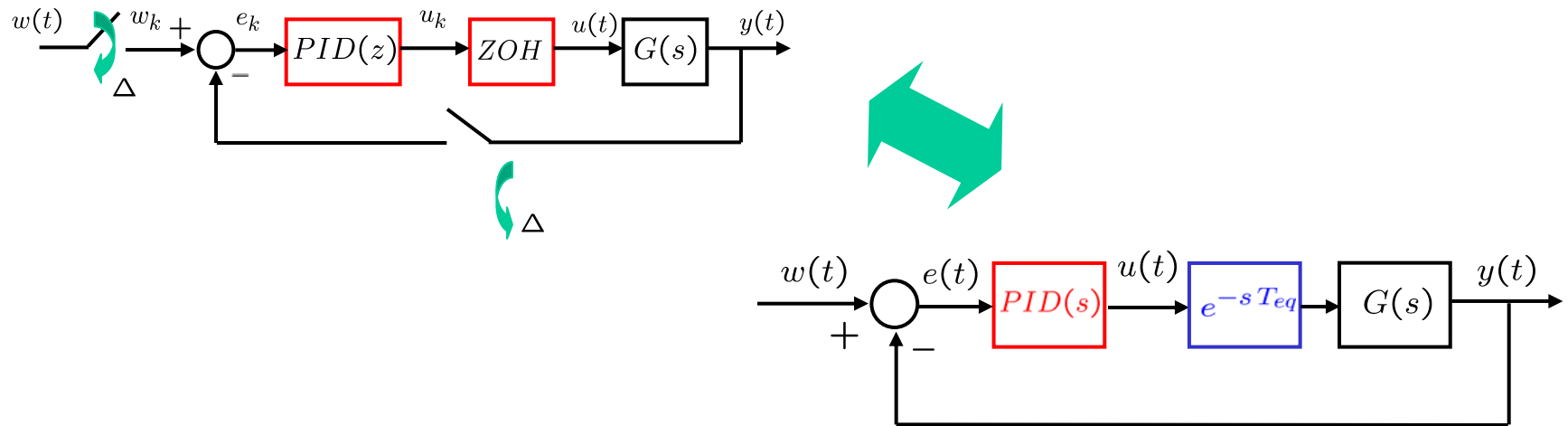
# Progetto nel “piano $w$ ”

Utilizzo della trasformata di Tustin

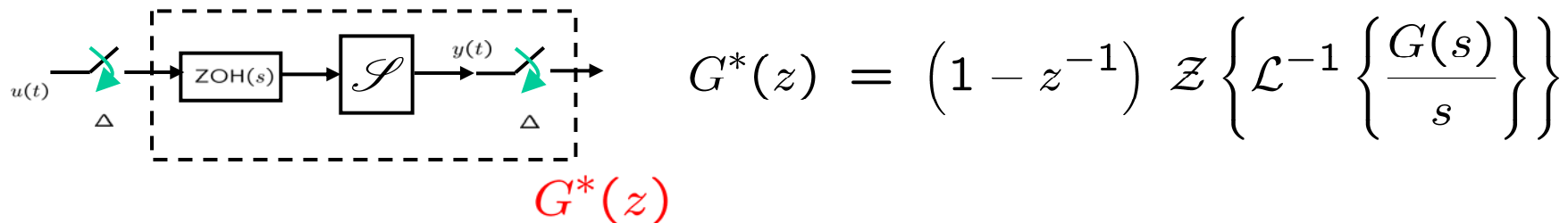
## Introduzione al progetto nel piano “w”

- Finora abbiamo analizzato **tecniche di progetto** di regolatori a segnali campionati **per discretizzazione** di un progetto per un regolatore a tempo continuo (FE, BE, TU, TUwarp, HE).
- Tutte le **tecniche** viste finora **non garantiscono** controllo sulle **prestazioni in frequenza** del sistema a segnali campionati che si vuole ottenere. Ciò è dovuto in parte al modo di operare delle formule analizzate ed in parte all'approssimazione con cui si tiene conto dell'influenza dei blocchi di campionamento e tenuta:
  - tutte le tecniche analizzate finora infatti approssimano l'effetto dell'organo di tenuta con un termine di ritardo finito di durata opportuna.

- Gli approcci studiati finora seguono allora lo schema seguente



- Si può fare meglio! Consideriamo il solo sottosistema "processo", descritto dalla FdT  $G(s)$



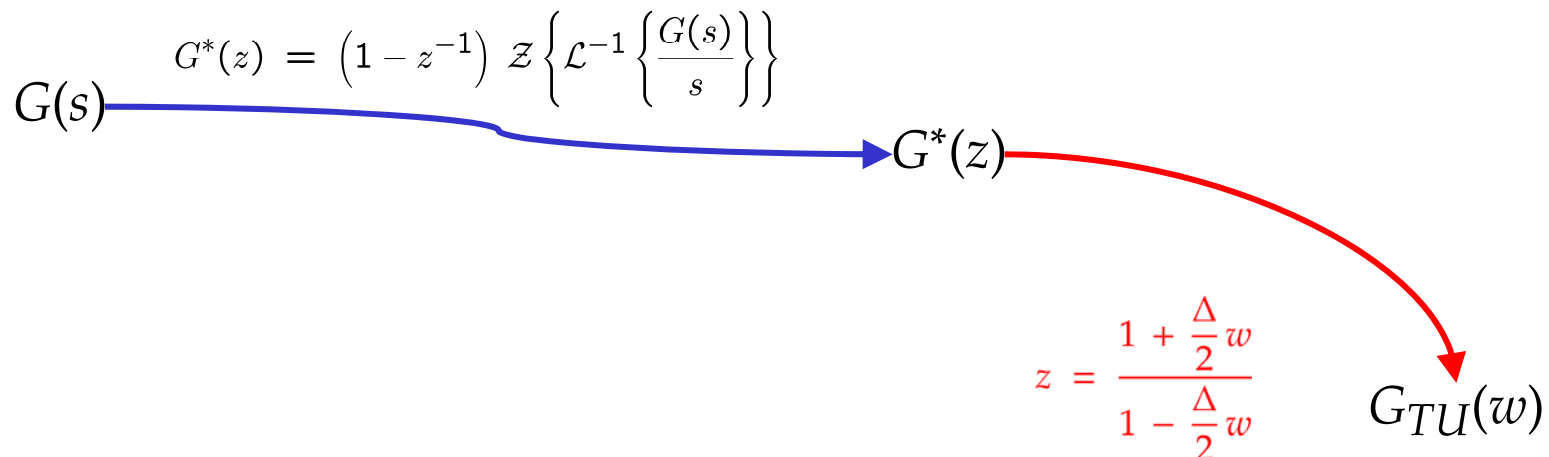


$$G^*(z) = (1 - z^{-1}) \mathcal{Z} \left\{ \mathcal{L}^{-1} \left\{ \frac{G(s)}{s} \right\} \right\}$$

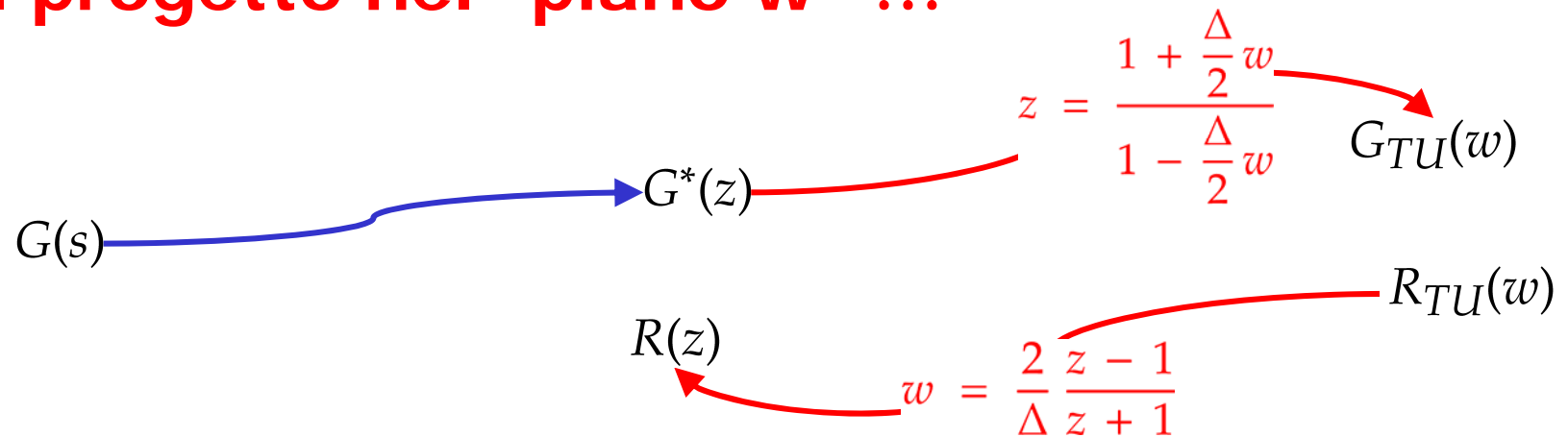
- Se si discretizza il processo utilizzando la formula appena riportata (“discretizzazione con campionamento e tenuta” CD\_Parte7, slide 95 e segg.), si tiene conto in modo esatto dell’intervento sia del campionatore che del blocco di mantenimento.
- Lo svantaggio “macroscopico” di un tale approccio è che, ottenuta una rappresentazione del processo a segnali campionati tramite la FdT  $G^*(z)$  si dovrebbe portare avanti il progetto nel dominio della Z-trasformata!
- Non si può utilizzare allora alcuna delle tecniche di progetto approssimate viste finora e basate sulla risoluzione di un opportuno problema di controllo a tempo continuo.

## Il progetto nel “piano w”

- Per non essere costretti a portare a termine il progetto nel dominio della Z-trasformata, si può applicare la **trasformazione bilineare di Tustin** alla FdT  $G^*(z)$ , ponendo così in **relazione** il **piano** della variabile complessa **z** con un **piano ausiliario w**



## Il progetto nel "piano w" ...



- Il **piano** della **variabile** complessa **w** è **simile** a quello della variabile **s**, dominio della trasformata di Laplace. Ciò autorizza ad eseguire il **progetto del regolatore nel piano w** utilizzando le solite tecniche frequenziali, note ed applicate nei progetti a tempo continuo.
- Ottenuto il regolatore nel piano w,  $R_{TU}(w)$ , si applica la **trasformata di Tustin inversa** e si ottiene il regolatore desiderato  $R(z)$ .

## Passi logici del progetto nel “piano $w$ ”

1. fissare il periodo di campionamento  $\Delta$ ;
2. ricavare la FdT a segnali campionati del processo  $G^*(z)$ , con la tecnica di “invarianza della risposta allo scalino” (o “discretizzazione per campionamento e tenuta”);
3. trasformare (tramite trasformata di Tustin)  $G(z)$  in  $G_{TU}(w)$ ;
4. determinare un regolatore  $R_{TU}(w)$  per il processo  $G_{TU}(w)$ , utilizzando una delle tecniche frequenziali note;
5. applicare la trasformata di Tustin inversa, determinando così  $R(z)$  a partire da  $R_{TU}(w)$ ;
6. verificare che le prestazioni ottenute siano quelle desiderate.

- Sappiamo già che la **trasformata di Tustin** **distorce** la risposta in frequenza **alle alte frequenze** (CD\_parte9, slide 106 e segg.).
- Questo fatto si ripercuote sul **progetto nel piano  $w$** : la risposta in frequenza di  $G_{TU}(w)$  **NON È** quella di  $G(s)$ , in particolare alle frequenze alte.
- La trasformata di Tustin porta ad avere  **$G_{TU}(w)$  semplicemente propria SEMPRE**, anche partendo da una FdT  $G(s)$  strettamente propria!
- In particolare quindi si ha che anche se  $G(s)|_{s=j\Omega} \xrightarrow{\Omega \rightarrow \infty} 0$

nel piano  $w$  si ottiene

$$G_{TU}(w)|_{w=j\hat{\Omega}} \xrightarrow{\hat{\Omega} \rightarrow \infty} \hat{G} \neq 0$$

## Un esempio

- Consideriamo un semplice esempio:

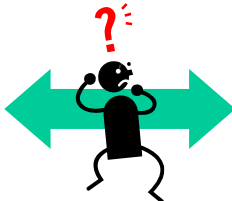
$$G(s) = \frac{100}{s + 100} \xrightarrow{\Delta} \frac{1}{100} \xrightarrow{\quad} G^*(z) = \frac{0.6321}{z - 0.3679}$$

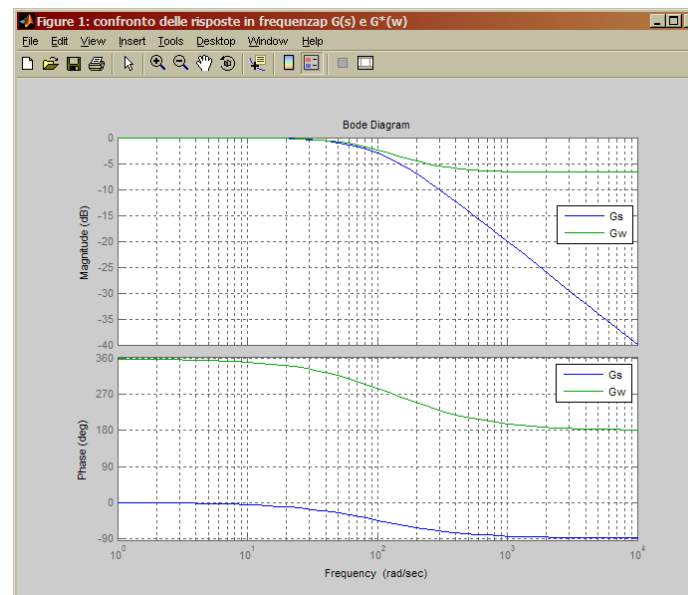
$$z = \frac{1 + \frac{\Delta}{2}w}{1 - \frac{\Delta}{2}w}$$

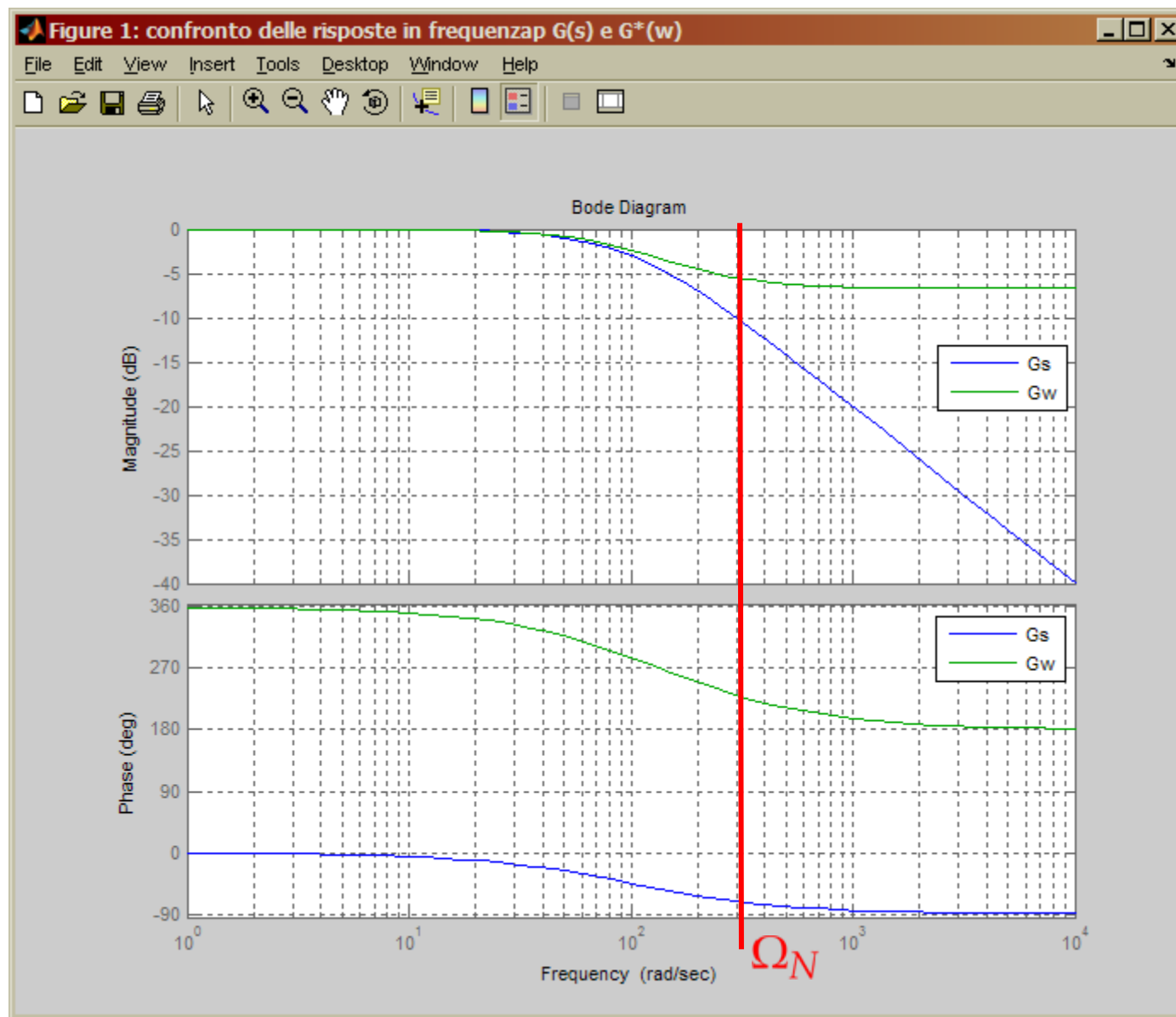
$$G_{TU}(w) = -0.4621 \frac{w - 200}{w + 92.4234}$$

- Confrontiamo le due risposte in frequenza di  $G(s)$  e di  $G_{TU}(w)$

- La differenza tra le risposte in frequenza di  $G(s)$  e di  $G_{TU}(w)$  è causata dalla distorsione introdotta dalla trasformata di Tustin e quindi è tanto meno rilevante quanto più a frequenze basse vengono confrontate le due risposte in frequenza in questione

$$G(s)|_{s=j\Omega} \quad \longleftrightarrow \quad G_{TU}(w)|_{w=j\hat{\Omega}}$$






confronta\_s\_w.m

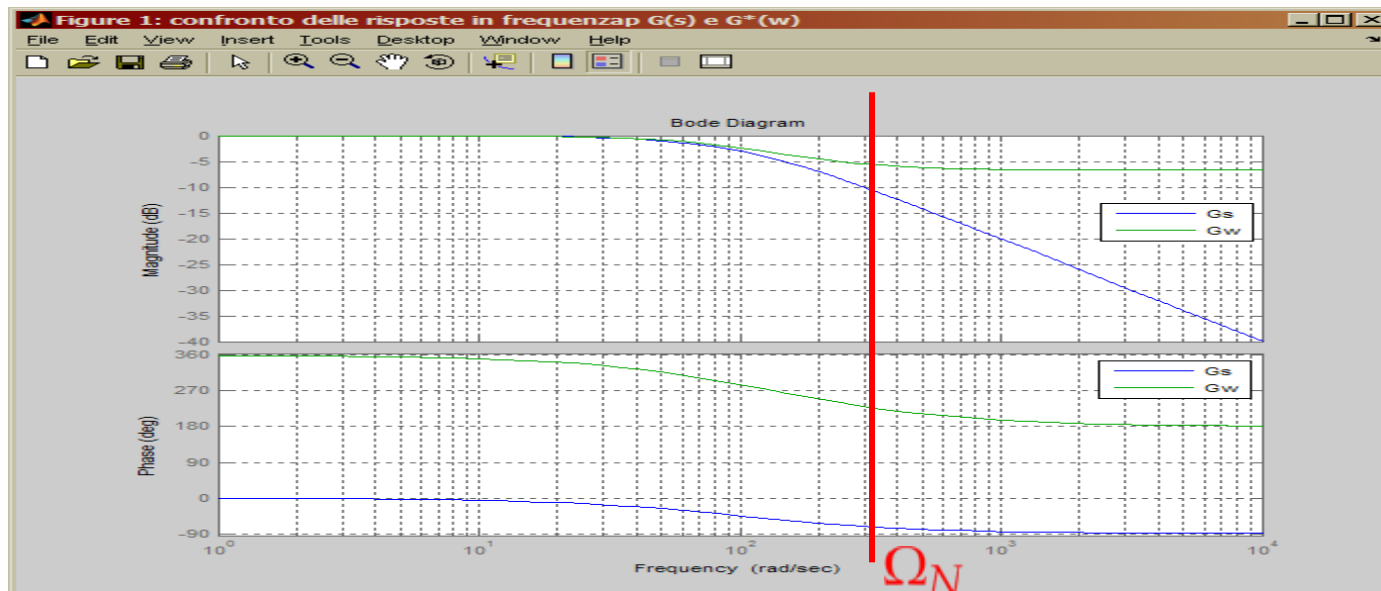


- Ciò significa, ancora una volta, che se

$$\Omega_s \gg \Omega_c$$

- allora la distorsione introdotta dalla trasformata di Tustin è “trascurabile” e la risposta in frequenza di  $G(s)$  e di  $G_{TU}(w)$  sono “pressoché identiche” nell’intervallo di frequenze che ci interessa, cioè

$$\Omega \ll \Omega_N$$



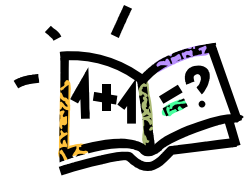
## Proprietà utile

- La trasformazione di Tustin **non modifica** gli errori a regime in risposta ai segnali canonici (impulso unitario, scalino unitario, rampa a pendenza unitaria ecc. ) [per i dettagli si vedano le slide di CD-parte10]

$$\lim_{z \rightarrow 1} G(z) = \lim_{w \rightarrow 0} G_{TU}(w)$$

$$\lim_{z \rightarrow 1} \frac{z-1}{z} \cdot G(z) = \lim_{w \rightarrow 0} w \cdot G_{TU}(w)$$

...



## Esempio di progetto "nel piano $w$ "

- Dato il sistema a tempo continuo descritto dalla FdT

$$G(s) = \frac{10}{s(s+1)(s+10)}$$

progettare un regolatore a segnali campionati, con periodo di campionamento  $\Delta = 0.2$  s, che soddisfi le specifiche:

- Max sovraelongazione nella risposta al gradino  $S_{\%} \leq 20\%$
- Errore a regime nella risposta alla rampa  $e_{\infty} = \frac{1}{2}$

script MATLAB: esempio\_Tustin\_piano\_w.m

## 1° passo: determinazione di $G^*(z)$

- Si tratta di applicare la discretizzazione per campionamento e tenuta

$$G^*(z) = (1 - z^{-1}) \mathcal{Z} \left\{ \mathcal{L}^{-1} \left\{ \frac{G(s)}{s} \right\} \right\}$$

$$\mathcal{Z} \left\{ \frac{G(s)}{s} \right\} = \sum_{\text{poli di } \frac{G(\lambda)}{\lambda}} \text{Res} \left[ \frac{\frac{G(\lambda)}{\lambda}}{1 - e^{0.2 \lambda} z^{-1}} \right] = \dots$$

$$\dots = \sum_{\text{poli di } \frac{G(\lambda)}{\lambda}} \text{Res} \left[ \frac{10}{\lambda^2(\lambda + 1)(\lambda + 10)} \cdot \frac{1}{1 - e^{0.2 \lambda} z^{-1}} \right] = \dots$$

$$C_{(-1)} = \lim_{\lambda \rightarrow -1} \frac{10}{\lambda^2 (\lambda + 10)} \cdot \frac{1}{1 - e^{0.2 \lambda} z^{-1}} = \frac{10}{9} \cdot \frac{z}{z - e^{-0.2}}$$

$$C_{(-10)} = \lim_{\lambda \rightarrow -10} \frac{10}{\lambda^2 (\lambda + 1)} \cdot \frac{1}{1 - e^{0.2 \lambda} z^{-1}} = -\frac{1}{90} \cdot \frac{z}{z - e^{-2}}$$

$$C_{(0)} = \lim_{\lambda \rightarrow 0} \frac{d}{d \lambda} \left[ \frac{10}{(\lambda + 10)(\lambda + 1)} \cdot \frac{1}{1 - e^{0.2 \lambda} z^{-1}} \right] = \frac{z(-1.1 z + 1.3)}{(z - 1)^2}$$

$$G^*(z) = \frac{z-1}{z} \cdot \left[ 1.1 \cdot \frac{z(z-0.1284)}{(z-0.8187)(z-0.1353)} + \frac{z(-1.1z+1.3)}{(z-1)^2} \right]$$

- Dopo alcuni passaggi si arriva all'espressione

$$G^*(z) = \frac{0.0082(z+0.1458)(z+2.3420)}{(z-0.8187)(z-0.1353)(z-1)}$$

- Ora si passa al “piano w” utilizzando la trasformazione di Tustin

$$z = \frac{1 + 0.1w}{1 - 0.1w}$$

$$G^*(z) = \frac{0.0082 (z + 0.1458) (z + 2.3420)}{(z - 0.8187) (z - 0.1353) (z - 1)}$$

$$z = \frac{1 + 0.1 w}{1 - 0.1 w}$$

$$G_{TU}(w) = 2.28 \cdot 10^{-3} \frac{(w - 10.000) (w - 24.903) (w + 13.414)}{w (w + 0.997) (w + 7.616)}$$

- Come procede ora il progetto del regolatore?
- Richiamiamo i passi del progetto a tempo continuo (quindi "in s"):



## Progetto statico "a tempo continuo"

- Errore a regime nella risposta alla rampa:

$$e_{\infty} = \frac{1}{\lim_{s \rightarrow 0} s L(s)} = \frac{1}{2}$$

$$L(s) = R(s) \cdot G(s)$$



$$L(s) = 2 R_1(s) G(s)$$

$$R(s) = 2 \cdot R_1(s)$$

guadagno statico unitario



## Progetto dinamico “a tempo continuo”

- Dalla specifica sulla sovraelongazione nella risposta allo scalino unitario si ottiene

$$F(s) = \mu \cdot \frac{\Omega_n^2}{s^2 + 2 \xi \Omega_n s + \Omega_n^2} \quad \longrightarrow \quad O_{\%} = 100 \cdot e^{-\frac{\xi \pi}{\sqrt{1 - \xi^2}}}$$

- Nel caso dell'esempio si impone allora:

$$20 = 100 \cdot e^{-\frac{\xi \pi}{\sqrt{1 - \xi^2}}} \quad \longrightarrow \quad \xi^2 \left[ \pi^2 + \ln^2 5 \right] = \ln^2 5$$

$$\xi^2 = \frac{\ln^2 5}{\pi^2 + \ln^2 5} \Rightarrow \begin{cases} \xi_1 = 0.4559 & \approx 0.46 \\ \xi_2 < 0 & \text{non accettabile!} \end{cases}$$

- Ora utilizzando la relazione approssimata

$$\xi \approx \frac{\varphi_m}{100}$$

si ottiene che

$$\varphi_m \approx 46^\circ$$

margine di fase  
espresso in gradi

- Decido allora per  $\varphi_m = 60^\circ$ , dato che il progetto di un regolatore a segnali campionati per discretizzazione approssimata non rispetta, se non per difetto, le specifiche sul margine di fase.

- Torniamo al **progetto “nel piano  $w$ ”**.
  - **progetto statico**: l'errore a regime alla rampa deve essere pari ad  $\frac{1}{2}$ 
    - impongo anche ora la relazione

$$R(w) = 2 \cdot R_1(w)$$

con  $R_1(w)$  senza poli per  $w = 0$  e con guadagno statico unitario  $R_1(0) = 1$

- **progetto dinamico**: voglio imporre anche stavolta il margine di fase pari a

$$\varphi_m = 60^\circ$$

- Come si tiene conto della distorsione introdotta dalla trasformata di Tustin?
- La pulsazione di campionamento è pari a (il periodo di campionamento è fissato a 0.2 s):

$$\Omega_s = \frac{2\pi}{\Delta} = 10\pi$$

- Di conseguenza la pulsazione di Nyquist è pari a

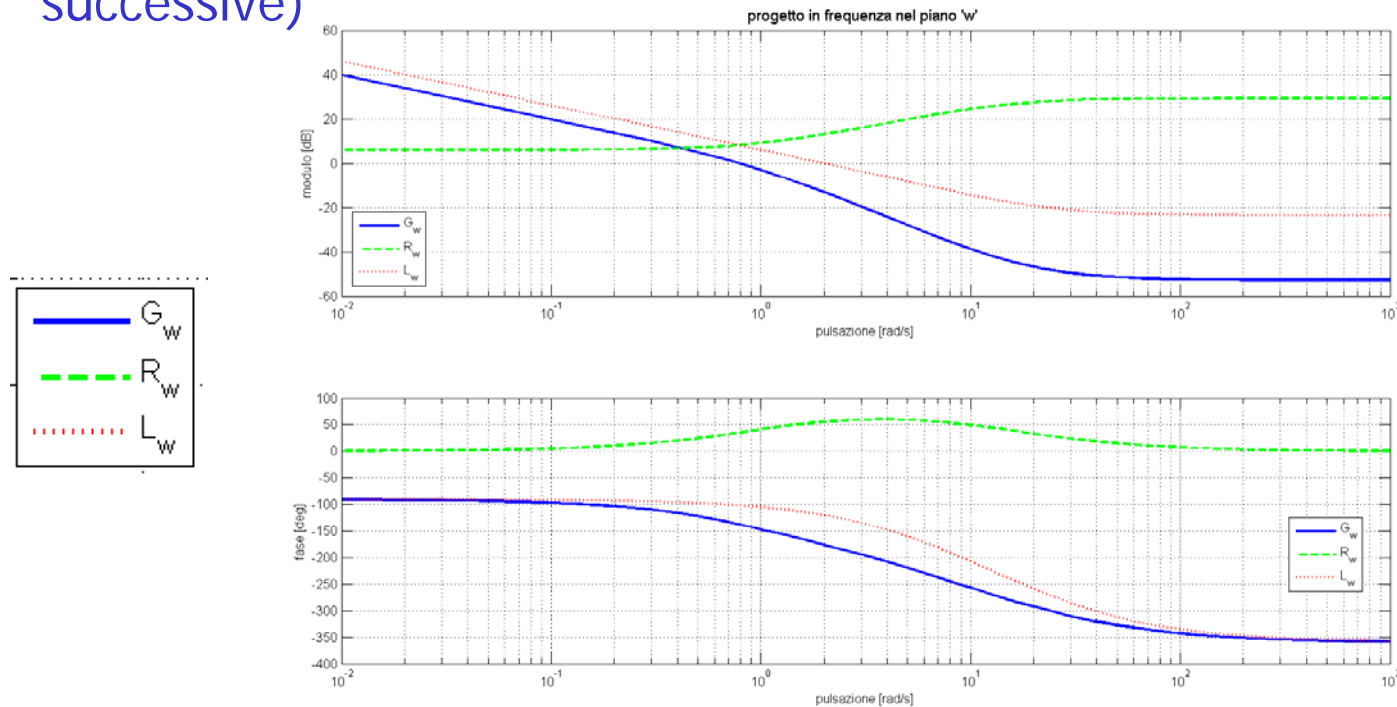
$$\Omega_N = \frac{\Omega_s}{2} = 5\pi \approx 15 \text{ rad/s}$$

- In definitiva è opportuno che la pulsazione critica sia decisamente inferiore alla pulsazione  $\Omega_N$ . Una scelta opportuna può essere allora

$$\Omega_c < 3 \quad \left( \approx 1.5 \approx \frac{\Omega_N}{10} \right) \longrightarrow \Omega_c = 2$$

## Progetto in frequenza nel piano w

- In figura si riportano i diagrammi di Bode della risposta in frequenza della FdT  $G_{TU}(w)$ , della FdT d'anello aperto  $L(w)$  e quindi del regolatore  $R_{TU}(w)$  realizzato (per cancellazione, come illustrato nelle slide successive)



## Progetto per cancellazione nel piano " w "

- Idea: cancellare il polo più "lento" (quello in  $p = -0.997$ ) ed aggiungerne uno a modulo maggiore per ottenere le specifiche richieste

$$\begin{cases} \varphi_m = 60^\circ \\ \Omega_c = 2 \end{cases}$$

- In base a quanto appena scritto, il regolatore da determinare ha FdT esprimibile come

$$R(w) = 2 \frac{p}{0.997} \frac{w + 0.997}{w + p} \quad p > 0$$

- Per determinare quanto vale  $\rho$  è sufficiente imporre che

$$\angle L(w)|_{w=j2} = -120^\circ$$

per trovare l'espressione della FdT del regolatore nel piano 'w'

$$R(w) = 29.087 \cdot \frac{w + 0.997}{w + 14.500}$$

- A questo punto basta riapplicare la trasformazione di Tustin per ottenere l'espressione del regolatore espressa come FdT tramite la Z-trasformata

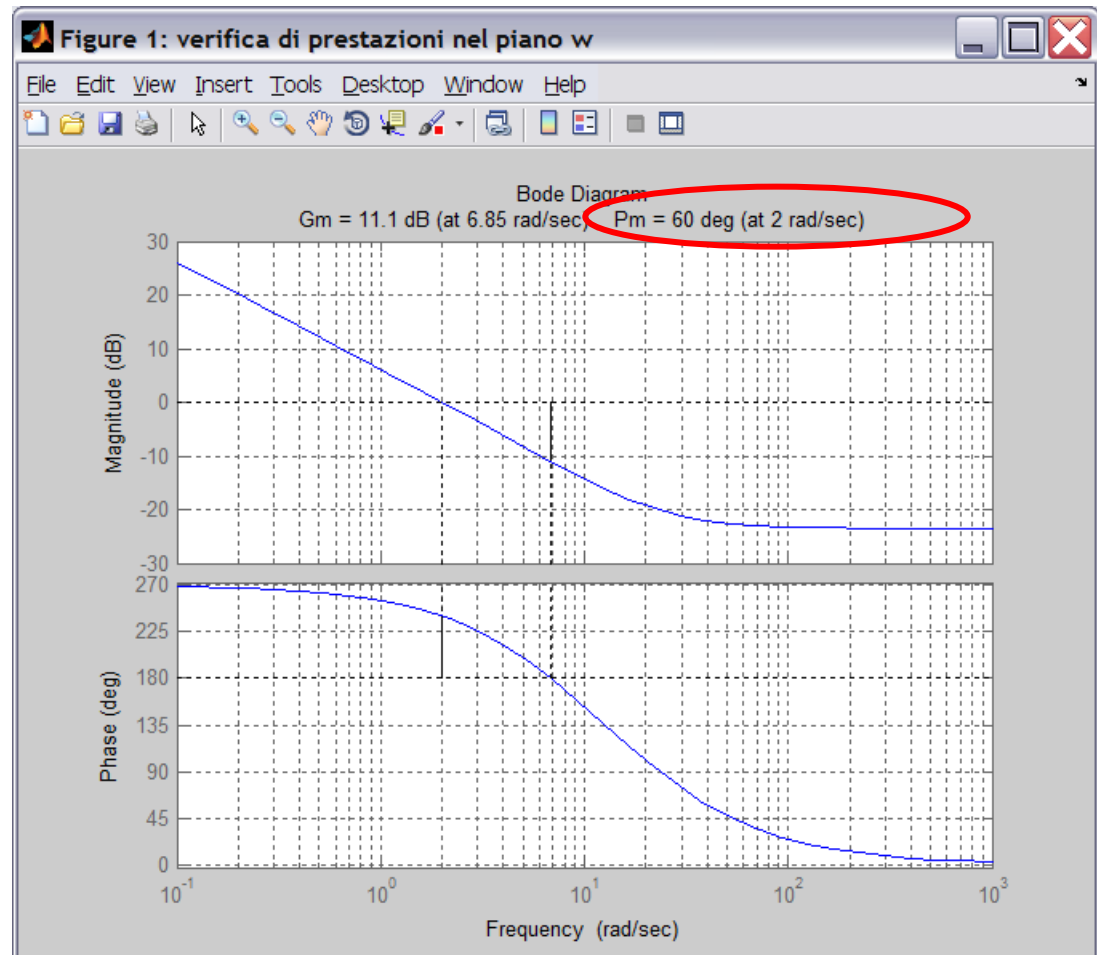
$$R(z) = 13.056 \cdot \frac{z - 0.8187}{z + 0.1837}$$

# Verifiche in MATLAB

- margini di stabilità del progetto nel piano 'w'

```
figure;  
margin(Rw * Gw)
```

esempio\_Tustin\_piano\_w.m

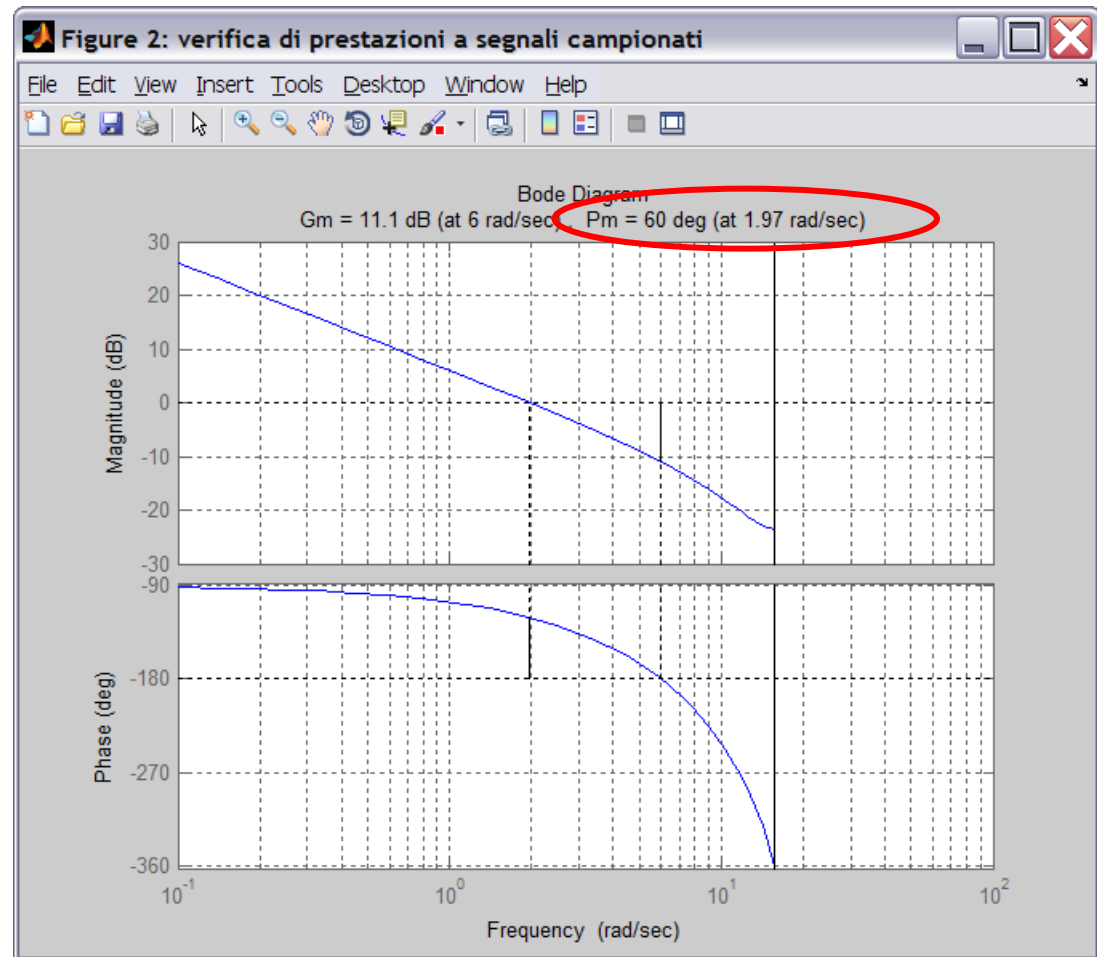




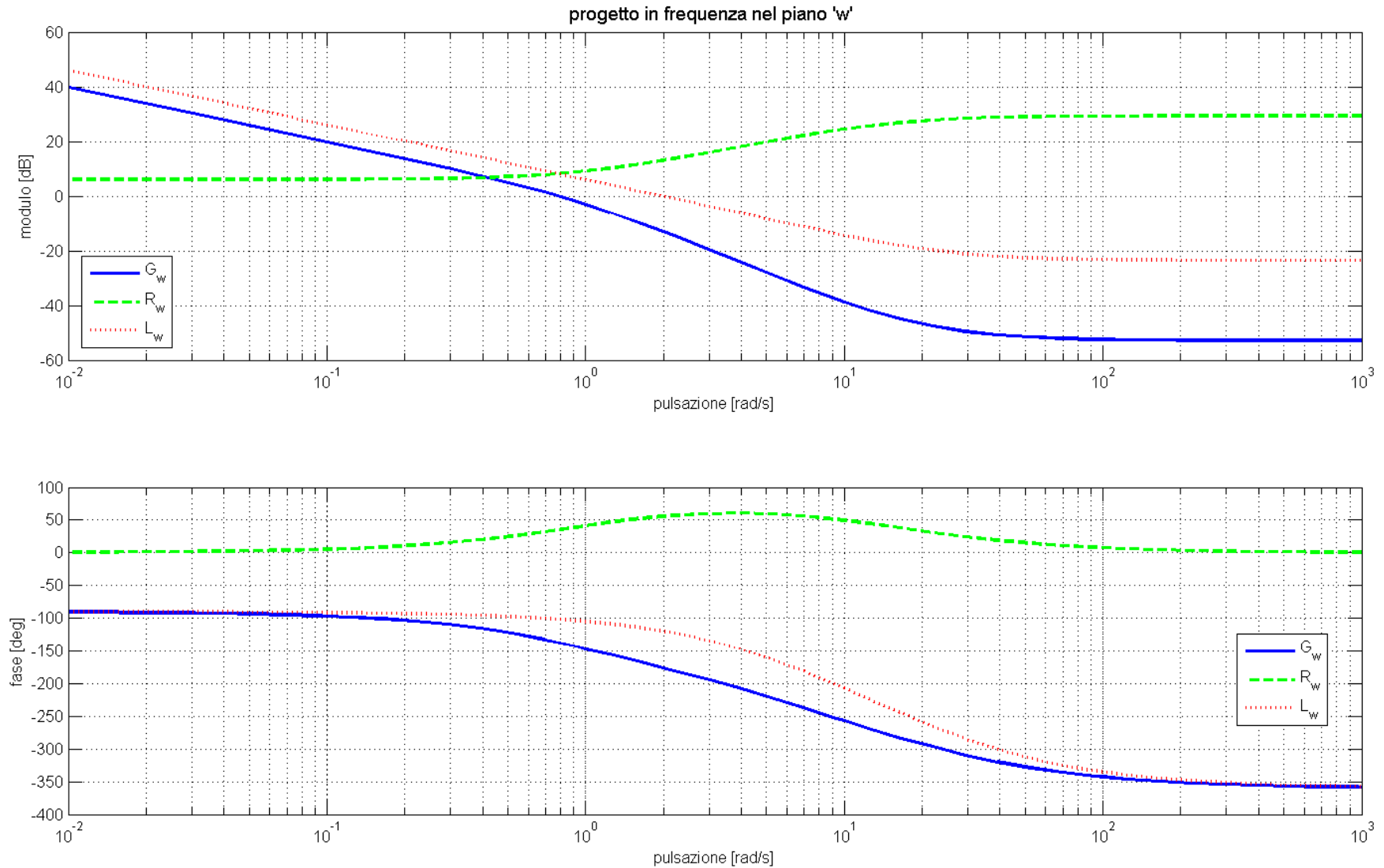
- margini di stabilità del progetto, analizzato completamente a segnali campionati (totalmente con la Z-trasformata)

```
figure;  
margin(Rz * Gz)
```

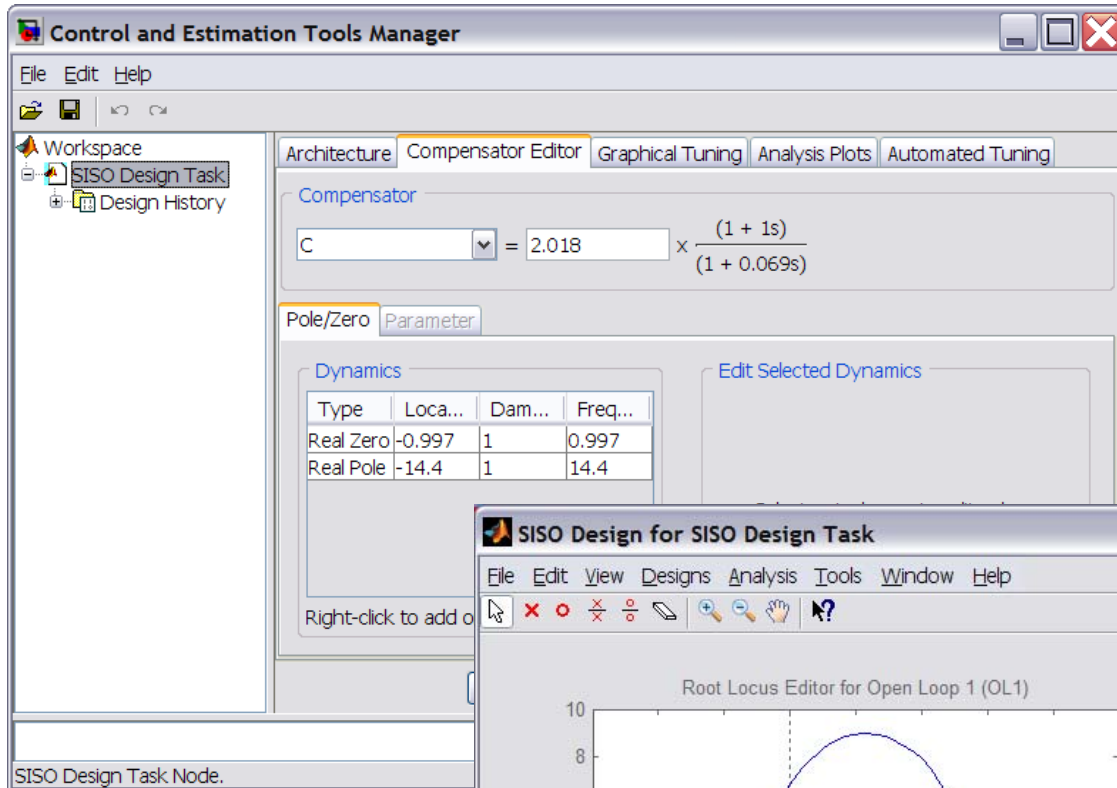
esempio\_Tustin\_piano\_w.m



# diagrammi di Bode della risposta in frequenza: progetto nel piano $w$

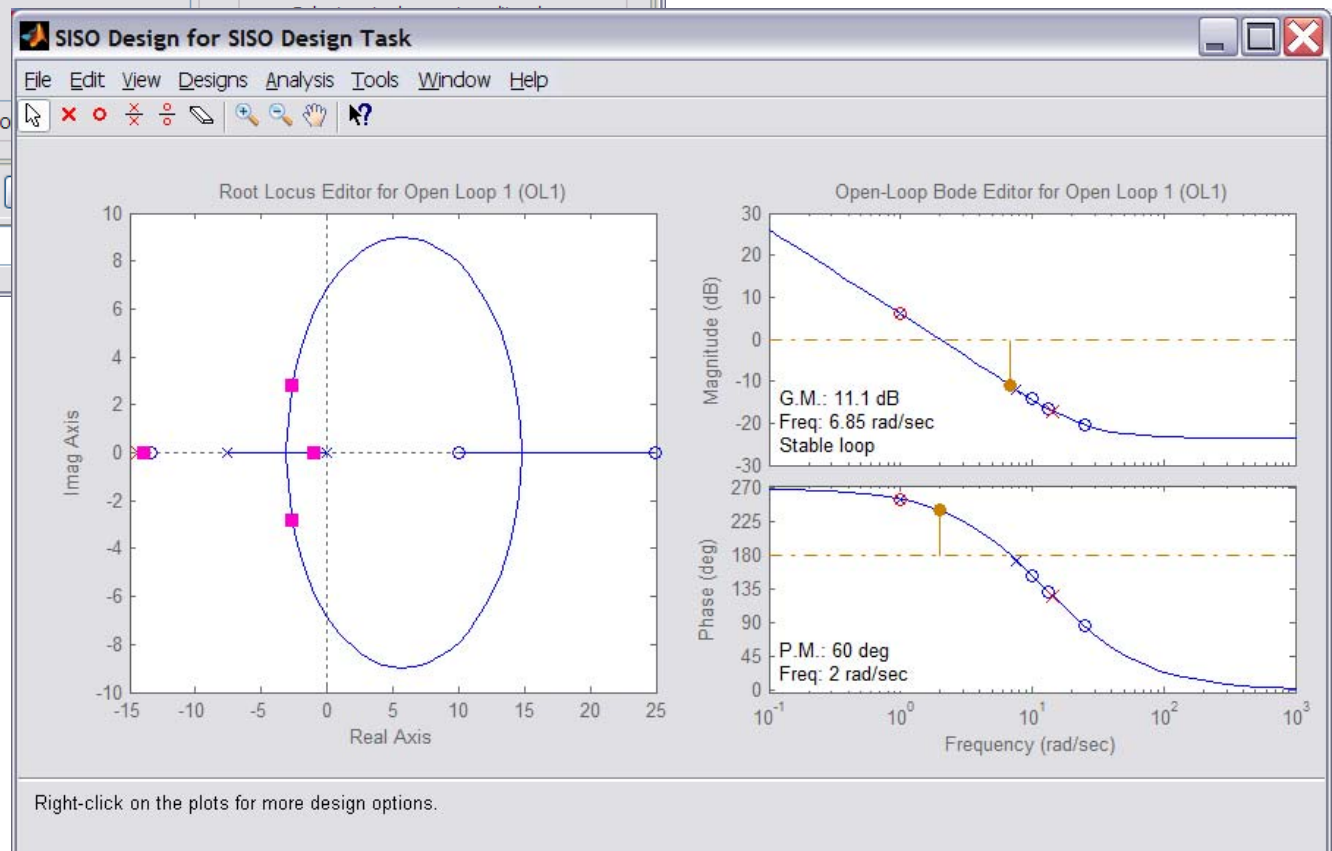


esempio\_Tustin\_piano\_w.m



esempio\_Tustin\_piano\_w.m

progetto nel piano w:  
ambiente MATLAB/sisotool



confronto delle risposte allo scalino a ciclo chiuso nel piano 'w' ed a segnali campionati



esempio\_Tustin\_piano\_w.m

# Conclusioni (1)

**Sintesi di regolatori per discretizzazione**  
**Tecniche approssimate FE, BE, TU e tecnica HE**

## Riassumendo ...

- Progetto per conversione da continuo a discreto con formule approssimate **"Eulero in avanti"**, **"Eulero all'indietro"**, **"di Tustin"** e progetto con la formula **"Hold Equivalent"**:
  - progetto **preliminare a tempo continuo**, in "s"
  - nel progetto vanno **soddisfatte le condizioni "di approssimazione"** (slide CD Parte9-8 e segg. per HE, Parte9-68 e segg., 120 e segg. per FE, BE, TU)
  - si tiene conto del campionamento e ricostruzione tramite il D/A o **ZOH** inserendo nella FdT di ciclo aperto in "s" un termine di **ritardo finito equivalente** pari a  $e^{-\frac{\Delta s}{2}}$  per le tecniche FE, BE, TU oppure pari a  $e^{-\Delta s}$  per la tecnica HE
  - ottenuto un regolatore  $R(s)$  che soddisfa le specifiche "irrobustite", **si applica la formula (FE, BE, TU, HE)** e si ottiene  $R(z)$ .

## Osservazioni ...

- Il **progetto** si completa **totalmente** “a tempo continuo”.
- L'effetto del **dispositivo di tenuta (ZOH)** è soltanto **approssimato**.
- Le **formule di discretizzazione** sono **approssimazioni** della formula esatta del campionamento.
- C'è **scarso controllo sulle prestazioni finali** in frequenza (imprecisioni nell'imporre una larghezza di banda desiderata e/o margini di stabilità ecc.) ed in “z/nel tempo” (es. richieste sulla durata del transitorio ... )

## Conclusioni (2)

**Sintesi di regolatori per discretizzazione  
Tecnica di progetto nel “piano  $w$ ”**



## Riassumendo ...

- Progetto per conversione da continuo a discreto “**nel piano  $w$** ”:
  - progetto **preliminare a “tempo continuo”**, in “ $w$ ”
    - il **processo** viene **discretizzato IN MODO ESATTO**, con la conversione “per campionamento e tenuta”. Così si tiene conto in modo esatto degli effetti dello ZOH (slide CD Parte9-174 e segg.);
    - si utilizza la **formula di Tustin TU** per passare il processo al “**piano  $w$** ”;
  - il progetto “nel piano  $w$ ” procede come un progetto standard a tempo continuo, portato a termine per es. per tentativi, in frequenza;
  - ottenuto un regolatore  $R(w)$  che soddisfa le specifiche “irrobustite”, **si applica la formula TU** e si ottiene  $R(z)$ .

## Osservazioni ...

- Anche in questo caso il **progetto** si completa **totalmente** “a **tempo continuo**”.
- Stavolta l'effetto del **dispositivo di tenuta (ZOH)** è considerato in modo **esatto**, dato che viene utilizzata la **formula di conversione (esatta)** “per campionamento e tenuta”.
- L'utilizzo della formula di Tustin introduce un'approssimazione: il “piano  $w$ ” quindi non è perfettamente equivalente al “piano  $s$ ” della FdT del processo.
- Anche stavolta può esserci **scarso controllo sulle prestazioni finali** in frequenza (imprecisioni nell'imporre una larghezza di banda desiderata e/o margini di stabilità ecc.) ed in “ $z$ /nel tempo” (es. richieste sulla durata del transitorio ... )